



## รายงานการวิจัย

# สายอากาศลำดับลี่นแมตช์กับพื้นโลกโดยใช้แอลว่าลำดับสะท้อน (Earth Matched Beam Antenna using Reflectarray)

คณะผู้วิจัย

หัวหน้าโครงการ

ผู้ช่วยศาสตราจารย์ ดร. รังสรรค์ วงศ์สรรค์  
สาขาวิชาวิศวกรรมโทรคมนาคม  
สำนักวิชาวิศวกรรมศาสตร์  
มหาวิทยาลัยเทคโนโลยีสุรนารี

ผู้ร่วมวิจัย

ดร. ปิยะกรณ์ กระดองออก

ได้รับทุนอุดหนุนการวิจัยจากมหาวิทยาลัยเทคโนโลยีสุรนารี ปีงบประมาณ พ.ศ. 2550  
ผลงานวิจัยเป็นความรับผิดชอบของหัวหน้าโครงการวิจัยแต่เพียงผู้เดียว

มีนาคม 2551

## กิตติกรรมประกาศ

งานวิจัยฉบับนี้สามารถดำเนินการได้ และได้รับผลสำเร็จบรรลุตามวัตถุประสงค์ที่ตั้งไว้ ทุกประการ โดยได้รับทุนอุดหนุนการวิจัยจากมหาวิทยาลัยเทคโนโลยีสุรนารี ปีงบประมาณ 2550 และได้รับความช่วยเหลือด้านการวิจัยจาก ดร. ปิยะกรณ์ กระฉองคง สุคทัยนี้ ผู้วิจัยได้รับงบประมาณ บิกามารดาและครอบครัว ซึ่งให้การสนับสนุนและให้กำลังใจแก่ผู้วิจัยเสมอมา

รังสรรค์ วงศ์สรรค์

## บทคัดย่อ

สายอากาศเป็นส่วนสำคัญของระบบสื่อสาร มีหน้าที่แพร่กระจายกำลังงานไปในทิศทางที่ต้องการ ซึ่งสายอากาศนิดหนึ่งที่นิยมใช้งานบันดาลความเที่ยมในปัจจุบันคือสายอากาศตัวสะท้อนพาราโบลิก (Parabolic Reflector) เนื่องจากให้อัตราขยายค่อนข้างสูง แต่มีความกว้างลำคลื่นแคบ และโครงสร้างของสายอากาศตัวสะท้อนพาราโบลิกมีลักษณะที่เป็นผิวโค้ง จึงทำให้สัญญาณพื้นที่ไปจำนวนหนึ่งในการประกอบและติดตั้งเข้ากับดาวเทียม และจะเกิดผลกระทบต่อผลลัพธ์ของโครงสร้างโดยรวมของตัวดาวเทียมในขณะปล่อยเข้าสู่วงโคจร เพื่อลดดูปัญหาดังกล่าวจึงมีการออกแบบสายอากาศแล้วลำดับสะท้อนแบบไมโครสตริป (Microstrip Reflectarray) ที่มีลักษณะราบเรียบ แต่สามารถให้คุณสมบัติ เช่นเดียวกับตัวสะท้อนพาราโบลิก ซึ่งสายอากาศดังกล่าวมีข้อดีคือ ขนาดเล็กกะทัดรัด น้ำหนักเบา และติดตั้งง่าย และเนื่องจากความเที่ยมวงโคจรต่ำมีการเคลื่อนที่ด้วยความเร็วสูง จึงทำให้ระยะเวลาที่สถานีภาคพื้นดินติดต่อกับดาวเทียมมีน้อยมาก ดังนั้นงานวิจัยนี้จึงเสนอการออกแบบแผ่นสะท้อนของสายอากาศแล้วลำดับสะท้อนแบบไมโครสตริปด้วยเทคนิคการจัดเฟสของสัญญาณให้เกิดคุณลักษณะเสมือนผิวโค้งของสายอากาศตัวสะท้อนพาราโบลิกที่มีการป้อนสัญญาณเข้าที่ด้านหลังตัวสะท้อน โดยใช้การควบคุมเฟสด้วยวิธีปรับขนาดแผ่นสะท้อน เพื่อทำให้เกิดความกว้างลำคลื่นขนาดใหญ่ ซึ่งจะสามารถควบคุมให้ลำคลื่นแมตช์กับพื้นโลก (Earth Matched Beam) ได้ และสามารถเพิ่มระยะเวลาที่สถานีภาคพื้นดินติดต่อกับดาวเทียมด้วย นอกจากนี้สายอากาศดังกล่าวจะให้คุณสมบัติที่เหมาะสมสำหรับใช้งานกับสถานีฐานของเทคโนโลยีเครือข่ายท้องถิ่นแบบไร้สายภายในห้องขนาดใหญ่ด้วย ให้ลำคลื่นครอบคลุมเฉพาะพื้นที่ที่ต้องการ มีอัตราขยายสูง วิธีการที่ใช้ในการวิเคราะห์คำนวณจะใช้การจำลองปัญหาสายอากาศด้วยระเบียนวิธีโมเมนต์ (Method of Moments หรือ MoM) และวิธีการจำลองปัญหาสายอากาศด้วยระเบียนวิธีโมเมนต์ต่อไป

## Abstract

An antenna is an important component to radiate signal energy in a desired direction for communication system. It is well known that a parabolic reflector antenna has been widely used in radar and satellite communication systems for their earth station antennas. However a large reflector is required for high gain and low side lobe antenna. Because of its extremely large size and curvature, it is generally difficult to implement the desired reflector shape. A novel type of antenna that combines the technologies of reflector and array, namely the microstrip reflectarray, has essentially no limitation in its dimensions and has much less distortion in its planar shape. This operation is similar in concept to a parabolic reflector that naturally forms a planar phase front when a feed is placed at its focus. Reflectarray fulfills the need for low cost, low profile, light weight, and easy installation. Since a Low-Earth Orbit (LEO) satellite moves in very high speed, using a high-gain antenna whose main-beam coverages only a small area does encounter the satellite link establishment. To overcome these limitations, this research proposes a high-gain broad-beam microstrip reflectarray antenna using backscattering technique. To achieve broad-beamwidth and hence earth-matched beam antenna, phase of each array element in the reflectarray antenna is specific designed to emulate the curvature of the parabolic reflector by using a hybrid method. Moreover, this approach is fruitful for high-gain antenna application, especially for Wireless Local Area Network (WLAN) large-scale indoor base station. For analysis and design, a full-wave Method of Moments (MoM) is utilized in this research. To validate the proposed concept, an X-band microstrip reflectarray antenna was designed based on the developed MoM analysis tool. The antenna was realized and experimented to validate the technique and the developing analysis tool.

## สารบัญ

	หน้า
กิตติกรรมประกาศ .....	ก
บทคัดย่อภาษาไทย .....	ๆ
บทคัดย่อภาษาอังกฤษ .....	ค
สารบัญ .....	ง
สารบัญภาพ .....	น
สารบัญตาราง.....	ঙ
<b>บทที่ 1 บทนำ</b>	
ความสำคัญและที่มาของปัญหาการวิจัย .....	1
วัตถุประสงค์ของการวิจัย .....	2
สมมุติฐานของการวิจัย.....	3
ข้อคลุมเบื้องต้น .....	3
ขอบเขตของการวิจัย .....	3
วิธีการดำเนินการวิจัย.....	3
ระเบียบวิธีวิจัย .....	4
ประโยชน์ที่ได้รับจากการวิจัย .....	5
<b>บทที่ 2 ปริศน์วรรณกรรมและงานวิจัยที่เกี่ยวข้อง</b>	
บทนำ.....	6
ปริศน์วรรณกรรมและงานวิจัยที่เกี่ยวข้อง.....	6
สรุป.....	15
<b>บทที่ 3 ทฤษฎีและหลักการที่เกี่ยวข้อง</b>	
บทนำ.....	16
คุณลักษณะของสายอากาศแควลำดับสะท้อน.....	16
เทคนิคการออกแบบแผ่นสะท้อนของสายอากาศแควลำดับสะท้อนในโครงสร้าง....	23
ฟังก์ชันกรีนไಡแอดิก (Dyadic Green's Function).....	26
สนามตกกระทบ (Incident Field) และสนามสะท้อน (Reflected Field).....	36
ระเบียบวิธีโมเมนต์ (Moment Method).....	40

## สารบัญ (ต่อ)

	หน้า
การวิเคราะห์แผ่นสะท้อนด้วยหลักการแคลคูลัสบอนันต์ (Infinite Array).....	44
สรุป.....	51
<b>บทที่ 4 การออกแบบสายอากาศแคลคูลัสที่อนไม่โกรสทริป</b>	
บทนำ.....	52
การศึกษาแบบรูปการແຜ่กำลังงานของสายอากาศป้องและสนามตกระหบบ บนแคลคูลัสที่อน.....	52
การศึกษาการหาระยะห่างระหว่างแผ่นสะท้อน.....	55
การศึกษาการประวิงเฟสของสายอากาศแคลคูลัสที่อน.....	56
การศึกษาการวัดสัมประสิทธิ์การสะท้อน (Reflection Coefficient).....	58
การศึกษาความสัมพันธ์ระหว่างเฟสสะท้อนกับขนาดของแผ่นสะท้อน.....	61
การศึกษาแบบรูปการແຜ่กำลังงานของสายอากาศแคลคูลัสที่อน.....	63
สรุป.....	63
<b>บทที่ 5 ผลการวัดทดสอบ</b>	
บทนำ.....	64
วิธีการสร้างสายอากาศต้นแบบ.....	64
ผลการทดลองวัดแบบรูปการແພพลังงานของสายอากาศแคลคูลัสที่อน.....	66
สรุป.....	69
<b>บทที่ 6 บทสรุป</b>	
สรุปผลการวิจัย .....	70
ข้อเสนอแนะ .....	71
บรรณานุกรม .....	72
ประวัติผู้วิจัย .....	74

## สารบัญภาพ

	หน้า
รูปที่ 3.1 สายอากาศแคลวลำดับแบบไมโครสตริป	17
รูปที่ 3.2 สายอากาศตัวสะท้อนพาราโบลิกที่มีการป้อนสัญญาณเข้าที่ด้านหน้าของตัวสะท้อน	17
รูปที่ 3.3 สายอากาศแคลวลำดับสะท้อนในไมโครสตริป	18
รูปที่ 3.4 การแผ่กระจายคลื่นในสายอากาศตัวสะท้อนพาราโบลิกและสายอากาศแคลวลำดับสะท้อนในไมโครสตริป	20
รูปที่ 3.5 การประวิงเฟสในสายอากาศแคลวลำดับสะท้อนไมโครสตริป	20
รูปที่ 3.6 การประวิงเฟสเนื่องจากการเลื่อนตัวป้อนสัญญาณและหน้าคัลลิน	21
รูปที่ 3.7 แบบรูปการแผ่กำลังงานของสายอากาศตัวสะท้อนพาราโบลิก	22
รูปที่ 3.8 สายอากาศแคลวลำดับสะท้อนซึ่งมีการจัดเฟสแผ่นสะท้อนแม่ข่ายตามลักษณะพิวโถ้งของสายอากาศตัวสะท้อนพาราโบลิกที่มีการป้อนสัญญาณเข้าที่ด้านหลังตัวสะท้อน	23
รูปที่ 3.9 การปรับขนาดของแผ่นสะท้อน	24
รูปที่ 3.10 ความสัมพันธ์ระหว่างขนาดของแผ่นสะท้อนกับเฟสสะท้อน	24
รูปที่ 3.11 การปรับความยาวของสตั้บ	25
รูปที่ 3.12 การปรับมุมการวางของแผ่นสะท้อน	26
รูปที่ 3.13 แผ่นสะท้อนในไมโครสตริป	27
รูปที่ 3.14 อิลิเมนต์กระแสนวนแผ่นกราวด์ไดอิเล็กตริกในทิศทาง $y$	31
รูปที่ 3.15 การแปลงระบบพิกัดสำหรับใช้หาสถานที่กระบวนการและสถานะที่อยู่บนแผ่นไดอิเล็กตริกกราวด์	37
รูปที่ 3.16 วงจรสมมูลสายต่อสำหรับระบบคลื่นต่อกลบที่บนแผ่นไดอิเล็กตริกกราวด์	38
รูปที่ 3.17 การกระจายโหนดสำหรับแผ่นสะท้อนในไมโครสตริป	42
รูปที่ 3.18 แคลวลำดับอนันต์ (Infinite Array) ของอิลิเมนต์ไดโพลในระบบ Skewed Coordinate	44
รูปที่ 3.19 แคลวลำดับอนันต์ของแผ่นสะท้อน	46
รูปที่ 3.20 Grating Lobe Diagram	49
รูปที่ 4.1 รูปทรงเรขาคณิตของสายอากาศแคลวลำดับสะท้อน	53
รูปที่ 4.2 แบบรูปการแผ่กระจายกำลังงานของตัวป้อนปิรามิด	54
รูปที่ 4.3 ความสัมพันธ์ระหว่างเฟสของสัมประสิทธิ์การสะท้อนของแคลวลำดับอนันต์ กับการปรับขนาดแผ่นสะท้อน	56

## สารบัญภาพ (ต่อ)

	หน้า
<b>รูปที่ 4.4 ตำแหน่งแผ่นสะท้อน</b>	57
<b>รูปที่ 4.5 การประวิงเฟสของแผ่นสะท้อนไดๆ บนสายอากาศแควลำดับสะท้อน</b>	58
<b>รูปที่ 4.6 แสดงการวัดสัมประสิทธิ์การสะท้อนสำหรับสายอากาศแควลำดับสะท้อน</b>	59
<b>รูปที่ 4.7 แผ่นสะท้อนแบบสีเหลืองจัตุรัส</b>	59
<b>รูปที่ 4.8 รูปเรขาคณิตของสายอากาศแควลำดับสะท้อนสำหรับการจำลองแบบ</b>	60
<b>รูปที่ 4.9 สัมประสิทธิ์การสะท้อนของสายอากาศแควลำดับสะท้อนที่มีแผ่นสะท้อนขนาดเท่ากัน</b>	61
<b>รูปที่ 4.10 ความสัมพันธ์ระหว่างเฟสของสัมประสิทธิ์การสะท้อนรวมกับความถี่</b>	62
<b>รูปที่ 4.11 ความสัมพันธ์ระหว่างเฟสของสัมประสิทธิ์การสะท้อนรวมกับขนาดแผ่นสะท้อน ณ ความถี่ 10 GHz</b>	62
<b>รูปที่ 4.12 ผลการจำลองแบบรูปการແຜ่กำลังงานของสายอากาศแควลำดับสะท้อน</b>	63
<b>รูปที่ 5.1 การออกแบบสายอากาศแควลำดับสะท้อนโดยใช้โปรแกรม Pote199</b>	65
<b>รูปที่ 5.2 PCB Prototype Machine</b>	65
<b>รูปที่ 5.3 สายอากาศแควลำดับสะท้อนต้นแบบ</b>	66
<b>รูปที่ 5.4 วิธีการวัดทดสอบแบบรูปการແຜ่พลังงาน</b>	67
<b>รูปที่ 5.5 แบบรูปการແຜ่พลังงานของสายอากาศแควลำดับสะท้อน</b>	67

## สารบัญตาราง

	หน้า
ตารางที่ 2.1 ผลงานวิจัยที่เกี่ยวข้อง	6
ตารางที่ 5.1 คุณลักษณะของสายอาชญากรรมสำหรับห้องไมโครสเตรป	68

# บทที่ 1

## บทนำ

### 1.1 ความสำคัญและที่มาของปัญหาการวิจัย

ในปัจจุบันเทคโนโลยีอิเล็กทรอนิกส์และภูมิศาสตร์สารสนเทศมีความสำคัญต่อการพัฒนาประเทศ สามารถนำมาใช้ในการเพิ่มขีดความสามารถในการพัฒนาและแข่งขันกับประเทศคู่แข่งรวมทั้งประเทศเพื่อนบ้านได้ นอกจากนี้ยังสามารถนำมาประยุกต์ใช้งานกับอิเล็กโทรโน้โลยีหนึ่งที่กำลังได้รับความนิยมเพิ่มสูงขึ้น เป็นอย่างมาก นั่นคือ เทคโนโลยีเครือข่ายท้องถิ่นแบบไร้สาย (Wireless Local Area Network หรือ WLAN) เนื่องจากเครือข่ายไร้สายได้สร้างความสะดวกสบาย และมีอิสระในการใช้งานเครือข่ายคอมพิวเตอร์ ทำให้มีการค้นคว้าและวิจัยเพื่อพัฒนาสายอากาศสำหรับใช้ในการสื่อสารดังกล่าวเป็นอย่างมาก ดังนั้นงานวิจัยนี้จึงได้นำเสนอการพัฒนาเทคโนโลยีด้านสายอากาศสำหรับการสื่อสารดาวเทียม วงโคจรต่ำในอนาคต และสามารถประยุกต์ใช้งานกับการสื่อสารผ่านเครือข่ายไร้สายได้ด้วย และที่สำคัญ สามารถที่จะออกแบบหรือสร้างอุปกรณ์ได้ด้วยวัสดุที่มีอยู่ภายในประเทศ

เหตุผลและความสำคัญของการทำวิจัยเพื่อสร้างอุปกรณ์ดังกล่าวนั้น เนื่องจากสายอากาศเป็นส่วนสำคัญของระบบสื่อสาร มีหน้าที่แพร่กระจายกำลังงานไปในทิศทางที่ต้องการ ซึ่งสายอากาศชนิดหนึ่งที่นิยมใช้งานบนดาวเทียมในปัจจุบันคือสายอากาศตัวสะท้อนพาราโบลิก (Parabolic Reflector) เนื่องจากให้อัตราขยายค่อนข้างสูง แต่มีความกว้างลำดิ่นแคบ และโครงสร้างของสายอากาศตัวสะท้อนพาราโบลิกมีลักษณะที่เป็นผิวโค้ง จึงทำให้สัญญาณที่ส่งไปจำนวนหนึ่งในการประกอบและติดตั้งเข้ากันด้วยที่ยึดติดกัน ซึ่งส่งผลกระทบต่อพลวัตของโครงสร้างโดยรวมของตัวดาวเทียมในขณะปล่อยเข้าสู่วงโคจร เพื่อลดปัญหาดังกล่าวจึงมีการออกแบบสายอากาศแคลดับสะท้อนในไมโครสตอป (Microstrip Reflectarray) ที่มีลักษณะเป็นแผ่นร้านเรียน แต่สามารถให้คุณสมบัติเช่นเดียวกับตัวสะท้อนพาราโบลิก ซึ่งประกอบด้วยสายอากาศแผ่นและสะท้อนในไมโครสตอป (Microstrip Patch) นำมาเรียงเป็นแนวลำดับบนแผ่นวงจรพิมพ์ (Printed Circuit Board หรือ PCB) โดยใช้เทคนิคการจัดเฟส ซึ่งสายอากาศดังกล่าวมีข้อดีคือ ขนาดเล็กกะทัดรัด น้ำหนักเบา และติดตั้งง่าย ดังนั้นการพัฒนาสร้างสายอากาศแคลดับสะท้อนในไมโครสตอปสำหรับทดสอบสายอากาศตัวสะท้อนพาราโบลิกจึงเป็นหัวข้อวิจัยที่น่าสนใจ ทั้งยังเป็นการเริ่มวางรากฐานเชิงพาณิชย์และพัฒนาเทคโนโลยีด้านอวกาศขึ้นเองภายในประเทศอีกด้วย

กรณีของสายอากาศที่ใช้งานในระบบเครือข่ายท้องถิ่นไร้สายโดยทั่วไปนั้นจะมีโครงสร้างเป็นแบบโมโนโพล (Monopole Antenna) ซึ่งมีรูปแบบการแผ่กระจายกำลังงานแบบรอบตัวในระนาบเดียว (Omni Direction) จึงทำให้มีค่าสกัดเจาะของทิศทางของสายอากาศ (Directivity) และอัตราขยาย (Gain) ค่อนข้างต่ำ ซึ่งส่งผลต่อประสิทธิภาพโดยรวมของระบบ นอกจากนั้นยังไม่สามารถควบคุมลำดับในที่

ครอบคลุมเฉพาะพื้นที่ที่ต้องการได้ ทำให้เกิดการสูญเสียกำลังงานโดยเปล่าประโยชน์ไปในทิศทางที่ไม่ต้องการ

สำหรับสายอากาศที่นำเสนอนางานวิจัยนี้จะใช้หลักการจัดเฟสของสัญญาณที่กระตุนให้กับแผ่นสะท้อนของสายอากาศแล้วลำดับสะท้อนไม่ครอสตริปด้วยวิธีปรับขนาดแผ่นสะท้อนเพื่อให้ได้การทำงานที่สมมูลกับผู้โดยสารของสายอากาศตัวสะท้อนพาราโบลิก และเนื่องจากสายอากาศตัวสะท้อนพาราโบลิกมีความกว้างลำดับลีนแคม ทำให้แบบรูปการແกรายางพลังงานไม่ครอบคลุมพื้นที่รับบริการบนพื้นโลก นอกจากรั้นความเที่ยงคงใจต่ำมีการเกลื่อนที่ด้วยความเร็วสูง จึงทำให้ระยะเวลาที่สถานีภาคพื้นดินติดต่อ กับดาวเทียมมีน้อยมาก ดังนั้นงานวิจัยนี้จึงเสนอการออกแบบแผ่นสะท้อนของสายอากาศและลำดับสะท้อนไม่ครอสตริปด้วยเทคนิคการจัดเฟสของสัญญาณให้เกิดคุณลักษณะสมมูล ผู้โดยสารของสายอากาศตัวสะท้อนพาราโบลิกและมีการป้อนสัญญาณเข้าที่ด้านหลังตัวสะท้อน เพื่อทำให้เกิดความกว้างลำดับลีนขนาดใหญ่ ซึ่งสามารถควบคุมให้ลำดับลีนแมตช์กับพื้นโลก (Earth-Matched Beam) ได้ โดยใช้การควบคุมเฟสด้วยวิธีปรับขนาดแผ่นสะท้อน และสามารถเพิ่มระยะเวลาที่สถานีภาคพื้นดินติดต่อ กับดาวเทียมด้วย นอกจากรั้นสายอากาศดังกล่าวจะให้คุณสมบัติที่เหมาะสมสำหรับใช้งานกับสถานีฐานของเทคโนโลยีเครือข่ายท้องถิ่นแบบไร้สายภายในห้องขนาดใหญ่ด้วย โดยให้ลำดับลีนครอบคลุมพื้นที่ที่ต้องการ โดยใช้สายอากาศชุดเดียว มีอัตราขยายสูง วิธีการที่ใช้ในการวิเคราะห์ คำนวณจะใช้การจำลองปัญหาสายอากาศด้วยระเบียบวิธีโมเมนต์ (Method of Moments หรือ MoM) แล้วนำมาสร้างสายอากาศต้นแบบที่ความถี่ 10 GHz เพื่อนำไปวัดทดสอบคุณสมบัติเบริญน์เพื่อความแม่นยำ กับผลจากการคำนวณและการจำลองปัญหาด้วยระเบียบวิธีโมเมนต์ต่อไป

## 1.2 วัตถุประสงค์ของการวิจัย

1.2.1 ศึกษาวิธีการพัฒนาและออกแบบสายอากาศแล้วลำดับสะท้อนไป โครงสร้างปี สำหรับการสื่อสารความเที่ยงตรง โครงการต่อในอนาคต และสามารถประยุกต์ใช้งานกับการสื่อสารผ่านเครือข่ายไร้สายได้ด้วย

1.2.2 เพื่อควบคุมความกว้างลำคลื่นของสายอากาศให้แมตซ์กับพื้นโลกและครอบคลุมพื้นที่รับบริการ

1.2.3 สร้างสายอากาศต้นแบบเพื่อศึกษาผลจากการวัดทดสอบ โดยเปรียบเทียบกับผลที่ได้จากการเปรียบวิธีไมแมนต์

### 1.3 สมมุติฐานของการวิจัย

1.3.1 เทคนิคการจัดเฟสแผ่นสะท้อนของสายอากาศแควร์ลัมบ์สะท้อนให้มีเฟสเสมือนตามลักษณะผิวโคลื้งของสายอากาศตัวสะท้อนพาราโบอลิกที่มีการป้อนสัญญาณเข้าที่ด้านหลังตัวสะท้อน จะทำให้ความกว้างลำคลื่นสูงขึ้น

1.3.2 การควบคุมเฟสด้วยวิธีปรับขนาดแผ่นสะท้อน จะทำให้แผ่นสะท้อนแต่ละแผ่นมีเฟสสะท้อนเสมือนตามลักษณะผิวโคลื้ง ณ ตำแหน่งแผ่นสะท้อนนั้นๆ

### 1.4 ข้อตกลงเบื้องต้น

1.4.1 งานวิจัยนี้จะคิดค้นและพัฒนาสายอากาศแควร์ลัมบ์สะท้อนในโครงสร้างปัจจุบันนี้

1.4.2 แบบรูปการແຜ່ງกระจายคลื่นของสายอากาศจะมีลักษณะเสมือนกับแบบรูปการແຜ່ງกระจายคลื่นที่ได้จากการสะท้อนจากด้านหลังของผิวโคลื้งแบบพาราโบอลิก

1.4.3 สายอากาศมีมุนครอบคลุมพื้นที่บริการประมาณ  $\pm 65^\circ$

### 1.5 ขอบเขตของการวิจัย

1.5.1 จำลองปัญหาของสายอากาศแควร์ลัมบ์สะท้อนด้วยระบบวิธีโมเมนต์ ซึ่งให้ผลเฉลยเม่นตรง เพื่อวิเคราะห์แนวโน้มของการเปลี่ยนแปลงเฟสของแผ่นสะท้อน

1.5.2 วิจัย พัฒนา และออกแบบสายอากาศแควร์ลัมบ์สะท้อนสำหรับการสื่อสารดาวเทียม วงโคจรต่ำในอนาคต และสามารถประยุกต์ใช้งานกับการสื่อสารผ่านเครือข่ายไร้สายได้ด้วย

### 1.6 วิธีดำเนินการวิจัย

#### 1.6.1 แนวทางการดำเนินงาน

1. ศึกษาและสำรวจวรรณกรรมที่เกี่ยวข้อง

2. ศึกษาวิธีการจัดเฟสรูปแบบต่างๆที่ใช้สำหรับสายอากาศแควร์ลัมบ์สะท้อนแบบในโครงสร้าง

3. ศึกษาการคำนวณการประวิงเฟสในสายอากาศแควร์ลัมบ์สะท้อนในโครงสร้าง

4. ศึกษาการคำนวณเฟสสะท้อนของแผ่นสะท้อนที่วางแผนเรียงเป็นแควร์ลัมบ์ด้วยระบบวิธี

โมเมนต์ (Method of Moments : MoM)

5. ศึกษาการคำนวณหาแบบรูปการແພ່ພလັງຈານ (Radiation Pattern) ความกว้างลำคลื่นครึ่งกำลัง (Half-Power Beamwidth) อัตราการขยาย (Gain) และประสิทธิภาพ (Efficiency) ของแควร์ลัมบ์สะท้อน

6. ออกแบบและสร้างสายอากาศต้นแบบที่มีคุณสมบัติตามต้องการ
7. จัดทำรายงานวิจัย ปรับปรุงแก้ไขข้อบกพร่องของผลงานวิจัย

#### **1.6.2 ระเบียบวิธีวิจัย**

1. พัฒนาโปรแกรม MATLAB™ ในการคำนวณหาการประวิงเฟสในสายอากาศ แคลคูลัสที่อนุญาติ ไม่ครอบคลุม และหาความสัมพันธ์ระหว่างเฟสสะท้อนกับการปรับแต่งสะท้อนโดยใช้ระเบียบวิธีโมเมนต์

2. สร้างสายอากาศต้นแบบเพื่อทดสอบคุณสมบัติ

#### **1.6.3 สถานที่ทำการวิจัย**

ห้องวิจัยและปฏิบัติการระบบสื่อสารไร้สาย ศูนย์เครื่องมือวิทยาศาสตร์และเทคโนโลยี 3 (F3) มหาวิทยาลัยเทคโนโลยีสุรนารี

#### **1.6.4 เครื่องมือที่ใช้ในการวิจัย**

1. เครื่องคอมพิวเตอร์ส่วนบุคคล (PC) รุ่น Pentium4 ฮาร์ดดิสก์ (HD) 80 Gbytes หน่วยความจำ (RAM) 512 Mbytes

2. โปรแกรม MATLAB™

3. เครื่องมือวิเคราะห์โครงข่าย (Network Analyzer) ยี่ห้อ Hewlett Packard รุ่น 8722D 50MHz-40GHz

4. Antenna Positioner

5. เครื่องจักรกลอัตโนมัติของศูนย์เครื่องมือวิทยาศาสตร์และเทคโนโลยีสำหรับสร้างส่วนประกอบของสายอากาศ

#### **1.6.5 การเก็บรวบรวมข้อมูล**

1. เก็บรวบรวมข้อมูลของสายอากาศจากการสำรวจบริเวณที่เกี่ยวข้อง

2. เก็บข้อมูลที่ได้จากการคำนวณหาการประวิงเฟสในสายอากาศ แคลคูลัสที่อนุญาติ ไม่ครอบคลุม

3. เก็บข้อมูลที่ได้จากการคำนวณหาความสัมพันธ์ของเฟสสะท้อนกับการปรับแต่งสะท้อน โดยใช้ระเบียบวิธีโมเมนต์

4. เก็บข้อมูลที่ได้จากการหาคุณสมบัติของสายอากาศ แคลคูลัสที่อนุญาติ ไม่ครอบคลุม จากโปรแกรมที่พัฒนาขึ้นเองเปรียบเทียบกับผลการวัดและทดสอบสายอากาศต้นแบบ

### 1.6.6 การวิเคราะห์ข้อมูล

วิเคราะห์ข้อมูลด้วยการเปรียบเทียบคุณสมบัติสายอากาศและลำดับลงทะเบียนในโครงสร้างที่ได้จากโปรแกรมที่พัฒนาขึ้นเองกับผลการวัดและทดสอบสายอากาศต้นแบบ ได้แก่ แบบรูปการแผ่นกำลังงาน ความกว้างลำคลื่นครึ่งกำลัง และอัตราการขยายของสายอากาศและลำดับลงทะเบียนในโครงสร้าง

### 1.7 ประโยชน์ที่คาดว่าจะได้รับ

1.7.1 เป็นองค์ความรู้ในการวิจัยต่อไป

1.7.2 ได้โปรแกรมจำลองผลเหลยที่เกิดจากการพัฒนาระเบียบวิธีใหม่ๆ ที่สามารถนำไปประยุกต์ใช้กับปัญหาจริงในการวิเคราะห์สายอากาศและลำดับลงทะเบียนแบบในโครงสร้าง

1.7.3 ได้ข้อสรุปอันเป็นประโยชน์ที่เกี่ยวกับลักษณะรูปร่างของสายอากาศและลำดับลงทะเบียนแบบในโครงสร้างที่มีความกว้างลำคลื่นแม่ตัวซึ่งกับพื้นโลก เช่นเดียวกับที่ได้รับจากสายอากาศตัวลงทะเบียนพาราโบลิกที่มีการลงทะเบียนจากด้านหลัง

1.7.4 ได้สายอากาศต้นแบบ เพื่อพัฒนาไปใช้งานจริง

## บทที่ 2

### ปริทัศน์วรรณกรรมและงานวิจัยที่เกี่ยวข้อง

#### 2.1 บทนำ

สายอาชญากรรมล้ำดับสะท้อนในโครงสร้างไปมีการศึกษาวิจัยกันมานานพอสมควร โดยเริ่มจาก การออกแบบแผ่นสะท้อนด้วยเทคนิคการจัดเฟส เพื่อให้ได้การทำงานที่เสมือนกับผิวโลหะของสายอาชญากรรมที่ต้องพาราโบลิกที่มีการป้อนสัญญาณเข้าที่ด้านหน้าตัวสะท้อน ดังได้กล่าวไว้ในบทที่ 1 วัตถุประสงค์หลักในงานวิจัยนี้คือการคิดค้นและพัฒนาวิธีการออกแบบสายอาชญากรรมล้ำดับสะท้อน ในโครงสร้างด้วยเทคนิคการจัดเฟสของสัญญาณให้เกิดคุณลักษณะเด่นมีผิวโลหะของสายอาชญากรรม ตัวสะท้อนพาราโบลิกที่มีการป้อนสัญญาณเข้าที่ด้านหลังตัวสะท้อนโดยใช้การควบคุมไฟด้วยวิธีปรับขนาดแผ่นสะท้อน สำหรับการสื่อสารความเที่ยงตรงต่อในอนาคต และสามารถประยุกต์ใช้งานกับการสื่อสารผ่านเครือข่ายไร้สายได้ด้วย ดังนั้นจึงมีความจำเป็นที่จะต้องดำเนินการสำรวจและศึกษาปริทัศน์ วรรณกรรมและงานวิจัยที่เกี่ยวข้อง ทั้งนี้เพื่อให้ทราบถึงแนวทางการวิจัยที่เกี่ยวข้อง ระเบียบวิธีที่เคยถูกนำมาใช้ ผลการดำเนินการวิจัย ตลอดจนข้อคิดเห็นและข้อเสนอแนะต่างๆ เพื่อที่จะนำไปสู่วัตถุประสงค์หลักที่ได้ตั้งไว้ โดยฐานข้อมูลที่ใช้ในการสืบค้นงานวิจัยนี้เป็นฐานข้อมูลที่มีชื่อเสียงและได้รับการยอมรับกันอย่างกว้างขวาง เช่น ฐานข้อมูล IEEE [1] และฐานข้อมูล IEICE [2] นอกจากนี้ยังได้ทำการสืบค้นงานวิจัยจากแหล่งอื่น ๆ เช่น จากห้องสมุดของมหาวิทยาลัยต่าง ๆ ทั้งในและต่างประเทศ ผลการสืบค้นที่ได้จะใช้เป็นแนวทางในการดำเนินการวิจัยต่อไป

#### 2.2 ปริทัศน์วรรณกรรมและงานวิจัยที่เกี่ยวข้อง

จากการสืบค้นปริทัศน์วรรณกรรมและงานวิจัยที่เกี่ยวข้องกับการออกแบบสายอาชญากรรมล้ำดับสะท้อนในโครงสร้างในฐานข้อมูลที่มีชื่อเสียงดังได้กล่าวถึงข้างต้นดังต่อไปนี้ สามารถสรุปได้โดยย่อดังตารางที่ 2.1 โดยเรียงลำดับตามปี ค.ศ. ที่งานวิจัยนั้นได้รับการตีพิมพ์ ดังนี้

#### ตารางที่ 2.1 ผลงานวิจัยที่เกี่ยวข้อง

ค.ศ.	คณผู้วิจัย	การดำเนินการวิจัย
1987	R.E. Munson <i>et al.</i> [4]	นำเสนอการวิเคราะห์สายอาชญากรรมล้ำดับสะท้อนในโครงสร้าง เป็นครั้งแรก เพื่อใช้ในการสื่อสารผ่านความเที่ยง โดยแสดงการ แผ่พลังงานกลับด้วยอะเพอร์เรอร์สีเหลืองผืนผ้า และศึกษาการ ปรับความยาวสตั๊บในโครงสร้างเพื่อยับกับการแผ่พลังงาน ของแผ่นสะท้อน

1991	J. Huang [5]	นำเสนอหลักการวิเคราะห์สายอากาศแควร์ลามดับสะท้อนสำหรับระบบเรดาร์ด้วยอะเพอร์เรจอร์ร่วงกลม ด้วยการปรับความขาวสตับในโกรสตริป โดยศึกษาเกี่ยวกับประสิทธิภาพของสายอากาศ แต่การออกแบบสายอากาศแควร์ลามดับสะท้อนโดยใช้สตับทำให้เกิดการแผ่พลังงานปลอมเทีบม ส่งผลให้มีการสูญเสีย
1992	F. Gautier <i>et al.</i> [6]	นำเสนอหลักการออกแบบสายอากาศแควร์ลามดับสะท้อนโดยใช้การปรับเฟสสะท้อนด้วยไคโอดซิงເສມීອນกับการปรับตัวเก็บประจุ
1993	D.M. Pozar และ T.A. Metzler [7-8]	นำเสนอหลักการวิเคราะห์สายอากาศแควร์ลามดับสะท้อนโดยใช้ระเบียงวิช් โนเมนต์และเทคนิคแควร์ลามอนน์ (Infinite Array) และหากราฟความสัมพันธ์ระหว่างขนาดของแผ่นสะท้อนกับเฟสสะท้อน
1994	S.D. Targonki และ D.M. Pozar [9]	นำเสนอหลักการวิเคราะห์และการออกแบบสายอากาศแควร์ลามดับสะท้อนด้วยการปรับขนาดของแผ่นสะท้อน โดยใช้ระเบียงวิช් โนเมนต์ในการวิเคราะห์สายอากาศ และเน้นศึกษาเฉพาะสายอากาศแควร์ลามดับสะท้อนที่มีการโพลาไรซ์เชิงเดี่ยวน์ (Linear Polarization) เท่านั้น ผลการวิจัยพบว่าระดับการโพลาไรเซชันไชร์ (Cross-Polarization) ต่ำกว่าเป็นหลัก -20 dB และอยู่ในทิศทางเดียวกัน ซึ่งการโพลาไรเซชันไชร์เกิดจากการร้าวไฟลของ การแผ่พลังงานของสนามในเดือนประจำเฟสในโกรสตริป
1994	R. Profera และ E. Charles [10]	นำเสนอหลักการออกแบบสายอากาศแควร์ลามดับสะท้อนแบบแยกทิฟโดยใช้ตัวเดื่อนเฟส (Phase Shifter) ร่วมกับตัวขยาย (Amplifier) และเซอร์คูลเตอร์ (Circulator)
1995	D.C. Chang <i>et al.</i> [11]	นำเสนอการออกแบบและสร้างสายอากาศแควร์ลามดับสะท้อนโดยใช้เทคนิคการปรับเฟสด้วยการปรับความขาวของสตับในโกรสตริป ซึ่งใช้สตับสองตัววางตำแหน่งแตกต่างกัน $90^\circ$ จึงทำให้สายอากาศมีสองการโพลาไรซ์ (Dual Linear Polarization) ส่งผลให้ระดับการโพลาไรซ์ไชร์ลดลง และประสิทธิภาพของสายอากาศเพิ่มขึ้น 70% ที่ความถี่ 9.35 GHz

1995	J. Huang <i>et al.</i> [12]	J. Huang <i>et al.</i> ได้ต่อยอดงานวิจัยของตนเองในปี 1990 โดยนำเสนอหลักการออกแบบและการสร้างสายอากาศแควลำดับสะท้อนแบบสองความถี่ (Dual Frequency) โดยใช้การออกแบบเป็นสองเลเยอร์
1995	R.D. Javor และ K. Chang [13]	นำเสนอหลักการออกแบบและการสร้างสายอากาศแควลำดับสะท้อนแบบสองความถี่ที่มีสองการโพลาไรซ์ และสามารถสวิตช์บีบีได้ โดยใช้เทคนิค Bonding Wire ตามความยาวสัตบันไมโครสตริป
1996	J. Huang [14]	ศึกษาหลักการออกแบบสายอากาศแควลำดับสะท้อน โดยพบว่า สมรรถนะของสายอากาศแควลำดับสะท้อนที่ต้องพิจารณา คือ ประสิทธิภาพและความกว้างแบบ ซึ่งประสิทธิภาพของสายอากาศแควลำดับสะท้อนอยู่ในช่วง 50%-70% ของประสิทธิภาพของสายอากาศตัวสะท้อนพาราโบลิก เมื่อจากเกิดการสูญเสียจากการแผ่กำลังงานกลับ ซึ่งการสูญเสียนี้จะส่งผลกระทบเมื่อออกแบบให้สายอากาศแควลำดับสะท้อนมีความถี่ปฏิบัติการตั้งแต่คลื่นมิลลิเมตรและไมโครเวฟขึ้นไป นอกจากนี้ สายอากาศแควลำดับสะท้อนจะมีความกว้างแบบค่อนข้างแคบ เนื่องจากแผ่นสะท้อนและตัวป้อนมีความกว้างแบบแคบ ผลกระทบระหว่างระหว่างแผ่นสะท้อน และการประวิงไฟส์
1997	D.M. Pozar และ S.D. Targonki [15]	นำเสนอหลักการออกแบบและการสร้างสายอากาศแควลำดับสะท้อนสำหรับคลื่นมิลลิเมตรด้วยการปรับขนาดของแผ่นสะท้อนโดยใช้ระบบวิธีไมemenต์ในการวิเคราะห์สายอากาศ ผลการวิจัยพบว่า ค่าเฟสผิดพลาด การเลือกชนิดของแผ่นวงจรพิมพ์ และความกว้างแบบจะมีผลกระทบกับการออกแบบ โดยเมื่อปรับขนาดแผ่นสะท้อนจะทำให้ไฟสีการเปลี่ยนแปลงอย่างรวดเร็วแบบไม่เป็นเชิงเส้น ส่งผลให้สามารถปรับขนาดแผ่นสะท้อนได้ประมาณ $\pm 5\%$ ของขนาดแผ่นสะท้อน ความถี่ปฏิบัติการเท่านั้น จึงทำให้สายอากาศแควลำดับสะท้อนมีความกว้างแบบแคบ นอกจากนี้ความหนาของไมโครสตริปทำให้ค่าเฟสผิดพลาดเพิ่มขึ้น เมื่อปรับเพิ่มขนาดแผ่นสะท้อนเท่าใดก็ตามจะไม่

		เกิดเฟสสะท้อนที่ $0^\circ$ และค่าเฟสผิดพลาดนี้ทำให้ค่าสภาพเจาะจงทิศทางและแบบรูปการแผ่กระจายกำลังงานลดลงด้วย และงานวิจัยนี้ยังแนะนำอีกว่า ยังไม่มีซอฟแวร์ช่วยคำนวณ (CAD) ใดๆ สามารถออกแบบสายอากาศชนิดนี้ได้ ดังนั้นการสร้างสายอากาศแล้วตัวดับสะท้อนไม่สามารถใช้การจำลองด้วยโปรแกรมที่เขียนขึ้นเองเพื่อวิเคราะห์และการออกแบบสายอากาศ โดยใช้ระบบวิธีที่ให้ผลโดยแม่นยำ
1998	J. Huang <i>et al.</i> [16]	นำเสนอหลักการวิเคราะห์และการออกแบบสายอากาศแล้วตัวดับสะท้อนในย่านแอนด์ความถี่ Ka-band ให้มีเฟสสะท้อนที่สนามรระยะใกล้เท่ากันและมีการโพลาไรซ์เชิงวงกลม โดยใช้เทคนิคการปรับนุ่มนวลของแต่ละตัวดับสะท้อนที่มีสัดส่วนในโครงสร้างปั๊มต่อร่วมจากการวิจัยพบว่า สายอากาศให้ประสิทธิภาพอะเพอร์เจอร์มากกว่า 55%
1998	D. Pilz และ W. Menzel [17]	นำเสนอหลักการวิเคราะห์และการออกแบบสายอากาศแล้วตัวดับสะท้อนเพื่อตัดการสัญญาณเสียงจากการบล็อกของตัวป้อนสัญญาณด้วยหลักการ Folded ซึ่งใช้การบิด (Twist) โพลาไรซ์ $90^\circ$ ร่วมกับการหาระยะไฟกัลของตัวสะท้อน
1999	D.M. Pozar และ S.D. Targonski [18]	นำเสนอความคิดพื้นฐานของตนเองมาต่อจาก โดยนำเสนอการออกแบบ สร้างและทดสอบสายอากาศแล้วตัวดับสะท้อนในโครงสร้างโดยใช้การสังเคราะห์เฟส ซึ่งสามารถจัดลำคลื่น (Shaped-Beam) ให้แบบรูปการแผ่กำลังงานครอบคลุมพื้นที่รับบริการได้ตามลักษณะภูมิประเทศของกลุ่มทวีปยุโรป สายอากาศนี้มีการโพลาไรซ์เชิงเส้นและความถี่ปัจจุบันอยู่ในแอนด์ความถี่ Ku-band จากผลการวิจัยพบว่าสายอากาศแล้วตัวดับสะท้อนนี้มีข้อด้อยคือ มีความกว้างแอบของแบบรูปการแผ่กำลังงานแคบกว่าตัวสะท้อนพาราโบลิกแบบจัดลำคลื่น และประสิทธิภาพอะเพอร์เจอร์ลดลง โดย 99% ของพื้นที่บริการมีสภาพเจาะจงทิศทางไม่น้อยกว่า 23 dB และสายอากาศนี้มีความถี่ปัจจุบันเฉพาะแอนด์ความถี่ต่ำ ( $14 \text{ GHz}$ ) ของ Ku-band เท่านั้น ซึ่งแตกต่างจาก

		สายอากาศตัวสะท้อนแบบจัดลำดับที่สามารถให้ความถี่ปฎิบัติการได้ทั้งหมดความถี่ต่ำและตอบความถี่สูง (18 GHz)
2001	M.E. Bialkowski <i>et al.</i> [19]	นำเสนอหลักการวิเคราะห์และการออกแบบสายอากาศแควลำดับสะท้อนโดยใช้อะเพอร์เจอร์แบบมีการเชื่อมร่วมและตัวป้อนคู่ผลกระทบวิจัยพบว่าอะเพอร์เจอร์แบบมีการเชื่อมร่วมสามารถลดความแตกต่างของการประวิงไฟฟ้าเชิงօ瓦ค่า ได้
2001	J.A. Encinar [20]	นำเสนอการเพิ่มความกว้างແตนโดยการทำสายอากาศแควลำดับสะท้อนในโครงสร้างสองเลเยอร์ (Two-Layer) ด้วยแควลำดับช้อนแบบสองการโพลาไรซ์ และใช้การปรับขนาดของแผ่นสะท้อนนี้ด้วยวิเคราะห์เฟสสะท้อนของสายอากาศแควลำดับสะท้อนหลายเลเยอร์ด้วยระเบียบวิธีโนเมนต์ จากการวิจัยพบว่าความกว้างແตนของสายอากาศต้นแบบขนาดเส้นผ่านศูนย์กลาง 40 cm ที่ความถี่ปฎิบัติการ 12 GHz เพิ่มขึ้น 16%
2002	M.E. Bialkowski <i>et al.</i> [21]	นำเสนอหลักการออกแบบ โครงสร้างของตัวรวมกำลังงาน (Power-combining) โดยใช้สายอากาศแผ่นสะท้อนในโครงสร้างแบบอะเพอร์เจอร์แบบมีการเชื่อมร่วมและตัวป้อนคู่ของสายอากาศแควลำดับสะท้อน
2002	M.E. Bialkowski <i>et al.</i> [22]	นำเสนอหลักการออกแบบ การพัฒนา และการทดสอบสายอากาศตัวขยายแควลำดับสะท้อนที่ແตนความถี่ปฎิบัติการ X-band โดยใช้แควลำดับอะเพอร์เจอร์แบบมีการเชื่อมร่วมและมีสองการโพลาไรซ์ ร่วมกับทรานซิสเตอร์แบบ FET และวงจรปรับไฟส์เพื่อขยายสัญญาณในโครเวฟและแผ่พลังงานไปในทิศทางที่ต้องการ
2003	M.E. Bialkowski <i>et al.</i> [23]	นำเสนอการออกแบบสายอากาศแควลำดับสะท้อนด้วยการปรับขนาดแผ่นสะท้อน โดยใช้หน่วยเซลล์ท่อน้ำคู่ในสมมูล (Equivalent Unit Cell Waveguide) ซึ่งเป็นการออกแบบสายอากาศในโครงสร้างแบบหลายเลเยอร์ และแก้ปัญหาด้วยเทคนิคการแมมต์สนามและระเบียบวิธีโนเมนต์ ทำให้สามารถลดเวลาประมวลผลด้วยคอมพิวเตอร์ได้

2003	V.F. Fusco <i>et al.</i> [24-26]	นำเสนอการออกแบบสายอากาศแคลว์ดับสะท้อน โดยใช้แผ่นสะท้อนวงแหวนแยก (Split Ring Element) แบบสองเลเยอร์ ซึ่งสามารถปรับเฟสสะท้อนแยกอิสระในแต่ละความถี่ได้
2003	C. Han และ K. Chang [27]	นำเสนอการออกแบบสายอากาศแคลว์ดับสะท้อน โดยใช้แผ่นสะท้อนวงแหวนที่ย่านความถี่ Ka-band ทำให้สายอากาศมีการโพลาไรซ์เชิงวงคลม
2003	D. M. Pozar [28]	ศึกษาเกี่ยวกับพารามิเตอร์ที่ใช้ควบคุมความกว้างแอบสำหรับสายอากาศแคลว์ดับสะท้อน และนำเสนอการบิดโพลาไรซ์ของสายอากาศแคลว์ดับสะท้อนโดยใช้อะเพอเจอร์แบบเชื่อมร่วมเพื่อปรับก้าวประวิงเฟสของแผ่นสะท้อน
2003	R.W. Clark <i>et al.</i> [29]	นำเสนอการออกแบบสายอากาศแคลว์ดับสะท้อนแบบแยกทีฟ โดยใช้ตัวขยายต่อภายในร่องของแผ่นสะท้อน ทำให้สามารถลดระยะห่างระหว่างแอบล้ำดับแผ่นสะท้อน ลดการสูญเสียในสายส่ง และสร้างได้ง่ายเมื่อเปรียบเทียบสายอากาศแคลว์ดับสะท้อนแบบแยกทีฟที่มีผู้จัดมาแล้ว และงานวิจัยนี้ได้ศึกษาถึงผลของร่องรูปแบบต่างๆ โดยกำหนดให้สายอากาศมีสองการโพลาไรซ์
2003	F. Venneri <i>et al.</i> [30-31]	นำเสนอการปรับปรุงอัลกอริทึมการสังเคราะห์เพื่อใช้ออกแบบสายอากาศแคลว์ดับสะท้อนแบบพาสเซิฟและแบบแยกทีฟ โดยใช้หลักการ Iterative Projection
2003	D.G. Kurup <i>et al.</i> [32]	นำเสนอการออกแบบสายอากาศแคลว์ดับสะท้อนที่มีระยะห่างระหว่างแผ่นสะท้อนไม่เท่ากัน โดยใช้การสังเคราะห์ด้วยอัลกอริทึม Differential Evolution จากผลการวิจัยพบว่าสายอากาศนี้มีระดับพุ่งข้างลดลง เมื่อเทียบกับสายอากาศแคลว์ดับสะท้อนที่มีระยะห่างระหว่างแผ่นสะท้อนเท่ากัน
2003	M. R. Chaharmir <i>et al.</i> [33]	นำเสนอการจัดลำคลื่นและสวิตช์ลำคลื่นของสายอากาศแคลว์ดับสะท้อน โดยใช้การปรับร่อง ทำให้เกิดลำคลื่นเป็น 3 บีมที่ต่ำแห่ง $\pm 30^\circ$ และ $0^\circ$
2003	J.A. Encinar <i>et al.</i> [34]	นำเสนองานวิจัยต่อยอดจาก [20] โดยออกแบบสายอากาศแคลว์ดับสะท้อนแบบความถี่กว้างแบบในโครงสร้างสามเลเยอร์ (Three-Layer) ซึ่งใช้การปรับขนาดแผ่นสะท้อนให้เหมาะสมที่สุด

		กับเฟสตามแบบความถี่ ทำให้มีแบบรูปการแผ่กระจายกำลังงาน ใกล้เคียงกันตลอดย่านความถี่ปฎิบัติการ
2004	J. A. Encinar <i>et al.</i> [35]	นำเสนองานวิจัยต่อยอดจาก [34] โดยออกแบบสายอากาศ แคลว์ดับเบิลหอน ในโครงสร้างปัจจัดล้ำเป็นคอนทัวร์ (Contoured Beam) ด้วยเทคนิคการสังเคราะห์เฟสให้เหมาะสมตามพื้นผิว สายอากาศแคลว์ดับเบิลหอน งานวิจัยนี้ได้ออกแบบสายอากาศ แบบสองเลเยอร์ให้มีแบบรูปลำดินสอแยกกัน $55^\circ$ และออกแบบสายอากาศแบบสามเลเยอร์ขนาด 80 cm ให้มีสองการโพลาไรซ์ ความถี่ปฎิบัติการ 12.8-14.2 GHz ครอบคลุมพื้นที่ของทวีป อเมริกาใต้
2004	C. Han <i>et al.</i> [36]	นำเสนอสายอากาศแคลว์ดับเบิลหอนที่มีสองความถี่ สองเลเยอร์ และมีการโพลาไรซ์เชิงวงกลม ใช้งานในย่านความถี่ C-band และ Ka-band โดยใช้การปรับมุมการวางของแผ่นสะท้อนวงแหวน งานวิจัยนี้แนะนำว่า แผ่นสะท้อนวงแหวนเหมาะสมสำหรับการออกแบบสายอากาศแคลว์ดับเบิลหอนแบบหลายเลเยอร์และหลาย ความถี่ เนื่องจากไม่เกิดแบ่งคลื่น ผลการวิจัยพบว่าสายอากาศมี ประสิทธิภาพต่ำ โดยได้ประสิทธิภาพ 46% ที่ความถี่ 7.3 GHz และ 38% ที่ 31.75 GHz และระดับการโพลาไรซ์ไขว้ได้เป็น -21 dB และ -29.2 dB ตามลำดับ
2004	A.F. Martynyuk <i>et al.</i> [37]	นำเสนอหลักการวิเคราะห์และออกแบบสายอากาศแคลว์ดับเบิลหอน โดยใช้โหลดต่อร่วมกับเรโซเนเตอร์แบบร่องวงแหวน ทำให้สายอากาศมีการโพลาไรซ์เชิงวงกลม และใช้วิธีจำลองแบบ ด้วยหอนนำคลื่น (Waveguide Simulator) เพื่อวิเคราะห์สายอากาศ จากผลการวิจัยพบว่า การออกแบบสายอากาศแคลว์ดับเบิลหอน แบบเลเยอร์เดียวด้วยหลักการนี้ที่ความถี่ Ka-band จะได้รับ สัมประสิทธิ์แปลงผัน (Conversion Coefficient) -1.5 dB ที่มุม Elevation = $65^\circ$ และถ้าเพิ่มจำนวนเลเยอร์ของสายอากาศจะทำให้ คุณลักษณะการสะท้อนเพิ่มขึ้น
2004	M. Bozzi <i>et al.</i> [38]	ศึกษาค่า Figure of Merit ของการสูญเสียภายในสายอากาศ แคลว์ดับเบิลหอน (Ohmic Loss) และไอดิอิเล็กทริก (Dielectric

		Loss) โดยใช้แบบจำลองวงจร RLC สมมูลเพื่อพิจารณาไฟส่อง แผ่นสะท้อน
2004	F. Arpin <i>et al.</i> [39]	นำเสนอสายอากาศแคลว์ลำดับสะท้อนรวมกำลังงานแบบหลาย ตัวป้อน ลำคัลลินเดียว สายอากาศมีประสิทธิภาพ 33% และ อัตราขยาย 26.17 dBi
2004	B. Strassner <i>et al.</i> [40]	นำเสนอสายอากาศแคลว์ลำดับสะท้อนที่มีการโพลาไรซ์เชิงวงกลม โดยใช้การปรับมุมการวางของแผ่นสะท้อนวงแหวน จาก ผลการวิจัยพบว่า สายอากาศมีประสิทธิภาพ 41.7% อัตราขยาย 27.6 dB ระดับพูเข้า 17.3 dB และโพลาไรซ์ไขว้ 23.2 dB ที่ความถี่ 7.1 GHz
2004	A. Trastoy <i>et al.</i> [41]	นำเสนอการสังเคราะห์ไฟส่องสำหรับแบบรูปการแผ่กำลังงานแบบ สมมาตรซึ่งไม่อยู่ในแกนหมุน phi ของสายอากาศแคลว์ลำดับ สะท้อนอะเพอเจอร์วงกลมที่มีแผ่นสะท้อนจำนวนมาก โดยใช้ Taylor Expression
2004	T.N. Chang <i>et al.</i> [42-43]	นำเสนอหลักการวิเคราะห์และออกแบบสายอากาศแคลว์ลำดับ สะท้อนแบบสองเดียวกัน ด้วยการปรับสัดส่วนในโครงสร้างแบบ เชื่อมต่อใกล้ (Proximity-Coupling) [42] ซึ่งการปรับสัดส่วนนี้ แบ่งเป็นสองส่วนคือ ส่วนการปรับการประวิงไฟ และส่วนการ ทำแมตซ์อินพีดเอนซ์ ผลการวิจัยพบว่า สายอากาศมีอัตราขยายที่ -3 dB เป็น 22% มีระดับพูเข้า -15 dB และระดับการโพลาไรซ์ไขว้ เท่ากับ -30 dB นอกจากนั้น T.N. Chang <i>et al.</i> [43] ยังเสนอการ ปรับไฟส่ายอากาศแคลว์ลำดับสะท้อนด้วย QUAD-EMC ด้วย
2005	S.R. Rengarajan <i>et al.</i> [44]	ศึกษาการเลือกฟังก์ชันกฐาน (Basis function) ของระบบวิธี โนเมนต์เพื่อให้ได้คุณลักษณะที่ถูกต้องสำหรับการวิเคราะห์ สายอากาศแคลว์ลำดับสะท้อนด้วย Infinite Array
2005	J. Shaker <i>et al.</i> [45]	นำเสนอการออกแบบสายอากาศแคลว์ลำดับสะท้อนแบบหลาย ความถี่และหลายการโพลาไรซ์ โดยออกแบบให้ระนาบดิน (Ground Plane) เป็นพื้นผิวเลือกความถี่ (Frequency Selective Surface หรือ FSS) ทำให้ระบบตัวป้อนออกแบบและสร้างได้ง่าย และมีอิสระในการเห็นใจแบบรูปการแผ่กำลังงาน ผลการวิจัย

		พบว่าประสิทธิภาพของสายอากาศที่แอบความถี่ต่ำและแอบความถี่สูงของ Ku-band เท่ากับ 60% และ 40% ตามลำดับ
2005	S.V. Hum <i>et al.</i> [46]	นำเสนอการออกแบบสายอากาศแคลดับสะท้อนแบบแยกทีฟโดยใช้การปรับวงจรอิเล็กทรอนิกส์ด้วยวนเรกเตอร์ไดโอด ทำให้สามารถปรับเฟสสะท้อนได้กว้าง แต่ว่าการนี้จะทำให้เกิดการสูญเสียเนื่องจากเฟสผิดพลาด
2005	D. Cadoret <i>et al.</i> [47]	นำเสนอการออกแบบสายอากาศแคลดับสะท้อนโดยใช้ร่องโอลด์ ซึ่งใช้การปรับเฟสสะท้อนด้วยการปรับขนาดแผ่นสะท้อนร่วมกับการปรับอะเพ้อเจอร์ของร่อง ผลการทดสอบพบว่าสายอากาศแคลดับสะท้อนขนาด 437 แผ่น ที่ความถี่ปฏิบัติการ Ku-band มีความกว้างแอบเพิ่มขึ้น 4%
2005	Z.H. Wu <i>et al.</i> [48]	นำเสนอสายอากาศแคลดับสะท้อนที่มีการโพลาไรซ์เชิงวงกลมโดยใช้ตัวป้อนที่มีการโพลาไรซ์เชิงเส้น ผลการวิจัยพบว่าสายอากาศมีระดับการโพลาไรซ์ไขว้ -20 dB และมีความกว้างแอบที่ -10 dB เท่ากับ 14% ซึ่งสายอากาศแคลดับสะท้อนที่มีการโพลาไรซ์เชิงวงกลมโดยใช้ตัวป้อนที่มีการโพลาไรซ์เชิงเส้นนี้จะมีคุณสมบัติเทียบเท่าสายอากาศแคลดับสะท้อนที่ป้อนด้วยตัวป้อนที่มีการโพลาไรซ์เชิงวงกลม
2005	R. Leberer และ W. Menzel [49]	ต่อยอดงานวิจัยของตนเองในปี 1998 โดยนำเสนอสายอากาศแคลดับสะท้อนระนาบๆ ซึ่งใช้การสังเคราะห์เฟสและแอมพลิจูดแบบกระจายตามอะเพอร์เจอร์สายอากาศ และใช้การบิดโพลาไรซ์เพื่อปรับเฟสสะท้อน
2005	F. Venneri <i>et al.</i> [50]	ต่อยอดงานวิจัยของตนเองในปี 2003 โดยนำเสนอการปรับปรุงอัลกอริทึมการสังเคราะห์เพื่อใช้ออกแบบสายอากาศแคลดับสะท้อนสำหรับขนาดแผ่นสะท้อนไม่เท่ากัน โดยใช้หลักการ Iterative Projection
2005	C. Han <i>et al.</i> [51]	นำเสนอสายอากาศแคลดับสะท้อนสองแอบความถี่คือ X-band และ Ka-band โดยใช้ Thin Membrane ทำให้การอฟเซตตัวป้อนมีประสิทธิภาพสูง และใช้การหมุนแพ่นสะท้อนวงแหวนเพื่อปรับเฟส ผลการวิจัยพบว่า สายอากาศมีประสิทธิภาพ 50% และมีการ

โพลาร์ไซร์เซิงวัสดุ		
2005	V. F. Fusco [52]	นำเสนอผลไกการสแกนบีมสำหรับสายอากาศแฉล้มดับสะท้อนในโครงสร้างโดยใช้การหมุนแผ่นวงกลมซึ่งแผ่นวงกลมจะทำหน้าที่เป็นตัวปรับเฟสปัลอมเทียม จากการวิจัยพบว่าสายอากาศสามารถสแกนบีมได้ $10^\circ$

### 2.3 สรุป

สายอากาศที่ก่อตัวมาหันหน้าไปทางทิศเหนือเพื่อให้สายอากาศแฉล้มดับสะท้อนในโครงสร้างมีความกว้างสำคัญมากเพื่อให้มีสภาพเฉพาะจุดสูง จึงทำให้แบบรูปการแผ่กระจายกำลังงานครอบคลุมพื้นที่รับบริการในบริเวณแคบ ถ้าต้องการแบบรูปการแผ่กระจายกำลังงานครอบคลุมพื้นที่รับบริการบริเวณกว้างขึ้น เพื่อใช้กับความเที่ยงตรงต่ำและเทคโนโลยีเครื่องข่ายท้องถิ่นแบบไร้สายภายในห้องขนาดใหญ่ จำเป็นต้องลดจำนวนแฉล้มดับ แต่จะทำให้สายอากาศมีกำลังขยายลดลงด้วย จากบทความของ Peter F. M. Smulders et al. [53] ได้ออกแบบสายอากาศตัวสะท้อนพาราโบลาลิกที่มีการป้อนสัญญาณเข้าที่ด้านหลังตัวสะท้อนเพื่อใช้งานกับเทคโนโลยีการสื่อสารแบบไร้สายภายในห้องขนาดใหญ่ ซึ่งสายอากาศที่ออกแบบนี้มีความกว้างสำคัญที่กว้างมาก แต่จากปัญหาของสายอากาศตัวสะท้อนพาราโบลาลิกดังที่ก่อตัวมาแล้วในบทที่ 1 งานวิจัยนี้จึงเสนอการออกแบบแบบแผ่นสะท้อนของสายอากาศแฉล้มดับสะท้อนในโครงสร้างด้วยเทคนิคการจัดเฟสของสัญญาณให้เกิดคลื่นลักษณะเดียวกันผ่านพื้นผิวห้องของสายอากาศตัวสะท้อนพาราโบลาลิกที่มีการป้อนสัญญาณเข้าที่ด้านหลังตัวสะท้อน โดยใช้การควบคุมเฟสตัวบทวิธีปรับขนาดแผ่นสะท้อน เพื่อทำให้เกิดความกว้างสำคัญขนาดใหญ่ ซึ่งจากการทบทวนวรรณกรรม / สารสนเทศที่เกี่ยวข้องหักหมด จะเห็นได้ว่า ยังไม่มีຄณานักวิจัยได้เคยพิจารณางานวิจัยที่คล้ายหรือซ้ำซ้อนกับงานวิจัยที่จะดำเนินการในครั้งนี้มาก่อน ดังนั้นข้อมูลที่ได้จากการดำเนินการสำรวจและศึกษาปริทัศน์วรรณกรรมและงานวิจัยที่เกี่ยวข้องนี้จะถูกนำมาใช้ในการดำเนินการวิจัยต่อไป

## บทที่ 3

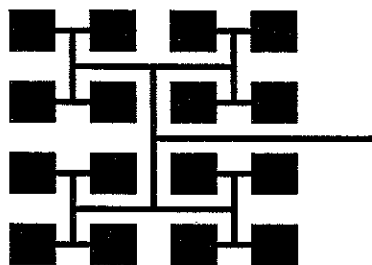
### ทฤษฎีและหลักการที่เกี่ยวข้อง

#### 3.1 บทนำ

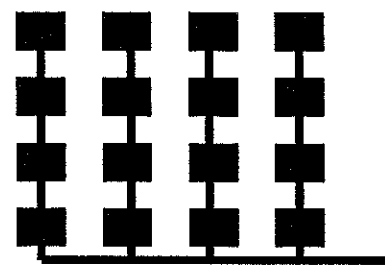
ในบทนี้จะนำเสนอทฤษฎีและหลักการที่เกี่ยวข้องกับการออกแบบสายอากาศแควร์ดับสะท้อนในโครงสร้างป โดยจะกล่าวถึงคุณลักษณะของสายอากาศแควร์ดับสะท้อนในโครงสร้างป การคำนวณหาการประวิงเฟสและเฟสสะท้อน การออกแบบแผ่นสะท้อน พิ้งชั้นก์ไดเออติกของกรีน และระเบียบวิธีโมเมนต์ (Method of Moments) นอกจากนี้จะนำเสนอการวิเคราะห์แผ่นสะท้อนด้วยหลักการแควร์ดับอนันต์ (Infinite Array) ซึ่งใช้ในการวิเคราะห์หาเฟสสะท้อน เพื่อเพิ่มประสิทธิภาพในการออกแบบสายอากาศแควร์ดับสะท้อนในโครงสร้างป

#### 3.2 คุณลักษณะของสายอากาศแควร์ดับสะท้อน

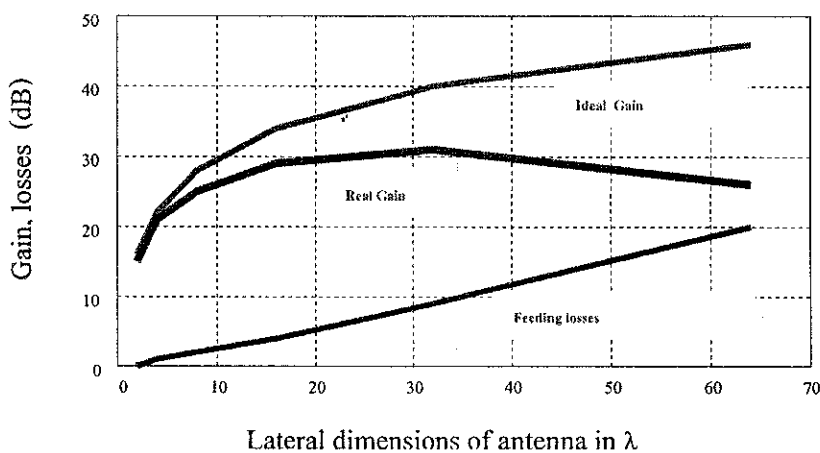
สายอากาศสำหรับใช้งานในระบบการสื่อสารควรมีคุณสมบัติดังนี้ คือให้อัตราขยายสูง มีการสูญเสียต่ำ ขนาดเล็กกะทัดรัด สร้างได้ง่าย และราคาต่ำ โดยสายอากาศแควร์ดับแบบในโครงสร้างป ถือเป็นสายอากาศที่มีคุณสมบัติเหมาะสม แต่สายอากาศดังกล่าวมีระบบป้อนสัญญาณ (Feed) ที่ซับซ้อนเกิดการสูญเสียภายในตัวป้อน และยังมีความกว้างແตน (Bandwidth) แคบ ดังแสดงในรูปที่ 3.1 นอกจากสายอากาศแควร์ดับแบบในโครงสร้างปแล้ว สายอากาศตัวสะท้อนพาราโบลิกก็เป็นสายอากาศอีกชนิดที่มีการใช้งานอย่างกว้างขวาง มีองค์ประกอบที่สำคัญคือ ตัวสะท้อน (Reflector) และตัวป้อนสัญญาณซึ่งมักใช้เป็นแบบสายอากาศปากแตร (Horn Antenna) สายอากาศตัวสะท้อนพาราโบลิกโดยทั่วไปจะมีการป้อนสัญญาณดังรูปที่ 3.2 ซึ่งมีสภาพเฉพาะเจาะจงทิศทางสูง เหนือสำหรับเป็นสายอากาศเพื่อใช้ในสถานีภาคพื้นดินสำหรับติดต่อ กับดาวเทียม หรือการสื่อสารด้วยคลื่นในโครงเวฟ เป็นต้น แต่เนื่องจากสายอากาศตัวสะท้อนพาราโบลิกมีขนาดใหญ่ และมีผิวโกรัง ดังนั้นจึงมีการออกแบบสายอากาศแควร์ดับสะท้อนในโครงสร้างปที่มีลักษณะราบรื่น แต่สามารถให้คุณสมบัติเช่นเดียวกับตัวสะท้อนพาราโบลิก นอกจากนี้สายอากาศแควร์ดับสะท้อนในโครงสร้างปยังมีน้ำหนักเบา ติดตั้งง่าย และเคลื่อนย้ายสะดวกด้วย รูปที่ 3.3 แสดงสายอากาศแควร์ดับสะท้อนในโครงสร้างป



ก. ระบบป้อนแบบขนาน

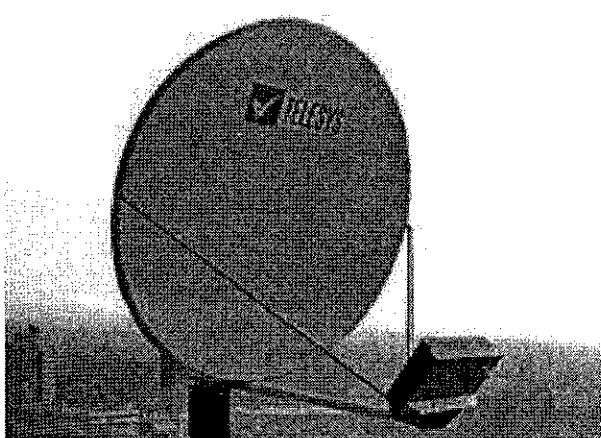


ข. ระบบป้อนแบบอนุกรม

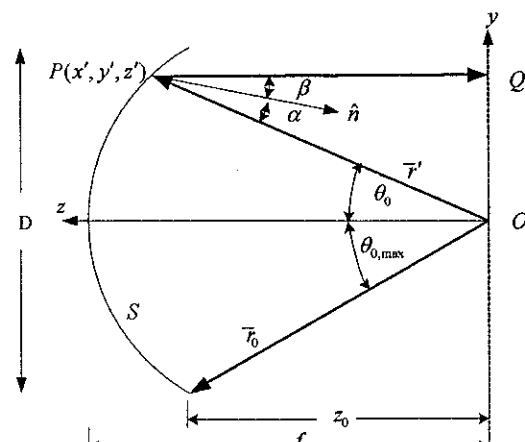


ค. กราฟความสัมพันธ์ระหว่างจำนวนแคร์ลัมดับกับการสูญเสีย

รูปที่ 3.1 สายอากาศแคร์ลัมดับแบบไมโครสตრิป

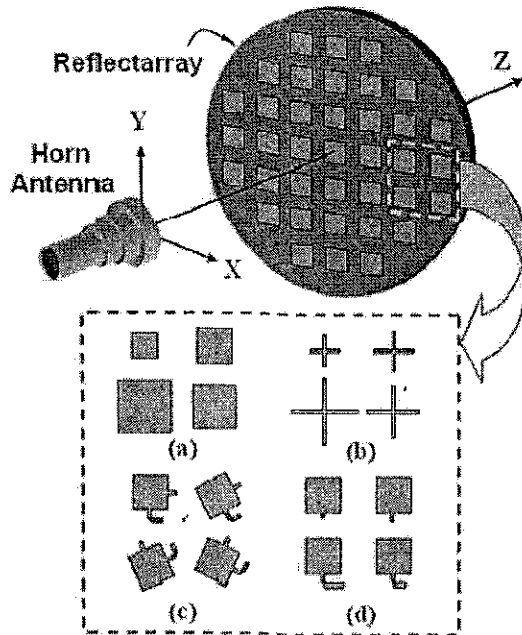


ก.



ก.ย.

รูปที่ 3.2 สายอากาศตัวสะท้อนพาราโบลิกที่มีการป้อนสัญญาณเข้าที่ด้านหน้าของตัวสะท้อน



รูปที่ 3.3 สายอากาศแຄวัลล์ตับสะท้อนในโครงสร้าง

### 3.2.1 หลักการสะท้อนคลื่นของสายอากาศตัวสะท้อนพาราโบลิกที่มีการป้อนสัญญาณเข้าที่ด้านหน้าของตัวสะท้อน

รูปที่ 3.2 แสดงการแผ่กระจายคลื่นในสายอากาศตัวสะท้อนพาราโบลิกที่มีการป้อนสัญญาณเข้าที่ด้านหน้าของตัวสะท้อน โดยคลื่นเดินทางจากจุดป้อนสัญญาณไปยังตัวสะท้อนพาราโบลิก และสะท้อนกลับไปยังสถานะระยะไกล เราสามารถหาความสัมพันธ์ได้ดังนี้

$$OP + PQ = 2f = \text{ค่าคงที่} \quad (3.1)$$

และหาความสัมพันธ์ระหว่าง  $\theta_{0,\max}$  กับ  $f/D$  ได้

$$\begin{aligned} \theta_{0,\max} &= \tan^{-1}\left(\frac{D/2}{z_0}\right) \\ &= 2 \tan^{-1}\left(\frac{D}{4f}\right) \end{aligned} \quad (3.2)$$

เมื่อ  $f$  คือ ระยะไฟฟ้าส

$\theta_{0,\max}$  คือ ขนาดมุมสูงสุดที่คลื่นเดินทางออกจากจุดป้อนสัญญาณไปยังตัวสะท้อน

$D$  คือ เส้นผ่านศูนย์กลางของตัวสะท้อนพาราโบลิก

### 3.2.2 หลักการสะท้อนคลื่นของสายอากาศแคลดับสะท้อนไมโครสตอริป

จากสมการ (3.1) สรุปได้ว่า สายอากาศตัวสะท้อนพาราโบลิกที่มีการป้อนสัญญาณเข้าที่ด้านหน้าของตัวสะท้อนทำให้คลื่นเดินทางไปยังบริเวณสนามระยะไกลมีเฟสเท่ากัน ไม่ว่าคลื่นจะตกกระทบที่ตำแหน่งใดของตัวสะท้อนก็ตาม แต่ถ้าแทนที่สายอากาศตัวสะท้อนพาราโบลิกด้วยสายอากาศแคลดับสะท้อนไมโครสตอริป ดังแสดงในรูปที่ 3.3 และรูปที่ 3.4 จะทำให้คลื่นเกิดการประวิงเฟส (Phase Delay) ในสนามระยะไกล ดังนั้นจึงจำเป็นต้องทำการจัดเฟสแผ่นสะท้อนในสายอากาศแคลดับสะท้อน เพื่อชดเชยเฟสดังกล่าว จึงทำให้สายอากาศแคลดับสะท้อนไมโครสตอริป มีคุณสมบัติเช่นเดียวกับตัวสะท้อนพาราโบลิก

โดยทั่วไป สายอากาศแคลดับสะท้อนไมโครสตอริปใช้หลักการออกแบบแผ่นสะท้อนไมโครสตอริปหรือแผ่นสะท้อนไดโอลให้มีการประวิงเฟส (Phase Delay) เสมือนตามลักษณะพิเศษของสายอากาศตัวสะท้อนพาราโบลิกที่มีการป้อนสัญญาณเข้าที่ด้านหน้าตัวสะท้อน เราสามารถคำนวณหาการประวิงเฟสนี้องจากคลื่นเดินทางจากตัวป้อนสัญญาณไปยังสายอากาศแคลดับสะท้อน แล้วสะท้อนกลับไปยังระยะสนามระยะไกลได้ดังนี้

$$\phi = \frac{2\pi}{\lambda_0} r = k_0 r \quad (3.3)$$

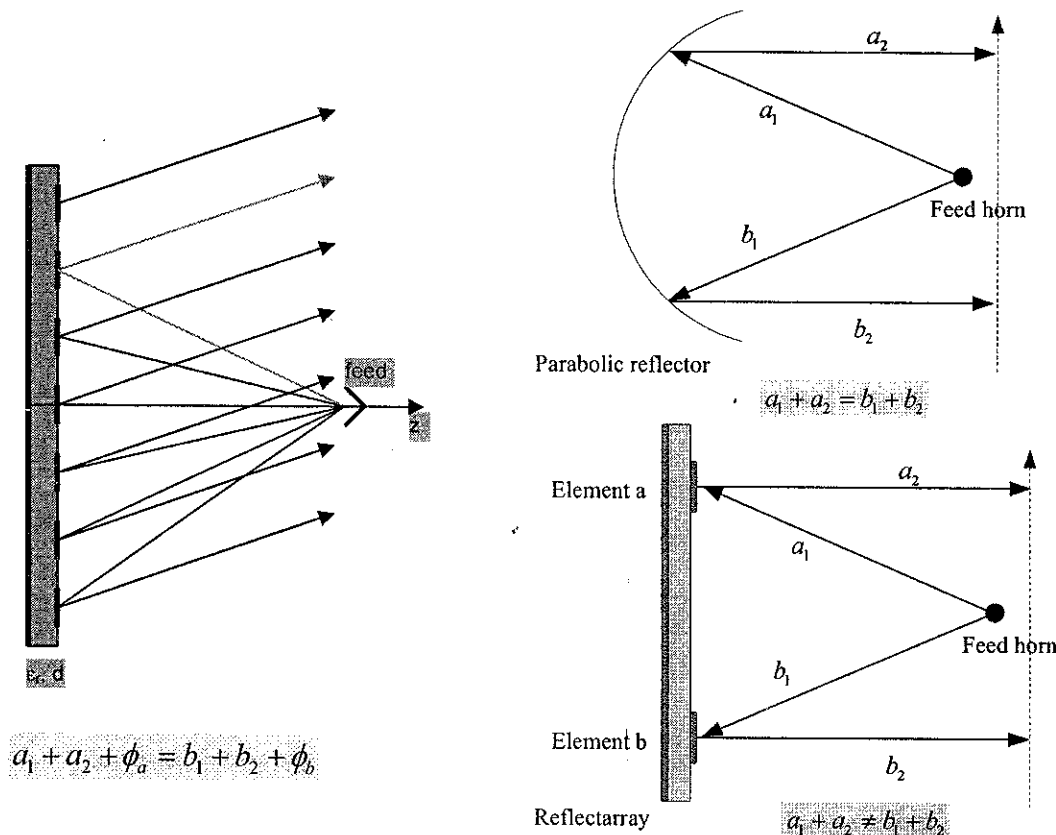
เมื่อ  $r$  คือระยะทางที่คลื่นเดินทาง และ  $\lambda_0$  คือความยาวคลื่นในอากาศว่าง สำหรับการประวิงเฟสสามารถคำนวณหาได้จากผลต่างระหว่างระยะการแผ่กระจายคลื่นของแผ่นสะท้อนไดๆ กับแผ่นสะท้อนอ้างอิง โดยที่  $m$  และ  $n$  คือแผ่นสะท้อนไดๆ ในแนวแกน  $x$  และ  $y$  ตามลำดับ ดังแสดงในรูปที่ 3.5

$$\begin{aligned} \Delta\phi &= \phi_{mn} - \phi_f \\ &= \frac{2\pi}{\lambda_0} (r_{mn} - r_f) \\ &= k_0 \Delta s \end{aligned} \quad (3.4)$$

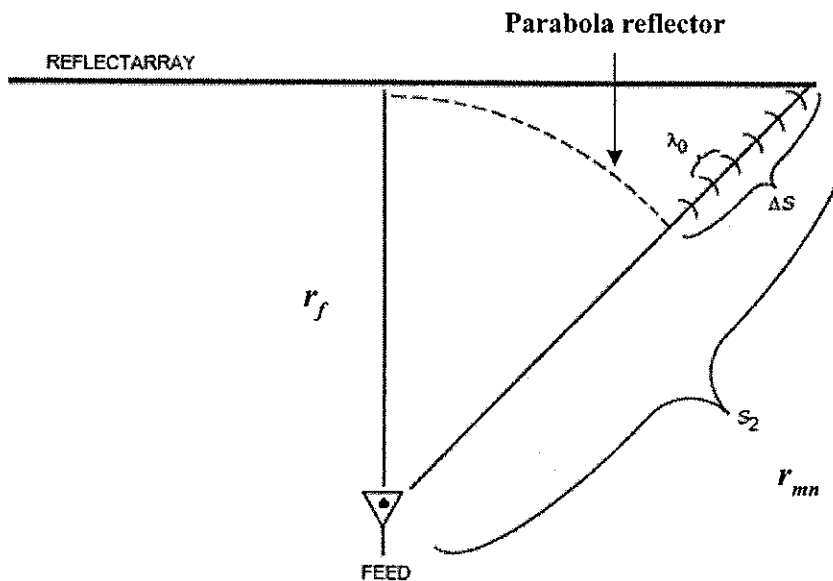
ดังนั้นเฟสสะท้อนของแผ่นสะท้อนไดๆ  $\psi_{mn}$  คือ

$$\psi_{mn} = \Delta\phi \pm 2\pi N \quad (3.5)$$

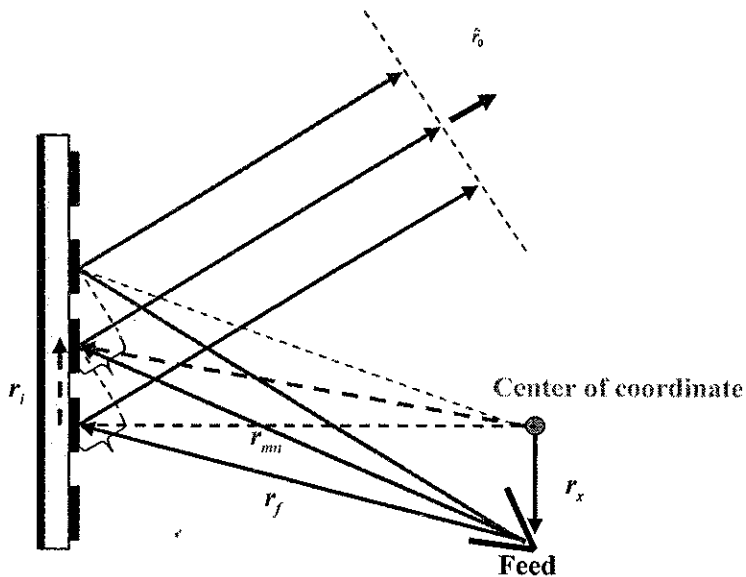
เมื่อ  $N = 0, 1, 2, 3, \dots$



รูปที่ 3.4 การแผ่กระจายคลื่นในสายอากาศตัวสะท้อนพาราโบลิก  
และสายอากาศแฉลามดับสะท้อนในโกรสติป



รูปที่ 3.5 การประวิงเฟสในสายอากาศแฉลามดับสะท้อนในโกรสติป



รูปที่ 3.6 การประวิงเฟสเนื่องจากการเลื่อนตัวป้อนสัญญาณและหน้ากากลีน

ถ้าหน้ากากลีน (Wavefront) และตัวป้อนสัญญาณปรับเปลี่ยนออกจากจุดศูนย์กลางของระบบพิกัดของสายอากาศแล้วดับสะท้อน ดังแสดงในรูปที่ 3.6 เราสามารถหาเฟสสะท้อนได้จาก

$$k_0 [r_{mn} + \bar{r}_i \cdot \hat{r}_0] - \psi_{mn} = 2\pi N \quad (3.6)$$

โดยที่

$$\bar{r}_i \cdot \hat{r}_0 = md_x \sin \theta \cos \phi + nd_y \sin \theta \sin \phi \quad (3.7)$$

เมื่อ  $d_x$  และ  $d_y$  คือ ระยะห่างระหว่างแผ่นสะท้อนในแนวแกน  $x$  และแกน  $y$  ตามลำดับ และหาความสัมพันธ์ระหว่าง  $\theta_{0,\max}$  กับ  $f/D$  ได้

$$\theta_{0,\max} = \tan^{-1} \left( \frac{D}{2f} \right) \quad (3.8)$$

เนื่องจากการออกแบบแผ่นสะท้อนไม่ใช่ทรงกระบอก แต่เป็นทรงกระบอกตapers ซึ่งมีเฟสสะท้อนเปลี่ยนตามลักษณะผิว ให้ดึงของสายอากาศตัวสะท้อนพาราโบลาลิกที่มีการป้อนสัญญาณเข้าที่ด้านหน้าตัวสะท้อน จะทำให้สายอากาศมีความกว้างลำคลื่นแคบ ดังแสดงในรูปที่ 3.7 ก. ดังนั้นงานวิจัยนี้จึงเน้นการวิเคราะห์และออกแบบแผ่นสะท้อนของสายอากาศแล้วดับสะท้อนไม่ใช่ทรงกระบอกซึ่งมีลักษณะราบรื่น ให้มีการจัดเฟสสะท้อนเปลี่ยนตามผิว ให้ดึงของสายอากาศตัวสะท้อนพาราโบลาลิกที่มีการป้อนสัญญาณเข้าที่ด้านหลังตัวสะท้อน เพื่อทำให้เกิดความกว้างลำคลื่นขนาดใหญ่ สำหรับการสื่อสารความเที่ยมวงโครงการต่อไปในอนาคต และสามารถนำไปประยุกต์ใช้งานกับการสื่อสารผ่านเครือข่ายไร้สายได้

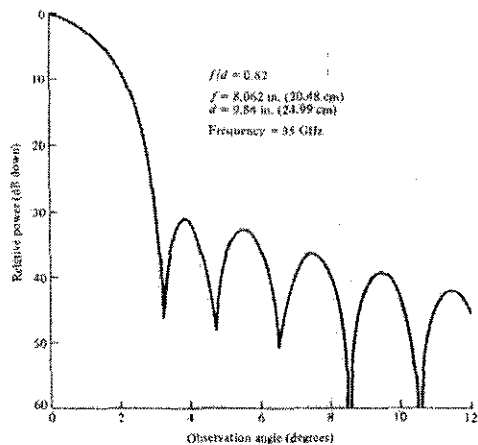
เมื่อนำกฎของสเนลล์ (Snell's Law) มาพิจารณาการสะท้อนคลื่นของสายอากาศตัวสะท้อนพาราโนบลิกที่มีการป้อนสัญญาณเข้าที่ด้านหลังตัวสะท้อน จะได้

$$\frac{dy_r}{dx_r} = \tan\left(\frac{1}{2}\theta_0 - \frac{1}{2}\theta_r\right) \quad (3.9)$$

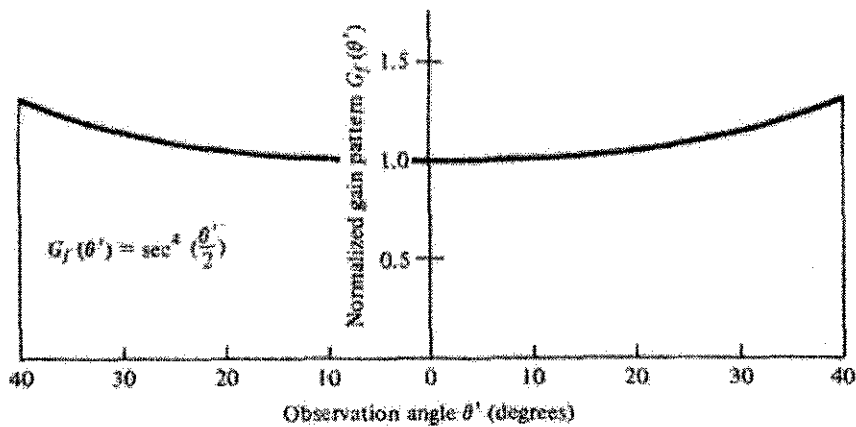
และ

$$\theta_{r,\max} = \tan^{-1}\left(\frac{D_c - D}{2h}\right) \quad (3.10)$$

- เมื่อ  $\theta_0$  คือ นูนตุกระบทของคลื่นเทียบแกน z  
 $\theta_r$  คือ นูนสะท้อนของคลื่นเทียบกับแกน z  
 $D_c$  คือ ขนาดเดินผ่านศูนย์กลางของพื้นที่บริการ (Coverage Area)  
 $h$  คือ ระยะห่างระหว่างสายอากาศกับพื้นที่บริการ

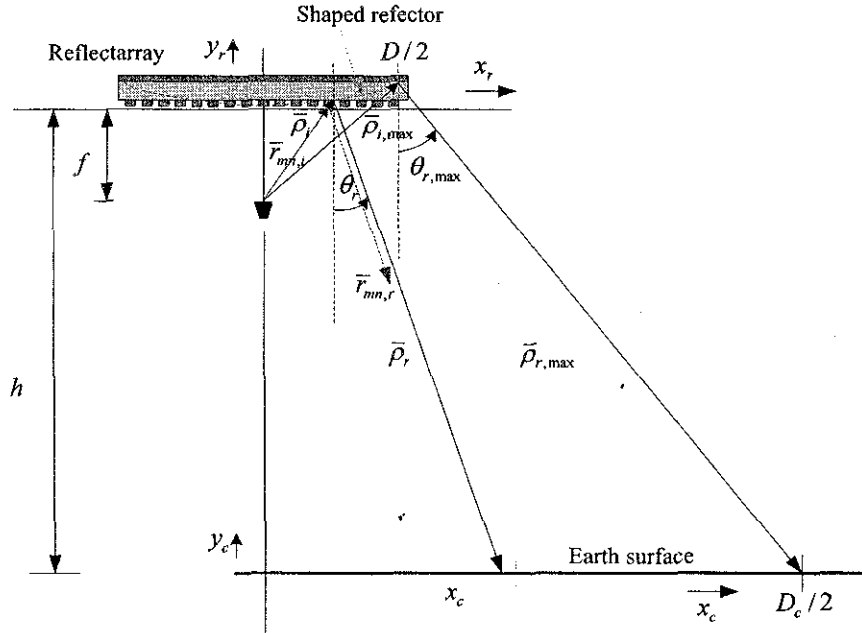


ก. กราฟตัวป้อนอยู่ด้านหน้าตัวสะท้อนพาราโนบลิก



ข. กราฟตัวป้อนอยู่ด้านหลังตัวสะท้อนพาราโนบลิก

รูปที่ 3.7 แบบรูปการແຜ่กำลังงานของสายอากาศตัวสะท้อนพาราโนบลิก



รูปที่ 3.8 สายอากาศแ夸ลามดับสะท้อนซึ่งมีการจัดไฟสเปนสะท้อนตามลักษณะผิวโลกของ  
สายอากาศตัวสะท้อนพาราโบลิกที่มีการป้อนสัญญาณเข้าที่ด้านหลังตัวสะท้อน

ดังนั้น การประวิงไฟฟ้าสำหรับสายอากาศแ夸ลามดับสะท้อน ซึ่งมีการจัดไฟสเปนสะท้อนตามลักษณะผิวโลกของสายอากาศตัวสะท้อนพาราโบลิกที่มีการป้อนสัญญาณเข้าที่ด้านหลังตัวสะท้อน หาได้จาก

$$\Delta\phi = \frac{2\pi}{\lambda_0} (\rho_i + \rho_a - r_{mn}) \pm 2\pi N \quad (3.11)$$

เมื่อ  $\rho_i$  และ  $r_{mn}$  คือระยะทางที่คลื่นเดินทางจากจุดป้อนถึงผิวสะท้อนพาราโบลิกและผิวแ夸ลามดับสะท้อน ที่มีการป้อนสัญญาณเข้าที่ด้านหลัง ตามลำดับ ส่วน  $\rho_a$  เป็นระยะทางที่คลื่นเดินทางจากผิวสะท้อนพาราโบลิกไประยะ  $z_0$  ใดๆ ซึ่งการคำนวณหาการประวิงไฟฟ้าตามสมการ (3.11) จะอธิบายเพิ่มเติมในบทที่ 4 ต่อไป

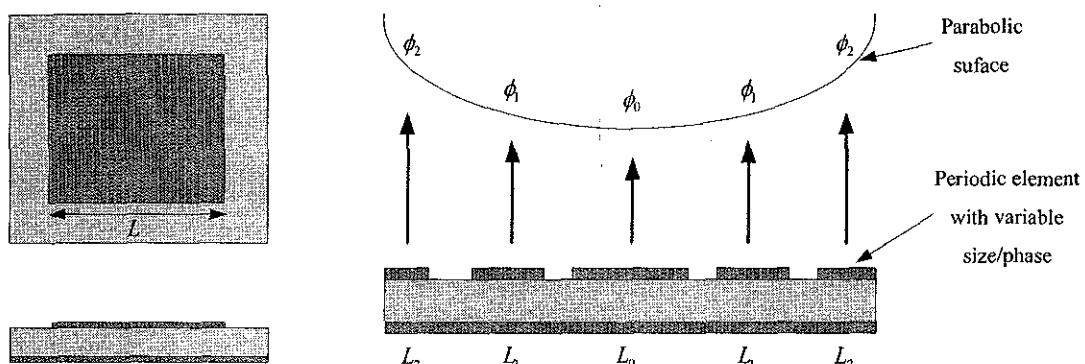
### 3.3 เทคนิคการออกแบบแผ่นสะท้อนของสายอากาศแ夸ลามดับสะท้อนในโครงสร้าง

เทคนิคการหาไฟฟัสสะท้อนโดยการออกแบบแผ่นสะท้อนในโครงสร้างปิดด้วยเทคนิคการจัดไฟฟัสที่นิยมนำมาใช้มี 3 วิธีคือ

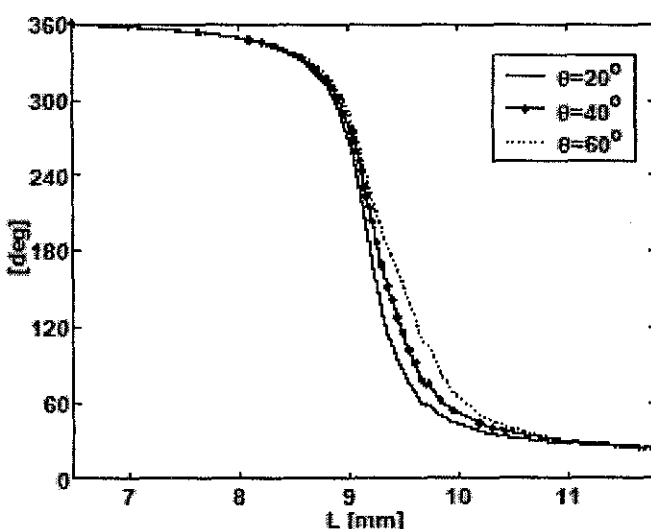
1. การปรับขนาดของแผ่นสะท้อน
2. การปรับความยาวของสตั๊บ
3. การปรับมุกการวางแผนสะท้อน

### 3.3.1 การปรับขนาดของแผ่นสะท้อน

การปรับขนาดของแผ่นสะท้อนใช้หลักการปรับความยาวของแผ่นสะท้อนในค้านที่มีผลกระทบต่อความถี่เรโซแนนซ์ เมื่อความถี่ปฏิบัติการของแผ่นสะท้อนเปลี่ยนจะส่งผลให้การประวิงเฟสในแผ่นสะท้อนเปลี่ยนแปลงด้วย จากผลการวิจัยที่ผ่านมาพบว่า เฟสสะท้อนจะเปลี่ยนแปลงแบบไม่เป็นเส้น และเราสามารถปรับความยาวของแผ่นสะท้อนได้ไม่เกิน  $\pm 5\%$  จากความยาว ณ ความถี่เรโซแนนซ์เท่านั้น ทำให้เฟสสะท้อนไม่ครบ  $360^\circ$  ดังนั้นจึงควรออกแบบการจัดเฟสด้วยการปรับขนาดของแผ่นสะท้อนของสายอากาศแต่ละคันสะท้อนร่วมกับเทคนิคอื่น รูปที่ 3.9 และรูปที่ 3.10 แสดงการจัดเฟสด้วยการปรับขนาดของแผ่นสะท้อน และความสัมพันธ์ระหว่างขนาดของแผ่นสะท้อน กับเฟสสะท้อน ตามลำดับ ซึ่งการหาความสัมพันธ์ระหว่างขนาดของแผ่นสะท้อนกับเฟสสะท้อนนี้จะกล่าวถึงในหัวต่อไป



รูปที่ 3.9 การปรับขนาดของแผ่นสะท้อน



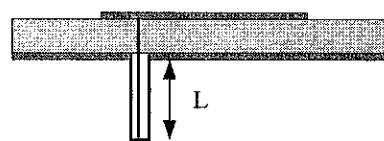
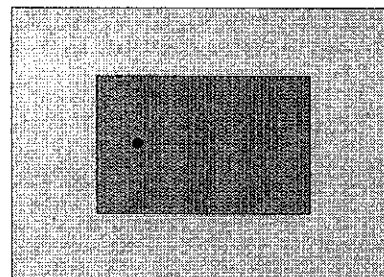
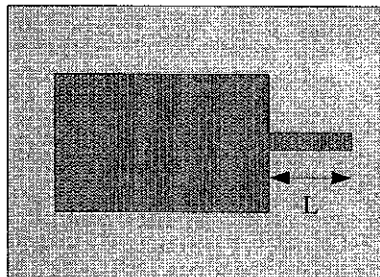
รูปที่ 3.10 ความสัมพันธ์ระหว่างขนาดของแผ่นสะท้อนกับเฟสสะท้อน

### 3.3.2 การปรับความยาวของสตับ

การจัดเฟสด้วยการปรับความยาวของสตับ แสดงดังรูปที่ 3.11 โดยการปรับความยาวของสตับจะให้ผลของการประวิงเฟสเป็นเชิงเส้น ซึ่งสามารถคำนวณได้ดังสมการ (3.21) เมื่อความยาวของสตับเปลี่ยน จะส่งผลให้การประวิงเฟสของแผ่นสะท้อนเปลี่ยน แต่สายอากาศแคลบดับสะท้อนที่มีการจัดเฟสไว้นี้จะมีการสูญเสียเนื่องจากตัวสตับ โดยสตับที่นำมาใช้มี 3 แบบคือ

1. สตับไมโครสเตริปที่ต่อ กับด้านข้างของแผ่นสะท้อน (Edge of Patch)
2. สตับไมโครสเตริปที่ต่อแบบการเชื่อมร่วมอะเพอร์เจอร์ (Aperture Coupled Patch)
3. สตับโโคแอกเชียล

$$\psi_{mn} = 2 \times \text{Electrical length} \quad (3.21)$$



ก. สตับแบบไมโครสเตริป

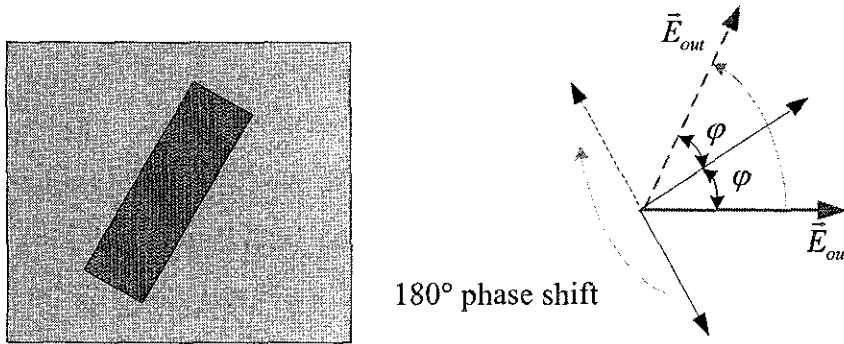
ข. สตับแบบโโคแอกเชียล

รูปที่ 3.11 การปรับความยาวของสตับ

### 3.4.3 การปรับนุ่มนวลการวางแผนของแผ่นสะท้อน

การจัดเฟสด้วยการปรับนุ่มนวลการวางแผนของแผ่นสะท้อน แสดงดังรูปที่ 3.12 ซึ่งนุ่มนวลของแผ่นสะท้อนสามารถปรับได้  $180^\circ$  และการประวิงเฟสจะมีค่าเป็นสองเท่าของนุ่มนวลของแผ่นสะท้อน ดังสมการ (3.22) หลักการจัดเฟสไว้จะหมายความว่าสายอากาศแคลบดับสะท้อนที่มีโพลาไรซ์เชิงวงกลม

$$\psi_{mn} = 2 \times \text{Rotation of patch} \quad (3.22)$$



รูปที่ 3.12 การปรับมุมการวางแผนสะท้อน

นอกจากการจัดเฟสแผ่นสะท้อนห้อง 3 วีธีนี้ ยังมีการจัดเฟสแบบอื่น ดังที่กล่าวมาแล้วในบทที่ 2 เช่น การปรับร่องแผนสะท้อน และการใช้瓦เรกเตอร์ไดโอด เป็นต้น และเพื่อวิเคราะห์หาคุณลักษณะของเฟสสะท้อนด้วยวิธีจัดเฟสสะท้อนแบบต่างๆ ที่กล่าวมาแล้วข้างต้น ในหัวข้อถัดไปจะได้กล่าวถึง ทฤษฎีที่จำเป็นต้องทราบ ได้แก่ พิงค์ชันกรีนไคแอดิก สำนวนตอกกระทนงและสำนวนสะท้อน ระเบียนวิธี ไมเมนต์ และการวิเคราะห์สายอากาศเดียวลำดับสะท้อนด้วยหลักการเดียวลำดับอนันต์

### 3.4 พิงค์ชันกรีนไคแอดิก (Dyadic Green's function)

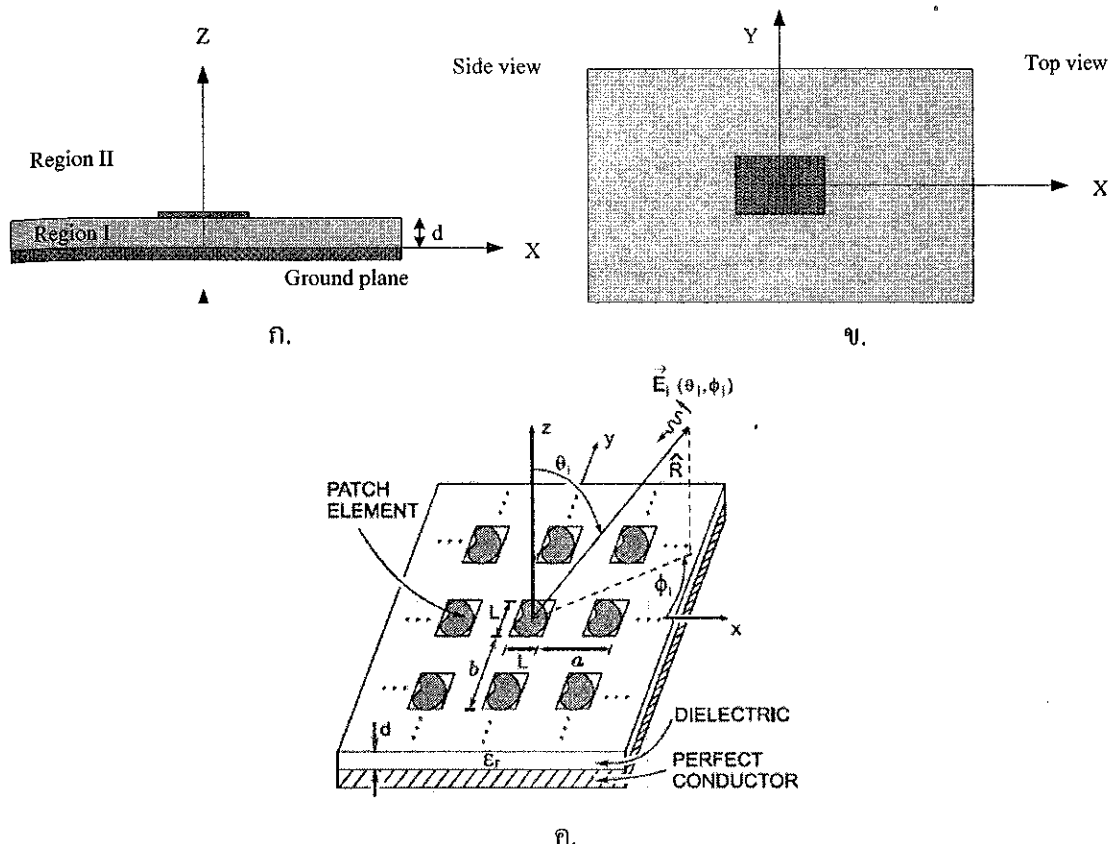
รูปที่ 3.13 แสดงแผ่นสะท้อนในโครงสร้างปั๊ซึ่งมีความหนา  $d$  ค่าสภาพยอมไฟฟ้า (Permittivity)  $\epsilon, \epsilon_0$  และค่าความซ่านซึ่งได้แม่เหล็ก (Permeability)  $\mu_0$  โดยค่าสภาพยอมจะทำให้เกิดการสูญเสียภายในไดอิเล็คทริก และเราสามารถหาสมการเชิงอนติกรัลสำนวนไฟฟ้า (Electric Field Integral Equation หรือ EFIE) สำหรับกระแสเชิงผิวนะแผ่นสะท้อนในโครงสร้างปั๊ โดยใช้การแก้สมการของคลื่นระนาบ ตอกกระทนงแบบแผ่นสะท้อนในโครงสร้างปั๊ [15] ซึ่งสายอากาศเดียวลำดับสะท้อนในโครงสร้างปั๊จะใช้การนำ แผ่นสะท้อนหลายแผ่นมาเรียง叠วางลำดับบนแผ่นวงจรพิมพ์

พิจารณาคลื่นระนาบที่มีมนต์ตอกกระทนง  $(\theta_0, \phi_0)$  จะได้สำนวนแม่เหล็กไฟฟ้าตอกกระทนง ที่อ

$$\bar{E}^{inc} = \bar{E}_0 e^{-jk_0 \hat{k}^{inc} \cdot \bar{R}} \quad (3.23)$$

$$\bar{H}^{inc} = \bar{H}_0 e^{-jk_0 \hat{k}^{inc} \cdot \bar{R}} = \frac{1}{n_0} \hat{k}_i \times \bar{E}^{inc} \quad (3.24)$$

โดยที่  $\bar{E}_0$  เป็นขนาดและเฟสของสำนวนตอกกระทนง ซึ่งอยู่ในทอนขององค์ประกอบในแนวนานาและ องค์ประกอบในแนวตั้งจากของระนาบคลื่นตอกกระทนง



รูปที่ 3.13 แผ่นสะท้อนในโครงสร้าง

$$\bar{E}_0 = E_{0\theta} \hat{u}_\theta^{inc} + E_{0\phi} \hat{u}_\phi^{inc} \quad (3.25)$$

$$\bar{H}_0 = -H_{0\phi} \hat{u}_\theta^{inc} + H_{0\theta} \hat{u}_\phi^{inc} = -\frac{1}{\eta_0} E_{0\phi} \hat{u}_\theta^{inc} + \frac{1}{\eta_0} E_{0\theta} \hat{u}_\phi^{inc} \quad (3.26)$$

และ

$$\begin{aligned} \hat{u}_\theta^{inc} &= \hat{x} \cos \theta_0 \cos \phi_0 + \hat{y} \cos \theta_0 \sin \phi_0 - \hat{z} \sin \theta_0 \\ \hat{u}_\phi^{inc} &= \hat{x} \sin \phi_0 - \hat{y} \cos \phi_0 \end{aligned} \quad (3.27)$$

$\bar{R}$  เป็นเวกเตอร์ตัวแหน่ง ณ จุดสังเกต

$$\bar{R} = x\hat{x} + y\hat{y} + z\hat{z} \quad (3.28)$$

$k_0$  เป็นเลขคิ่นในอากาศว่าง (Free Space) และ  $\hat{k}^{inc}$  เป็นเวกเตอร์หนึ่งหน่วยของการเผยแพร่กระจายสนามต่อกกระหบบ

$$\hat{k}^{inc} = -(u_0 \hat{x} + v_0 \hat{y} + w_0 \hat{z}) \quad (3.29)$$

โดยที่

$$\begin{aligned} u_0 &= \sin \theta_0 \cos \phi_0 \\ v_0 &= \sin \theta_0 \sin \phi_0 \\ w_0 &= \cos \theta_0 \end{aligned} \quad (3.30)$$

ดังนั้นเราสามารถเขียนสนามไฟฟ้าต่อไปนี้ได้ใหม่เป็น

$$\bar{E}^{inc} = \bar{E}_0 e^{jk_0(u_0x + v_0y + \cos(\theta_0)z)} \quad (3.31)$$

ถ้าแผ่นวงจรพิมพ์ไม่มีมีแผ่นสะท้อน เราสามารถหาสนามไฟฟ้าทั้งหมดในบริเวณ  $z \geq 0$  ได้จากผลรวมระหว่างสนามต่อไปนี้ (Incident Field) กับสนามที่สะท้อนออกไป (Reflected Field) จากไดอิเล็กตริกกราวด์ของไมโครสเตริป

$$\bar{E}^{tot} = \bar{E}^{inc} + \bar{E}^{ref} \quad (3.32)$$

แต่ถ้ามีแผ่นสะท้อนบนแผ่นวงจรพิมพ์ ดังรูป 3.16 จะทำให้สนามรวมในสมการ (3.32) เหนี่ยวนำให้เกิดกระแสเชิงผิว  $\bar{J}^s$  บนแผ่นสะท้อน และกระแสเชิงผิวนี้จะแผ่กำลังงานไปยังไดอิเล็กตริกกราวด์ ทำให้เกิดสนามไฟฟ้ากระเจิง (Scattered Field)  $\bar{E}^{scat}$  ไปในไดอิเล็กตริกและอากาศ ดังนั้นผลรวมของสนามไฟฟ้าทั้งหมดของแผ่นสะท้อนในบริเวณ  $z \geq 0$  คือ

$$\bar{E}^{tot} = \bar{E}^{inc} + \bar{E}^{ref} + \bar{E}^{scat} \quad (3.33)$$

ซึ่งเราสามารถคำนวณหาสนามกระเจิงในไดอิเล็กตริกและอากาศ โดยใช้สมการคลื่น (Wave equation) ดังนี้

$$\nabla \times \nabla \times \bar{E} - k^2 \bar{E} = -j\omega\mu\bar{J} \quad (3.34)$$

โดยที่

$$\begin{aligned} k &= k_0 = \omega\sqrt{\epsilon_0\mu_0} && \text{for } z > d \\ k &= \sqrt{\epsilon_r}k_0 = \omega\sqrt{\epsilon_r\epsilon_0\mu_0} && \text{for } 0 \leq z \leq d \end{aligned} \quad (3.35)$$

จาก [54] แสดงให้เห็นว่าสมการ (3.34) สามารถจัดรูปให้อยู่ในเทอมของฟังก์ชันของกรีนได้เป็น

$$\begin{aligned} \bar{E}(x, y, z) &= \iiint_{V_0} \bar{G}(x, y, z / x_0, y_0, z_0) \cdot \bar{J}(x_0, y_0, z_0) dV_0 \\ &\quad + \iint_{S_0} \left[ (\hat{n} \times \nabla_0 \times \bar{E}) \cdot \bar{G} + (\hat{n} \times \bar{E}) \cdot \nabla_0 \times \bar{G} \right] dS_0 \end{aligned} \quad (3.36)$$

โดยที่  $\overline{\overline{G}}$  คือ พังก์ชันไดแอดิกของกรีน

$$\overline{\overline{G}} = \sum_{i=x,y,z} \sum_{j=x_0,y_0,z_0} \hat{i} G_{ij} \hat{j} \quad (3.37)$$

และ  $G_{xy}$  หมายถึงกระแสเชิงผิวในทิศทาง  $\hat{y}$  เหนี่ยวนำให้เกิดสนามไฟฟ้าในทิศทาง  $\hat{x}$

เมื่อพิจารณาเงื่อนไขขอบเขตในระนาบ  $z = 0$  และในครึ่งทรงกลมบน (Upper Hemisphere) ที่ระยะอนันต์ จะทำให้สนามไฟฟ้าในทิศทาง  $\hat{z}$  เป็นศูนย์ เนื่องจากสนามกระแสเชิงผิวจะเป็นศูนย์ที่ระยะอนันต์ และในระยะ  $z = 0$  ทำให้สนามไฟฟ้าในแนวสัมผัสเป็นศูนย์ด้วย ดังนั้นสมการ (3.36) จะลดรูปเหลือเพียง เทอมของอินทิกรัลเชิงปริมาตรเท่านั้น และเราสามารถเขียนสมการ (3.36) ใหม่โดยใช้อนุกรม泰勒 (Taylor's Series) ช่วยแก้ปัญหาการหาสนามไฟฟ้านี้องจากกระแสเชิงผิว  $\bar{J}^S$  ในระนาบ  $z = d$  ได้ดังนี้

$$\begin{aligned} \bar{E}(x, y, z) &= \iiint_{V_0} \overline{\overline{G}}(x, y, z / x_0, y_0, z_0) \cdot \bar{J}(x_0, y_0, z_0) dV_0 \\ &= \iint_{S_0} \overline{\overline{G}}(x, y, d / x_0, y_0) \cdot \bar{J}^S(x_0, y_0) dx_0 dy_0 \end{aligned} \quad (3.38)$$

เราจะใช้เงื่อนไขขอบเขตของแผ่นไดอิเล็กตริกราวด์แก้สมการ (3.38) โดยพิจารณาว่า สนามไฟฟ้าทั้งหมดในแนวสัมผัสบนผิวแผ่นสะท้อนเป็นศูนย์ จะได้

$$\bar{E}_{\tan}^{inc} + \bar{E}_{\tan}^{ref} = -\bar{E}_{\tan}^{scat} = -\iint_{S_0} \overline{\overline{G}}(x, y, d / x_0, y_0) \cdot \bar{J}^S(x_0, y_0) dx_0 dy_0 \quad (3.39)$$

สมการ (3.39) เป็นสมการเชิงอินทิกรัลสนามไฟฟ้าที่ใช้การอินทิเกรตตลอดผิวของแผ่นสะท้อน ดังนั้นจึงเลือกใช้องค์ประกอบของพังก์ชันไดแอดิกของกรีนเฉพาะ  $G_{xx}, G_{xy}, G_{yx}$  และ  $G_{yy}$  ในการแก้สมการเท่านั้น ซึ่งในหัวข้อต่อไปจะได้กล่าวถึงการใช้วิธีเชิงเลข (Numerical Method) เพื่อหากระแสเชิงผิวไม่ทราบค่า  $\bar{J}^S$  นี้

### 3.4.1 สมการเชิงอินทิกรัลสนามไฟฟ้าในรูปโดเมนความถี่

การแก้สมการ (3.39) นิยมจัดให้อยู่ในรูปการแปลงฟูเรียร์ (Fourier Transform) หรือ โดเมนความถี่ (Spectral Domain) นั่นเอง เนื่องจากพังก์ชันของกรีนสามารถเขียนให้อยู่ในโดเมนความถี่ได้ และสามารถใช้ทฤษฎี convolution ในโดเมนตำแหน่ง (Spatial Domain) ช่วยแก้สมการได้ ซึ่งการแปลงฟูเรียร์ที่นำมาใช้คือ

$$\begin{aligned}\tilde{A}(k_x, k_y, z) &= \int_{-\infty}^{\infty} \int_{-\infty}^{\infty} A(x, y, z) e^{-jk_x x} e^{-jk_y y} dx dy \\ A(x, y, z) &= \frac{1}{4\pi^2} \int_{-\infty}^{\infty} \int_{-\infty}^{\infty} \tilde{A}(k_x, k_y, z) e^{jk_x x} e^{jk_y y} dk_x dk_y\end{aligned}\quad (3.40)$$

ดังนั้นเราสามารถเขียนสมการ (3.39) ในรูปโดยเน้นความถี่ได้เป็น

$$\tilde{E}^{scat}(k_x, k_y, d) = \iint_{S_0} \bar{\bar{G}}(k_x, k_y, d / k_x, k_y) \cdot \tilde{J}^S(k_x, k_y) dk_x dk_y \quad (3.41)$$

หรือ

$$\begin{vmatrix} \tilde{E}_x^{scat}(k_x, k_y, d) \\ \tilde{E}_y^{scat}(k_x, k_y, d) \end{vmatrix} = \begin{vmatrix} G_{xx}(k_x, k_y, d) & G_{xy}(k_x, k_y, d) \\ G_{yx}(k_x, k_y, d) & G_{yy}(k_x, k_y, d) \end{vmatrix} \begin{vmatrix} \tilde{J}_x^S(k_x, k_y) \\ \tilde{J}_y^S(k_x, k_y) \end{vmatrix} \quad (3.42)$$

เราสามารถใช้สมการ (3.42) เพื่อนิยามสนามที่เกิดจาก การกระจายกระแสเชิงผิวซึ่งสมมูลกับการกระจายกระแสในฟังก์ชันของกรีน เมื่อพิจารณาแหล่งกำเนิดแบบจุด (Point Source) จะได้

$$\begin{aligned}\bar{J}^S(x, y, z) &= \delta(x - x_0) \delta(y - y_0) \delta(z - d) \hat{p} \\ p &= x \text{ or } y\end{aligned}\quad (3.43)$$

แปลงสมการ (3.43) ให้อยู่ในรูปฟูเรียร์ โดยใช้  $\int f(x) \delta(x - a) = f(a)$  จะได้

$$\tilde{J}^S(k_x, k_y, d) = e^{-jk_x x_0} e^{-jk_y y_0} \delta(z - d) \hat{p} \quad (3.44)$$

แทนสมการ (3.44) ในสมการ (3.41) โดยใช้การแปลงกลับฟูเรียร์ และเขียนให้อยู่ในรูปโดยแอดิก

$$\bar{\bar{E}}^{scat}(x, y, d / x_0, y_0) = \frac{1}{4\pi^2} \int_{-\infty}^{\infty} \int_{-\infty}^{\infty} \bar{\bar{G}}(k_x, k_y, d) e^{jk_x(x-x_0)} e^{jk_y(y-y_0)} dk_x dk_y \quad (3.45)$$

สมการ (3.45) แสดงสนามไฟฟ้ากระแสเชิงที่จุด  $(x, y, d)$  ซึ่งเกิดจากอิลิเมนต์กระแสเดี่ยวๆ ที่จุด  $(x_0, y_0, d)$  การกระจายกระแสเชิงผิวของกระแสที่สันใจในอากาศหรือไดอะลีกติกจะมีรูปแบบที่ง่ายในการแก้สมการเมื่อทำให้อยู่ในรูปการแปลงฟูเรียร์แบบฟังก์ชันไดรากเดลต้า (Dirac Delta Function) ของแต่ละคันแหล่งกำเนิดแบบจุด และเราสามารถไฟฟ้ากระแสเชิงในระนาบ  $z = d$  เนื่องจากการกระจายกระแสเชิงผิว  $\bar{J}(x_0, y_0, d)$  ตลอดผิวแผ่นสะท้อน ได้จาก

$$\bar{E}^{scat}(x, y, d) = \iint_{S_0} \bar{\bar{E}}^{scat}(x, y, d / x_0, y_0) \cdot \bar{J}^S(x_0, y_0) dx_0 dy_0 \quad (3.46)$$

แทนสมการ (3.45) ในสมการ (3.46) จะได้

$$\begin{aligned}\bar{E}_{\text{scat}}(x, y, d) &= \frac{1}{4\pi^2} \int_{-\infty}^{\infty} \int_{-\infty}^{\infty} \bar{\bar{G}}(k_x, k_y, d) e^{jk_x x} e^{jk_y y} dk_x dk_y \cdot \iint_{S_0} \bar{J}^S(x_0, y_0) e^{-jk_x x_0} e^{-jk_y y_0} dx_0 dy_0 \\ &= \frac{1}{4\pi^2} \int_{-\infty}^{\infty} \int_{-\infty}^{\infty} \bar{\bar{G}}(k_x, k_y, d) \cdot \bar{J}^S(k_x, k_y) e^{jk_x x} e^{jk_y y} dk_x dk_y\end{aligned}\quad (3.47)$$

ดังนั้น สมการ (3.39) เขียนใหม่ในรูปการแปลงฟูเรียร์ได้ดังนี้

$$\bar{E}_{\text{tan}}^{\text{inc}} + \bar{E}_{\text{tan}}^{\text{ref}} = -\frac{1}{4\pi^2} \int_{-\infty}^{\infty} \int_{-\infty}^{\infty} \bar{\bar{G}}(k_x, k_y, d) \cdot \bar{J}^S(k_x, k_y) e^{jk_x x} e^{jk_y y} dk_x dk_y \quad (3.48)$$

ซึ่งสมการ (3.48) เป็นสมการเชิงอินทิกรัลสนวนไฟฟ้าในรูปโคลเมนความถี่สำหรับกระแสเชิงผิวไม่ทราบค่า  $\bar{J}^S$

### 3.4.2 พังก์ชันของกรีนในรูปโคลเมนความถี่

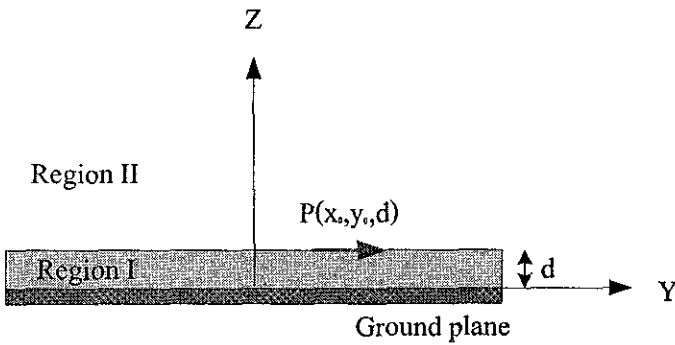
การเขียนพังก์ชันได้แอดิกของกรีนสำหรับแผ่นสะท้อนในโครสติบีในรูปโคลเมนความถี่จะพิจารณาจากกระแสไฟฟ้าเชิงผิวในทิศ  $y$  ดังแสดงในรูปที่ 3.14 ศักย์เวกเตอร์แม่เหล็กในบริเวณ Region I และ Region II สามารถเขียนในรูปสมการไฮล์ม็อตซ์ (Helmholtz Equation) ได้เป็น

$$\nabla^2 \bar{A}^I + \varepsilon_r k_0^2 \bar{A}^I = -\bar{J} \quad (3.49 \text{ ก})$$

$$\nabla^2 \bar{A}^{II} + k_0^2 \bar{A}^{II} = 0 \quad (3.49 \text{ ข})$$

โดยที่

$$\bar{J} = \delta(x - x_0) \delta(y - y_0) \delta(z - d) \hat{a}_y \quad (3.50)$$



รูปที่ 3.14 อิลิเมนต์กระแสบนแผ่นกราวด์ไดอิเล็กทริกในทิศทาง  $y$

การหาค่าตอบของสมการ (3.49) จะอยู่ในรูปศักย์เวกเตอร์แม่เหล็ก  $A_x$  และ  $A_y$  และใช้การแปลงฟ์เรียร์ของ  $\bar{A}(x, y, z)$  ไปเป็น  $\tilde{A}(k_x, k_y, z)$  ในรูปสมการเชิงอนุพันธ์สามมิติ (Ordinary Differential Equation) สำหรับบริเวณ Region I ดังนี้

$$\begin{aligned}\nabla^2 A_y^I + \varepsilon_r k_0^2 A_y^I &= \frac{d^2 A_y^I}{dx^2} + \frac{d^2 A_y^I}{dy^2} + \frac{d^2 A_y^I}{dz^2} + \varepsilon_r k_0^2 A_y^I = -\bar{J} \\ \nabla^2 A_z^I + \varepsilon_r k_0^2 A_z^I &= \frac{d^2 A_z^I}{dx^2} + \frac{d^2 A_z^I}{dy^2} + \frac{d^2 A_z^I}{dz^2} + \varepsilon_r k_0^2 A_z^I = 0\end{aligned}\quad (3.51)$$

จะได้

$$\begin{aligned}& \int_{-\infty}^{\infty} \int_{-\infty}^{\infty} \left[ \frac{d^2 \bar{A}_y^I}{dz^2} + \varepsilon_r k_0^2 \bar{A}_y^I \right] e^{-jk_x x} e^{-jk_y y} dx dy \\ &= \int_{-\infty}^{\infty} \int_{-\infty}^{\infty} \bar{A}_y^I \frac{d^2 e^{-jk_x x}}{dx^2} e^{-jk_y y} dx dy + \int_{-\infty}^{\infty} \int_{-\infty}^{\infty} \bar{A}_y^I e^{-jk_x x} \frac{d^2 e^{-jk_y y}}{dy^2} dx dy \\ &+ \frac{d^2}{dz^2} \int_{-\infty}^{\infty} \int_{-\infty}^{\infty} \bar{A}_y^I e^{-jk_x x} e^{-jk_y y} dx dy + \int_{-\infty}^{\infty} \int_{-\infty}^{\infty} \varepsilon_r k_0^2 \bar{A}_y^I e^{-jk_x x} e^{-jk_y y} dx dy \\ &= \frac{d^2 \tilde{A}_y^I}{dz^2} + (\varepsilon_r k_0^2 - k_x^2 - k_y^2) \tilde{A}_y^I \\ &= \frac{d^2 \tilde{A}_y^I}{dz^2} + k_1^2 \tilde{A}_y^I\end{aligned}$$

และ

$$\begin{aligned}& \int_{-\infty}^{\infty} \int_{-\infty}^{\infty} \bar{J} e^{-jk_x x} e^{-jk_y y} dx dy \\ &= \int_{-\infty}^{\infty} \int_{-\infty}^{\infty} [\delta(x - x_0) \delta(y - y_0) \delta(z - d)] e^{-jk_x x} e^{-jk_y y} dx dy \\ &= \left[ \int_{-\infty}^{\infty} \int_{-\infty}^{\infty} \delta(x - x_0) e^{-jk_x x} e^{-jk_y y} dx dy \right] \left[ \int_{-\infty}^{\infty} \int_{-\infty}^{\infty} \delta(y - y_0) e^{-jk_x x} e^{-jk_y y} dx dy \right] \delta(z - d) \\ &= \delta(z - d) e^{-jk_x x_0} e^{-jk_y y_0}\end{aligned}$$

ดังนั้นสมการ (3.49) เปลี่ยนใหม่ได้ดังนี้

$$\begin{aligned}\frac{d^2 \tilde{A}_y^I}{dz^2} + k_1^2 \tilde{A}_y^I &= \delta(z - d) e^{-jk_x x_0} e^{-jk_y y_0} \\ \frac{d^2 \tilde{A}_z^I}{dz^2} + k_1^2 \tilde{A}_z^I &= 0\end{aligned}\quad (3.52)$$

และในทำนองเดียวกัน สำหรับบริเวณ Region II จะได้

$$\begin{aligned}\frac{d^2 \tilde{A}_y^{II}}{dz^2} + k_2^2 \tilde{A}_y^{II} &= 0 \\ \frac{d^2 \tilde{A}_z^{II}}{dz^2} + k_2^2 \tilde{A}_z^{II} &= 0\end{aligned}\tag{3.53}$$

โดยที่

$$\begin{aligned}k_1^2 &= \epsilon_r k_0^2 - k_x^2 - k_y^2 \\ k_2^2 &= k_0^2 - k_x^2 - k_y^2\end{aligned}\tag{3.54}$$

สมการ (3.52) และ (3.53) ซึ่งเป็นสมการเชิงอนุพันธ์สามัญ เปลี่ยนให้อยู่รูปแบบทั่วไป คือ

$$\begin{aligned}\tilde{A}_y^I &= Ae^{jk_1 z} + Be^{-jk_1 z} \\ \tilde{A}_z^I &= Ce^{jk_1 z} + De^{-jk_1 z}\end{aligned}\tag{3.55}$$

$$\begin{aligned}\tilde{A}_y^{II} &= Ee^{-jk_2 z} \\ \tilde{A}_z^{II} &= Fe^{-jk_2 z}\end{aligned}\tag{3.56}$$

เราจะแก้สมการ (3.55) และ (3.56) โดยใช้สมการเงื่อนไขขอบเขต

$$\begin{aligned}\bar{E}_{tan}^I &= 0 && at \quad z = 0 \\ \bar{E}_{tan}^I &= \bar{E}_{tan}^{II} && at \quad z = d \\ \hat{n} \times (\bar{H}_{tan}^{II} - \bar{H}_{tan}^I) &= \bar{J} && at \quad z = d\end{aligned}\tag{3.57}$$

และใช้ความสัมพันธ์สนามไฟฟ้า สนามแม่เหล็ก และศักย์เวกเตอร์แม่เหล็ก ดังนี้

$$\begin{aligned}E_x(x, y, z) &= \frac{1}{j\omega\epsilon} \left[ \frac{d^2 A_y}{dxdy} + \frac{d^2 A_z}{dxdz} \right] \\ E_y(x, y, z) &= -j\omega A_y + \frac{1}{j\omega\epsilon} \left[ \frac{d^2 A_y}{dy^2} + \frac{d^2 A_z}{dydz} \right] \\ E_z(x, y, z) &= -j\omega A_z + \frac{1}{j\omega\epsilon} \left[ \frac{d^2 A_y}{dydz} + \frac{d^2 A_z}{dz^2} \right]\end{aligned}\tag{3.58 น}$$

$$\begin{aligned}
 H_x(x, y, z) &= \frac{dA_z}{dy} - \frac{dA_y}{dz} \\
 H_y(x, y, z) &= -\frac{dA_z}{dx} \\
 H_z(x, y, z) &= \frac{dA_y}{dx}
 \end{aligned} \tag{3.58 ณ}$$

สมการ (3.58) เขียนให้อยู่ในรูปโคลเมนความถี่

$$\begin{aligned}
 \tilde{E}_x(k_x, k_y, z) &= \frac{1}{j\omega\epsilon} \left[ -k_x k_y \tilde{A}_y + j k_x \frac{d\tilde{A}_z}{dz} \right] \\
 \tilde{E}_y(k_x, k_y, z) &= \frac{1}{j\omega\epsilon} \left[ (k^2 - k_y^2) \tilde{A}_y + j k_y \frac{d\tilde{A}_z}{dz} \right] \\
 \tilde{E}_z(k_x, k_y, z) &= \frac{1}{j\omega\epsilon} \left[ j k_y \frac{d\tilde{A}_y}{dz} + (k^2 + \frac{d^2}{dz^2}) \tilde{A}_z \right] \\
 \tilde{H}_x(x, y, z) &= -j k_y \tilde{A}_z - \frac{d\tilde{A}_y}{dz} \\
 \tilde{H}_y(x, y, z) &= j k_x \tilde{A}_z \\
 \tilde{H}_z(x, y, z) &= -j k_x \tilde{A}_y
 \end{aligned} \tag{3.59}$$

ดังนั้นการหาสัมประสิทธิ์ไม่ทราบค่า A B C D E และ F โดยกำหนดให้  $k = \sqrt{\epsilon_r} k_0$  สำหรับบริเวณ Region I และ  $k = k_0$  สำหรับบริเวณ Region II จะได้ศักย์เวกเตอร์แม่เหล็กดังนี้

$$\tilde{A}_y^I(k_x, k_y, z) = \frac{\sin(k_1 z)}{T_e} e^{-j(k_x x_0 + k_y y_0)} \tag{3.60}$$

$$\tilde{A}_z^I(k_x, k_y, z) = \frac{k_y (\epsilon_r - 1) \sin(k_1 d)}{T_e T_m} \cos(k_1 z) e^{-j(k_x x_0 + k_y y_0)} \tag{3.61}$$

$$\tilde{A}_y^{II}(k_x, k_y, z) = \frac{\sin(k_1 d)}{T_e} e^{-jk_2(z-d)} e^{-j(k_x x_0 + k_y y_0)} \tag{3.62}$$

$$\tilde{A}_z^{II}(k_x, k_y, z) = \frac{k_y (\epsilon_r - 1) \sin(k_1 d)}{T_e T_m} \cos(k_1 d) e^{-jk_2(z-d)} e^{-j(k_x x_0 + k_y y_0)} \tag{3.63}$$

โดยที่

$$\begin{aligned}
 T_e &= k_1 \cos(k_1 d) + j k_2 \sin(k_1 d) \\
 T_m &= \epsilon_r k_2 \cos(k_1 d) + j k_1 \sin(k_1 d)
 \end{aligned} \tag{3.64}$$

แทนสมการ (3.60) และ (3.61) ลงในสมการ (3.59) และหาส่วนนามไฟฟ้าในแนวสัมผัสในระนาบ  $z = d$  ที่เกิดจากอิเล็กตรอนกระแสในทิศทาง  $y$  ซึ่งจะได้พึงก์ชันของกรีน  $G_{xy}$  และ  $G_{yy}$  ดังนี้

$$\begin{aligned}
 \tilde{E}_x(k_x, k_y, z) &= \\
 &= \frac{1}{j\omega\epsilon} \left[ -k_x k_y \frac{\sin(k_1 z)}{T_e} e^{-j(k_x x_0 + k_y y_0)} + jk_x \frac{d \left[ \frac{k_y (\epsilon_r - 1) \sin(k_1 d)}{T_e T_m} \cos(k_1 z) e^{-j(k_x x_0 + k_y y_0)} \right]}{dz} \right] \\
 &= \frac{1}{j\omega\epsilon} \left[ -k_x k_y \frac{\sin(k_1 z)}{T_e} e^{-j(k_x x_0 + k_y y_0)} - jk_x k_1 \frac{k_y (\epsilon_r - 1) \sin(k_1 d)}{T_e T_m} \sin(k_1 z) e^{-j(k_x x_0 + k_y y_0)} \right] \\
 G_{xy}(k_x, k_y, d) &= \\
 &= \frac{1}{j\omega\epsilon} \left[ -k_x k_y \frac{\sin(k_1 d)}{T_e} e^{-j(k_x x_0 + k_y y_0)} - jk_x k_1 \frac{k_y (\epsilon_r - 1) \sin(k_1 d)}{T_e T_m} \sin(k_1 d) e^{-j(k_x x_0 + k_y y_0)} \right] \\
 &= \frac{1}{j\omega\epsilon} \left[ -k_x k_y \frac{T_m}{T_e T_m} - jk_x k_1 \frac{k_y (\epsilon_r - 1) \sin(k_1 d)}{T_e T_m} \right] \sin(k_1 d) e^{-j(k_x x_0 + k_y y_0)} \\
 &= \frac{1}{j\omega\epsilon} \left[ \frac{-k_x k_y \epsilon_r k_1 \cos(k_1 d) - jk_1 k_x k_y \epsilon_r \sin(k_1 d)}{T_e T_m} \right] \sin(k_1 d) e^{-j(k_x x_0 + k_y y_0)} \\
 &= -\frac{1}{j\omega\epsilon} \left[ \frac{k_x k_y \epsilon_r (k_1 \cos(k_1 d) + jk_1 \sin(k_1 d))}{T_e T_m} \right] \sin(k_1 d) e^{-j(k_x x_0 + k_y y_0)} \\
 \end{aligned} \tag{3.65}$$

$$\begin{aligned}
 \tilde{E}_y(k_x, k_y, z) &= \\
 &= \frac{1}{j\omega\epsilon} \left[ (k^2 - k_y^2) \frac{\sin(k_1 z)}{T_e} e^{-j(k_x x_0 + k_y y_0)} + jk_y \frac{d \left[ \frac{k_y (\epsilon_r - 1) \sin(k_1 d)}{T_e T_m} \cos(k_1 z) e^{-j(k_x x_0 + k_y y_0)} \right]}{dz} \right] \\
 &= \frac{1}{j\omega\epsilon} \left[ (\epsilon_r k_0^2 - k_y^2) \frac{\sin(k_1 z)}{T_e} e^{-j(k_x x_0 + k_y y_0)} - jk_y k_1 \frac{k_y (\epsilon_r - 1) \sin(k_1 d)}{T_e T_m} \sin(k_1 z) e^{-j(k_x x_0 + k_y y_0)} \right]
 \end{aligned}$$

$$\begin{aligned}
& G_{yy}(k_x, k_y, d) \\
&= \frac{1}{j\omega\epsilon} \left[ (\epsilon_r k_0^2 - k_y^2) \frac{\sin(k_1 d)}{T_e} e^{-j(k_x x_0 + k_y y_0)} - j k_y k_1 \frac{k_y (\epsilon_r - 1) \sin(k_1 d)}{T_e T_m} \sin(k_1 d) e^{-j(k_x x_0 + k_y y_0)} \right] \\
&= \frac{1}{j\omega\epsilon} \left[ (\epsilon_r k_0^2 - k_y^2) \frac{T_m}{T_e T_m} - j k_y k_1 \frac{k_y (\epsilon_r - 1) \sin(k_1 d)}{T_e T_m} \right] \sin(k_1 d) e^{-j(k_x x_0 + k_y y_0)} \\
&= \frac{1}{j\omega\epsilon} \left[ \frac{(\epsilon_r k_0^2 - k_y^2) \epsilon_r k_2 \cos(k_1 d) + j k_1 (\epsilon_r k_0^2 - k_y^2 - k_y^2 \epsilon_r + k_y^2) \sin(k_1 d)}{T_e T_m} \right] \sin(k_1 d) e^{-j(k_x x_0 + k_y y_0)} \\
&= \frac{1}{j\omega\epsilon} \left[ \frac{(\epsilon_r k_0^2 - k_y^2) \epsilon_r k_2 \cos(k_1 d) + j k_1 \epsilon_r (k_0^2 - k_y^2) \sin(k_1 d)}{T_e T_m} \right] \sin(k_1 d) e^{-j(k_x x_0 + k_y y_0)}
\end{aligned} \tag{3.66}$$

ในทำนองเดียวกันกับสมการ (3.49) ถึง (3.65) สำหรับการหาฟังก์ชันของกรีน  $G_{xx}$  และ  $G_{yx}$  ซึ่งเป็นการหาสถานที่ไฟฟ้าในแนวสัมผัสในระนาบ  $z = d$  ที่เกิดจากอิเล็กตรอนต์กระแสในพิศทาง  $x$  และศักย์เวกเตอร์แม่เหล็ก  $A_x$  และ  $A_z$  จะได้

$$\begin{aligned}
& G_{xx}(k_x, k_y, d) \\
&= \frac{1}{j\omega\epsilon} \left[ \frac{(\epsilon_r k_0^2 - k_x^2) \epsilon_r k_2 \cos(k_1 d) + j k_1 \epsilon_r (k_0^2 - k_x^2) \sin(k_1 d)}{T_e T_m} \right] \sin(k_1 d) e^{-j(k_x x_0 + k_y y_0)}
\end{aligned} \tag{3.67}$$

$$G_{yx}(k_x, k_y, d) = G_{xy}(k_x, k_y, d) \tag{3.68}$$

### 3.5 สถานะตอกระบบ (Incident Field) และสถานะห้อน (Reflected Field)

ระบบคลื่นตอกระบบที่มุน ( $\theta_0, \phi_0$ ) ในระบบพิกัด  $(x, y, z)$  ดังแสดงในสมการ (3.30) สามารถตั้งระบบพิกัดใหม่  $(x', y', z')$  ณ มุนตอกระบบจริง และใช้การแปลงระบบพิกัดภายใต้การหมุนพิกัดดังแสดงในรูปที่ 3.15

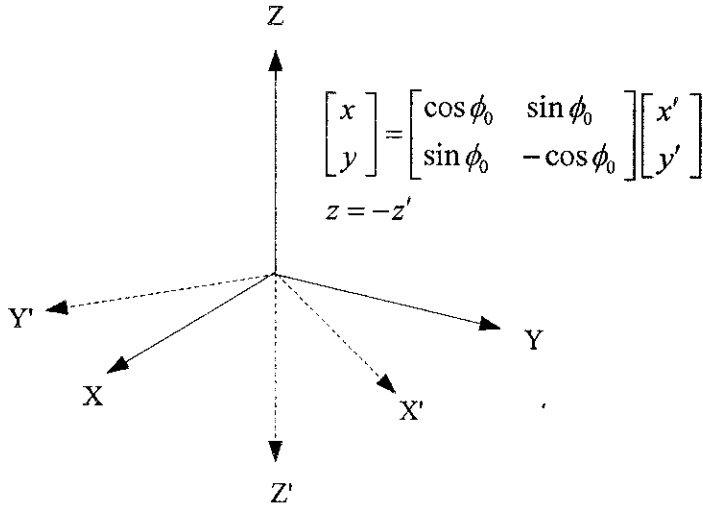
และจะได้สถานที่ไฟฟ้าตอกระบบในพิกัดใหม่เป็น

$$\bar{E}^{inc}(x', y', z') = E_0 e^{jk_0(u'_0 x' - \cos(\theta_0) z')} \hat{q} \tag{3.69}$$

โดยที่

$$u'_0 = \sin(\theta_0) \tag{3.70}$$

การแปลงพิกัดจาก  $(x', y', z')$  ไปเป็น  $(x, y, z)$  ซึ่งเป็นการหมุนระบบพิกัดจากจุดกำเนิด ในแนวแกน  $z$  ไปมุน  $\phi_0$  และมุนตอกระบบนี้หมุนได้  $180^\circ$



รูปที่ 3.15 การแปลงระบบพิกัดสำหรับใช้หาสนามต่ำกระทบและสนามสะท้อน  
บนแผ่นไครอเล็กตริกกราวด์

จากรูปที่ 3.16 แสดงการแยกคำนวณสัมประสิทธิ์การสะท้อนสำหรับโหมด TM และโหมด TE  
ไปยังคลื่นโพลาไรซ์ในแนวแกน z

$$\Gamma^{TM} = \frac{js \tan(k_0 sd) - \varepsilon_r \cos(\theta_0)}{js \tan(k_0 sd) + \varepsilon_r \cos(\theta_0)} \quad (3.71)$$

$$\Gamma^{TE} = \frac{js \tan(k_0 sd) - s \sec(\theta_0)}{js \tan(k_0 sd) + s \sec(\theta_0)} \quad (3.72)$$

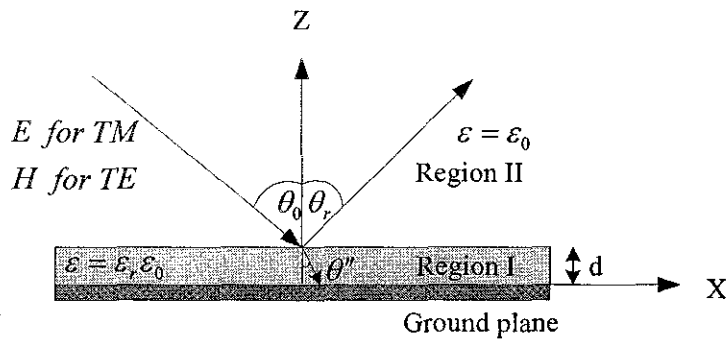
$$s = \sqrt{\varepsilon_r - \sin^2(\theta_0)} \quad (3.73)$$

สนามสะท้อนในแนวสัมผัส เนื่องจากสนามต่ำกระทบในโหมด TM คือ

$$\bar{E}_{\tan}^{ref}(x', y', -d) = \Gamma^{TM} E_0 e^{jk_0 \sin(\theta_0)x'} e^{jk_0 \cos(\theta_0)d} (\hat{a}_\theta \cdot \hat{a}_{x'}) \hat{a}_{x'} \quad (3.74)$$

และสนามสะท้อนในแนวสัมผัส เนื่องจากสนามต่ำกระทบในโหมด TE คือ

$$\bar{E}_{\tan}^{ref}(x', y', -d) = \Gamma^{TE} E_0 e^{jk_0 \sin(\theta_0)x'} e^{jk_0 \cos(\theta_0)d} (\hat{a}_\phi \cdot \hat{a}_{y'}) \hat{a}_{y'} \quad (3.75)$$



### Equivalent circuit



### TM reflection coefficient

$$\Gamma^{TM} = \frac{Z_L - Z_2}{Z_L + Z_2}$$

where

$$Z_L = jZ_1 \tan(k_1 d)$$

$$Z_2 = \eta_2 \cos(\theta_0) = \eta_0 \cos(\theta_0)$$

$$Z_1 = \eta_1 \cos(\theta'') = \frac{\eta_0}{\epsilon_r} \sqrt{\epsilon_r - \sin^2(\theta_0)} = \frac{\eta_0}{\epsilon_r} s$$

$$k_1 = k_0 \sqrt{\epsilon_r} \cos(\theta'') = k_0 \sqrt{\epsilon_r - \sin^2(\theta_0)} = k_0 s$$

### TE reflection coefficient

$$\Gamma^{TE} = \frac{Z_L - Z_2}{Z_L + Z_2}$$

where

$$Z_L = jZ_1 \tan(k_1 d)$$

$$Z_2 = \eta_2 \sec(\theta_0) = \eta_0 \sec(\theta_0)$$

$$Z_1 = \eta_1 \cos(\theta'') = \frac{\eta_0}{\sqrt{\epsilon_r - \sin^2(\theta_0)}} = \frac{\eta_0}{s}$$

$$k_1 = k_0 \sqrt{\epsilon_r} \cos(\theta'') = k_0 \sqrt{\epsilon_r - \sin^2(\theta_0)} = k_0 s$$

รูปที่ 3.16 วงจรสมมุติสายสั่งสำหรับระบบคลื่นทางทฤษฎีแบบแผ่น ได้อธิบายโดยใช้ค่าคงที่ที่ได้ระบุไว้

ดังนั้นสนามไฟฟ้าจะท่อนในแนวสัมผัสที่ต่ำแทนง  $z = d$  โดยใช้การแปลงพิกัด  $(x', y', z')$  กลับไปยังพิกัด  $(x, y, z)$

$$\begin{aligned} \begin{bmatrix} E_x^{ref}(x, y, d) \\ E_y^{ref}(x, y, d) \end{bmatrix} &= \begin{bmatrix} \cos\phi_0 & \sin\phi_0 \\ \sin\phi_0 & -\cos\phi_0 \end{bmatrix} \begin{bmatrix} E_{x'}^{ref}(x', y', -d) \\ E_{y'}^{ref}(x', y', -d) \end{bmatrix} \\ &= \begin{bmatrix} \cos\phi_0 & \sin\phi_0 \\ \sin\phi_0 & -\cos\phi_0 \end{bmatrix} \begin{bmatrix} \Gamma^{TM} E_0 e^{jk_0[\sin(\theta_0)x' + \cos(\theta_0)d]} (\hat{a}_\theta \cdot \hat{a}_{x'}) \\ \Gamma^{TE} E_0 e^{jk_0[\sin(\theta_0)x' + \cos(\theta_0)d]} (\hat{a}_\phi \cdot \hat{a}_{y'}) \end{bmatrix} \\ &= \begin{bmatrix} \cos\phi_0 & \sin\phi_0 \\ \sin\phi_0 & -\cos\phi_0 \end{bmatrix} \begin{bmatrix} \Gamma^{TM} \cos\theta_0 (\bar{E}^{inc} \cdot \hat{a}_\theta) \\ -\Gamma^{TE} (\bar{E}^{inc} \cdot \hat{a}_\phi) \end{bmatrix} \\ &= \begin{bmatrix} \cos\phi_0 & \sin\phi_0 \\ \sin\phi_0 & -\cos\phi_0 \end{bmatrix} \begin{bmatrix} \Gamma^{TM} \cos\theta_0 & 0 \\ 0 & -\Gamma^{TE} \end{bmatrix} \begin{bmatrix} \bar{E}^{inc} \cdot \hat{a}_\theta \\ \bar{E}^{inc} \cdot \hat{a}_\phi \end{bmatrix} \end{aligned} \quad (3.76)$$

โดยที่  $\bar{E}^{inc} \cdot \hat{a}_\theta$  ที่ต่ำแทนง  $z = d$  เป็นองจากสนามตกรอบในโหมด TM หาได้จาก

$$\bar{E}^{inc} \cdot \hat{a}_\theta = E_0 e^{jk_0(u_0x + v_0y + \cos\theta_0 d)} \cdot \hat{a}_\theta \quad (3.77)$$

และในทำนองเดียวกัน จะได้สนามไฟฟ้าที่หงหงในแนวสัมผัส

$$\begin{bmatrix} E_x^{inc} + E_x^{ref} \\ E_y^{inc} + E_y^{ref} \end{bmatrix} = \begin{bmatrix} \cos\phi_0 & \sin\phi_0 \\ \sin\phi_0 & -\cos\phi_0 \end{bmatrix} \begin{bmatrix} (1 + \Gamma^{TM}) \cos\theta_0 & 0 \\ 0 & -(1 + \Gamma^{TE}) \end{bmatrix} \begin{bmatrix} \bar{E}^{inc} \cdot \hat{a}_\theta \\ \bar{E}^{inc} \cdot \hat{a}_\phi \end{bmatrix} \quad (3.78)$$

จาก [15] ความหนาแน่นกระแสไฟฟ้าเชิงผิวสมมูล (Equivalent Electric Surface Density)  $\bar{J}_s^i$  ที่ระนาบ  $z = 0$  คำนวณได้จาก

$$\bar{J}_s^i(x, y)|_{z=0} = \bar{J}_{sx}^i(x, y)|_{z=0} \hat{x} + \bar{J}_{sy}^i(x, y)|_{z=0} \hat{y} = -2\hat{z} \times \bar{H}_i|_{z=0} \quad (3.79)$$

และเมื่อใช้สมการ (3.30) (3.25) และ (3.29) แทนลงในสมการ (3.79) จะได้

$$\bar{J}_s^e = \bar{J}_{s0} e^{jk_0(xu_0 + yv_0 + d \cos\theta_0)} \quad (3.80)$$

โดยที่

$$\bar{J}_{s0} = \frac{-2}{\eta_0} [\hat{x}(E_{0\theta} \cos\phi_0 - E_{0\phi} \cos\theta_0 \sin\phi_0) + \hat{y}(E_{0\theta} \sin\phi_0 - E_{0\phi} \cos\theta_0 \cos\phi_0)] \quad (3.81)$$

### 3.6 ระเบียบวิธีโมเมนต์ (Moment Method)

จากสมการ (3.48) ซึ่งเป็นสมการเชิงอินทิกรัลสนามไฟฟ้า ที่มีกระแสไม่ทราบค่า  $\bar{J}^S$  เราจะหากระแสไม่ทราบค่านี้โดยใช้ระเบียบวิธีโมเมนต์ ซึ่งเริ่มด้วยการกำหนดพังก์ชันฐาน (Basis Function)  $\bar{J}_j$  เพื่อหา  $\bar{J}^S$  ดังนี้

$$\begin{aligned}\bar{J}^S(x, y, d) &= \sum_{j=1}^N I_j \bar{J}_j(x, y, d) \\ \tilde{J}^S(k_x, k_y, d) &= \sum_{j=1}^N I_j \tilde{J}_j(k_x, k_y, d)\end{aligned}\quad (3.82)$$

แทนสมการ (3.82) ลงในสมการ (3.48) จะได้

$$\begin{aligned}\bar{E}_{\tan}^{inc} + \bar{E}_{\tan}^{ref} &= -\frac{1}{4\pi^2} \sum_{j=1}^N I_j \left[ \int_{-\infty}^{\infty} \int_{-\infty}^{\infty} \bar{\bar{G}}(k_x, k_y, d) \cdot \tilde{J}_j(k_x, k_y) e^{jk_x x} e^{jk_y y} dk_x dk_y \right] \\ &= -\frac{1}{4\pi^2} \sum_{j=1}^N I_j L(J_j)\end{aligned}\quad (3.83)$$

เพื่อที่จะหาค่าขนาดของกระแสที่ไม่ทราบค่า  $N$  ค่า จำเป็นจะต้องมี  $N$  สมการ เพื่อจะหาค่าให้ได้ดังนี้ จึงใช้พังก์ชันทดสอบ (Testing Function) หรือพังก์ชันให้น้ำหนัก  $\bar{J}_i$  กับสมการ (3.83) และทำการอินทิกรัลลดทั้งบริเวณผิวสะท้อนที่ต้องการหาค่า จะได้

$$\iint_S (\bar{E}_{\tan}^{inc} + \bar{E}_{\tan}^{ref}) \cdot \bar{J}_i ds = \sum_{j=1}^N I_j \left[ -\frac{1}{4\pi^2} \iint_S \bar{J}_i \cdot L(J_j) ds \right] \quad (3.84)$$

โดยเราจะเลือกใช้หลักการของการแลอร์คิน (Galerkin) ซึ่งเป็นการเลือกให้พังก์ชันทดสอบเหมือนกับพังก์ชันฐาน แล้วใช้การเปลี่ยนสมการเชิงอินทิกรัลให้อยู่ในรูปเมตริกซ์ขนาด  $N \times N$  เพื่อแก้สมการหาสัมประสิทธิ์ของการขยายไม่ทราบค่า  $I_j$

$$[V] = [Z][I] \quad (3.85)$$

โดยที่

$$Z_{ij} = -\frac{1}{4\pi^2} \int_{-\infty}^{\infty} \int_{-\infty}^{\infty} \tilde{J}_i(-k_x, -k_y) \cdot \bar{\bar{G}}(k_x, k_y, d) \cdot \tilde{J}_j(k_x, k_y) dk_x dk_y \quad (3.86)$$

$$V_i = \bar{J}_{s0} \cdot \bar{\bar{G}}(-k_0 u_0, -k_0 v_0) \cdot \bar{J}_i(-k_0 u_0, -k_0 v_0) \quad (3.87)$$

เวกเตอร์แรงดันในสมการ (3.87) ประกอบด้วยสนามไฟฟ้าต่อกลาง TM และโหมด TE ถ้าสนามต่อกลางมีการโพลาไรซ์เชิงเส้น ดังนั้นเวกเตอร์แรงดันจะลดรูปเหลือเฉพาะโหมด TM หรือ TE อย่างใดอย่างหนึ่งเท่านั้น

### 3.6.1 สนามระยะไกล (Far Field)

การหาสนามระยะไกล เป็นการหาสนามในบริเวณ Region II หรือในอากาศ เนื่องจากกระแส เชิงผิวในทิศทาง  $y$  และศักย์เวกเตอร์แม่เหล็ก  $A_y$  และ  $A_z$  โดยแทนสมการ (3.62) และ (3.63) ลงในสมการ (3.59) แล้วอินทิเกรทกระแส  $J_y(x_0, y_0)$  ในทิศทาง  $y$  หลังจากนั้นทำการแปลงฟูเรียร์ ขึ้นกลับ จะได้

$$E_y(x, y, z) = e^{jk_2 d} \frac{Z_0}{jk_0} \tilde{J}(-k_x - k_y) \frac{1}{4\pi^2} \int_{-\infty}^{\infty} \int_{-\infty}^{\infty} G_{yy}(k_x, k_y) e^{-j\hat{k}r} dk_x dk_y \quad (3.88)$$

$$E_x(x, y, z) = e^{jk_2 d} \frac{Z_0}{jk_0} \tilde{J}(-k_x - k_y) \frac{1}{4\pi^2} \int_{-\infty}^{\infty} \int_{-\infty}^{\infty} G_{xy}(k_x, k_y) e^{-j\hat{k}r} dk_x dk_y \quad (3.89)$$

$$E_z(x, y, z) = e^{jk_2 d} \frac{Z_0}{jk_0} \tilde{J}(-k_x - k_y) \frac{1}{4\pi^2} \int_{-\infty}^{\infty} \int_{-\infty}^{\infty} G_{yz}(k_x, k_y) e^{-j\hat{k}r} dk_x dk_y \quad (3.90)$$

ดังนั้น ค่าคงตัวเฟส (Stationary Phase) ในรูปสมการเชิงอินทิกรัลคือ

$$\frac{1}{4\pi^2} \int_{-\infty}^{\infty} \int_{-\infty}^{\infty} G(k_x, k_y) e^{-j\hat{k}r} \quad (3.91)$$

หรือ

$$\frac{e^{-jkr}}{r} \frac{jk_0 \cos \theta}{2\pi} G(k_x, k_y) \quad (3.92)$$

โดยจุดคงตัวเฟสหาได้จาก

$$\begin{aligned} k_x &= k_0 \cos \theta \cos \phi \\ k_y &= k_0 \cos \theta \sin \phi \end{aligned} \quad (3.93)$$

จากสมการ (3.88) ถึงสมการ (3.90) และความสัมพันธ์ในสมการ (3.94) เราสามารถหาสนามไฟฟาระยะไกลในพิกัดเชิงข้อ  $\theta$  และ  $\phi$  สำหรับกระแสในทิศทาง  $y$  ได้ดังนี้

$$\begin{aligned} E_\theta &= E_x \cos \theta \cos \phi + E_y \cos \theta \sin \phi - E_z \sin \theta \\ E_\phi &= -E_x \sin \phi + E_y \cos \phi \end{aligned} \quad (3.94)$$

จะได้

$$\begin{aligned} E_\theta &= C \tilde{J}(-k_x, -k_y) \cos \theta \left( \frac{k_0^2 \sin(k_1 d)}{T_e} \right) \cos \phi \\ E_\phi &= C \tilde{J}(-k_x, -k_y) \cos \theta \left( \frac{k_0 k_1 \sin(k_1 d)}{T_m} \right) \sin \phi \end{aligned} \quad (3.95)$$

โดยที่

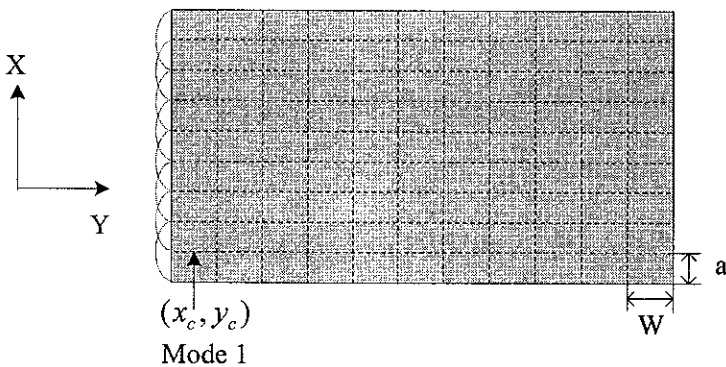
$$C = \frac{e^{-jk_0 r}}{r} \frac{Z_0}{2\pi} e^{jk_2 d} \quad (3.96)$$

ในท่านองเดียวกัน เราสามารถหาสถานะระยะไกลเนื่องจากกระแสในทิศทาง  $x$  ได้จาก

$$\begin{aligned} E_\theta &= C \tilde{J}(-k_x, -k_y) \cos \theta \left( \frac{k_0^2 \sin(k_1 d)}{T_e} \right) \sin \phi \\ E_\phi &= C \tilde{J}(-k_x, -k_y) \cos \theta \left( \frac{k_0 k_1 \sin(k_1 d)}{T_m} \right) \cos \phi \end{aligned} \quad (3.97)$$

### 3.6.2 การวิเคราะห์เชิงเลข (Numerical Analysis)

สมการ (3.48) ซึ่งเป็นสมการเชิงอินทิกรัลสำหรับไฟฟ้าในโคลเมนความถี่ สำหรับแผ่นสะท้อนในโครงสร้าง เพื่อแก้สมการหาสถานะระยะเฉียงด้วยระเบียบวิธี โนเมนต์ เราจะเลือกใช้ฟังก์ชันฐานและฟังก์ชันทดสอบ เป็นฟังก์ชันพีซ ไวส์แบบชายน์ (Piecewise Sinusoidal หรือ PWS) ทั้งในแนวแกน  $x$  และ  $y$  ซึ่งเป็นการกำหนดค่าการกระจายในช่วงหนึ่งของ  $N$  ส่วนความยาวของโครงสร้าง แผ่นสะท้อนที่ไม่ซ้อนทับกัน ดังแสดงในรูปที่ 3.17



รูปที่ 3.17 การกระจายโนมดสำหรับแผ่นสะท้อนในโครงสร้าง

เมื่อวิเคราะห์ PWS ในทิศทาง  $x$  จะได้

$$J_j(x, y) = J_j(x)J_j(y) = \frac{\sin(k_{\text{eff}}(a - |x - x_c|))}{\sin(k_{\text{eff}}a)} \frac{1}{W} \hat{a}_x$$

for  $|x - x_c| < a$

$$|y - y_c| < \frac{W}{2}$$
(3.98)

โดยที่พิกัด  $(x_c, y_c)$  เป็นจุดกึ่งกลางของโหมด PWS มีค่าเท่ากับ  $a$  และ  $W/2$  ตามลำดับ และ  $k_{\text{eff}}$  เป็นเลขคู่ลี่ในแผ่นสะท้อน สมการ (3.98) สามารถเขียนให้อยู่ในโหมดนิความถี่ได้เป็น

$$\tilde{J}_j(k_x, k_y) = \tilde{J}_j(k_x)\tilde{J}_j(k_y) \quad (3.99)$$

$$\tilde{J}_j(k_x) = \frac{2k_{\text{eff}}(\cos(k_x a) - \cos(k_{\text{eff}}a))}{\sin(k_{\text{eff}}a)(k_{\text{eff}}^2 - k_x^2)} e^{-jk_x x_c} \quad (3.100)$$

$$\tilde{J}_j(k_y) = \frac{\sin(k_y \frac{W}{2})}{k_y \frac{W}{2}} e^{-jk_y y_c} \quad (3.101)$$

และในทำนองเดียวกันเราสามารถวิเคราะห์ PWS ในทิศทาง  $y$  ได้เป็น

$$\tilde{J}_j(k_x) = \frac{\sin(k_x \frac{a}{2})}{k_x \frac{a}{2}} e^{-jk_x x_c} \quad (3.102)$$

$$\tilde{J}_j(k_y) = \frac{2k_{\text{eff}}(\cos(k_y W) - \cos(k_{\text{eff}}W)))}{\sin(k_{\text{eff}}W)(k_{\text{eff}}^2 - k_y^2)} e^{-jk_y y_c}$$

การหาค่ามترิกซ์อินพิแคนซ์ในสมการ (3.86) ด้วยวิธีเชิงเลข จะใช้การแปลงให้อยู่ในพิกัดเชิงขั้วคือ

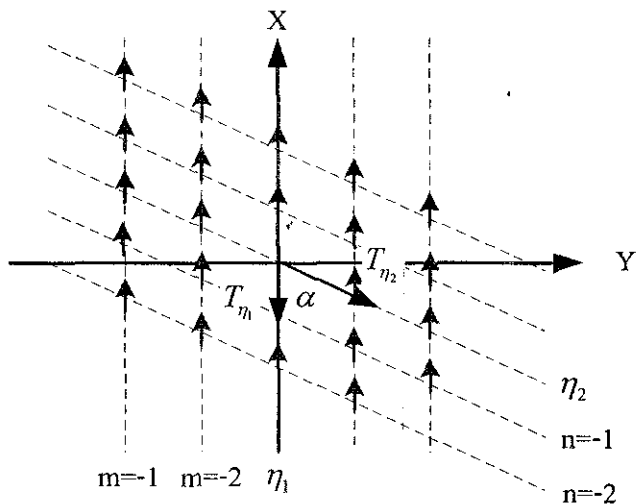
$$\beta^2 = k_x^2 + k_y^2$$

$$\alpha = \tan^{-1}\left(\frac{k_y}{k_x}\right) \quad (3.103)$$

ดังนั้น สมการเชิงอินพิกรัล  $\infty$  สองข้างเทียบกับ  $k_x$  และ  $k_y$  สามารถแปลงให้เป็นสมการเชิงอินพิกรัล ในช่วง  $0 - 2\pi$  สำหรับ  $\alpha$  และในช่วง  $0 - \pi$  สำหรับ  $\beta$  จึงทำให้เกิดผลเป็นศูนย์ในช่วงระหว่าง  $k_0$  กับ  $\sqrt{\epsilon_r}k_0$

เนื่องจากเราแบ่งแผ่นสะท้อนออกเป็น โหมดย่อขึ้นลงมาก จึงทำให้ต้องใช้เวลาประมวลผลมากขึ้นด้วย เพื่อลดเวลาประมวลผลนี้ เราจะใช้การเติมเมตริกซ์ด้วย Toeplitz แบบสมมาตร เข้าไปในเมตริกอิมพีเดนซ์ และใช้การ Interpolation จากเมตริกอิมพีเดนซ์ซึ่งสร้างจากข้อมูลแบบหยาบๆ

### 3.7 การวิเคราะห์แผ่นสะท้อนด้วยหลักการ Infinite array



รูปที่ 3.18 แควลำดับอนันต์ (Infinite array) ของอิมเพนต์ไดโพลในระบบ Skewed Coordinate

รูปที่ 3.18 แสดงแควลำดับอนันต์ที่มีชานมไดโพลในทิศทาง  $x$  วางอยู่บนแผ่นไดอิเล็กทริกกราวด์ และแควลำดับไดโพลจะวางเป็นราย cabin ในระบบพิกัดแบบเลขของ  $\eta_1$  และ  $\eta_2$  ด้วยความเวลา  $T_{\eta_1}$  และ  $T_{\eta_2}$  ตามลำดับ เมื่อพิจารณาบนคลื่นตกระยะบันแควลำดับไดโพลอนันต์ที่มีมุนตกระยะ ( $\theta_0, \phi_0$ ) โครงสร้างแบบราย cabin อนันต์จะทำให้เกิดการเหนี่ยวนำกระแสบนไดโพลแต่ละแผ่นเนื่องจากระยะน้ำหนักตกระยะ ส่งผลให้แอมป์ลิจูดคงที่และเฟสเปลี่ยนแปลง ซึ่งกระแสเหนี่ยวนำนี้สามารถเขียนให้อยู่ในระบบพิกัด  $(x, y)$  ได้ดังนี้

$$\sum_{m=-\infty}^{\infty} \delta(x - x') e^{jk_0 u_0 x} \sum_{n=-\infty}^{\infty} \delta(y - y') e^{jk_0 v_0 y}$$

$$y' = nT_{\eta_2} \sin \alpha$$

$$x' = mT_{\eta_1} + nT_{\eta_2} \cos \alpha$$

$$= mT_{\eta_1} + \frac{y'}{\sin \alpha} \cos \alpha$$

$$= mT_{\eta_1} + y' \cot \alpha$$

จะได้

$$\sum_{m=-\infty}^{\infty} \delta(x - y \cot \alpha - mT_{\eta_1}) e^{jk_0 u_0 x} \sum_{n=-\infty}^{\infty} \delta(y - nT_{\eta_2} \sin \alpha) e^{jk_0 v_0 y} \quad (3.104)$$

เมื่อพิจารณาการออฟเฟซและลำดับอนันต์ด้วย  $(x_0, y_0)$  ออกจากชุดกำเนิด การกระจายกระแส ออฟเฟซจะอยู่ในรูป

$$J_x^{\infty}(x, y) = \delta(x - x_0) \delta(y - y_0) \\ * \left[ \sum_{m=-\infty}^{m=\infty} \delta(x - y \cot \alpha - mT_{\eta_1}) e^{jk_0 u_0 x} \sum_{n=-\infty}^{n=\infty} \delta(y - nT_{\eta_2} \sin \alpha) e^{jk_0 v_0 y} \right] \quad (3.105)$$

การกระจายกระแสในสมการ (3.95) สามารถแปลงฟูเรียร์ ได้ดังนี้

$$\tilde{J}_x^{\infty}(k_x, k_y) = \frac{4\pi^2 e^{jk_x x_0} e^{jk_y y_0}}{T_{\eta_1} T_{\eta_2} \sin \alpha} \sum_{m=-\infty}^{m=\infty} \sum_{n=-\infty}^{n=\infty} \delta(k_x - k'_x) \delta(k_y - k'_y) \quad (3.106)$$

โดยที่

$$k'_x = \frac{2\pi m}{T_{\eta_1}} + k_0 u_0 \quad (3.107)$$

$$k'_y = \frac{2\pi n}{T_{\eta_2} \sin \alpha} - \frac{2\pi m}{T_{\eta_1} \tan \alpha} + k_0 v_0$$

ตัวแปร  $u_0$  และ  $v_0$  เป็นค่าในระนาบตกกระหบในทิศใดๆ เมื่อเทียบกับแกน  $x$  และ  $y$  ตามลำดับ เมื่อแทนสมการ (3.106) สำหรับแคลดับอนันต์ในทิศทาง  $x$  และ  $y$  ลงในสมการ (3.42) จากนั้นแปลง ฟูเรียร์ย้อนกลับ จะได้สานามไฟฟ้าในรูปໄโคแอดิก ดังนี้

$$\bar{\bar{E}}^{\infty}(x, y, d/x_0, y_0) = \frac{1}{T_{\eta_1} T_{\eta_2} \sin \alpha} \sum_{m=-\infty}^{m=\infty} \sum_{n=-\infty}^{n=\infty} \bar{\bar{G}}(k'_x, k'_y) e^{jk'_x(x-x_0)} e^{jk'_y(y-y_0)} \quad (3.108)$$

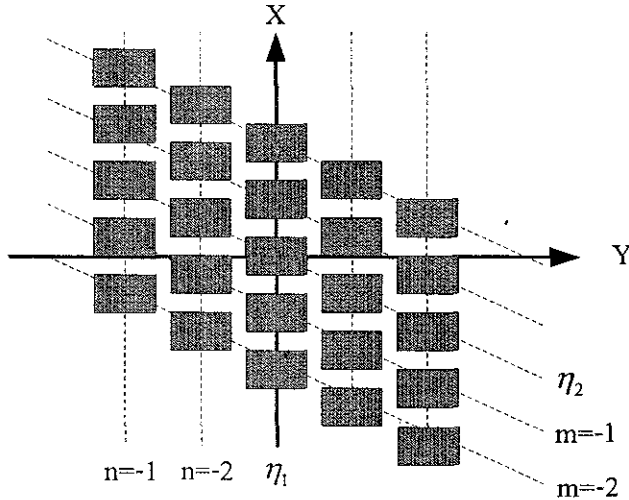
โดยทั่วไป แคลดับจะประกอบด้วยกลุ่มแผ่นสะท้อนวางแผน 2 มิติ ดังแสดงในรูป 3.19 และ สานามไฟฟ้าจะกระจายของแผ่นสะท้อนแผ่นเดียวเนื่องจากกระแสหนึ่งวนนำนและลำดับนี้ สามารถ เผยนให้อยู่ในรูปการคอนโวลูชันของฟังก์ชันของกรีนแคลดับอนันต์จากสมการ (3.108) กับกระแส เชิงผิวนแผ่นสะท้อน ได้ดังนี้

$$\bar{E}^{scat}(x, y, d) = \begin{pmatrix} E_x \\ E_y \end{pmatrix} = \iint_{S_0} \bar{\bar{E}}^{\infty}(x, y, d/x_0, y_0) \cdot \bar{J}_0(x_0, y_0) dx_0 dy_0 \quad (3.109)$$

$$= \frac{1}{T_{\eta_1} T_{\eta_2} \sin \alpha} \sum_{m=-\infty}^{m=\infty} \sum_{n=-\infty}^{n=\infty} \bar{\bar{G}}(k'_x, k'_y) \cdot \tilde{J}_0(k'_x, k'_y) e^{jk'_x x} e^{jk'_y y}$$

และ

$$\bar{E}_{\tan}^{inc} + \bar{E}_{\tan}^{ref} = -\frac{1}{T_{\eta_1} T_{\eta_2} \sin \alpha} \sum_{m=-\infty}^{m=\infty} \sum_{n=-\infty}^{n=\infty} \bar{\bar{G}}(k'_x, k'_y) \cdot \tilde{J}_0(k'_x, k'_y) e^{jk'_x x} e^{jk'_y y} \quad (3.110)$$



รูปที่ 3.19 ถ่วงลำดับอนันต์ของแผ่นสะท้อน

### 3.7.1 การวิเคราะห์ถ่วงลำดับสะท้อนอนันต์ ด้วยระเบียบวิธีโนเมนต์

การแก้สมการ (3.110) เป็นการหากระแสไฟฟ้ากระแสเริ่งของแผ่นสะท้อนในโครงสร้าง จากสมการ (3.110) จะมีกระแสไม่ทราบค่า  $\tilde{J}_0$  ซึ่งหาได้จากการเบียบวิธีโนเมนต์ โดยกำหนดให้เป็น พังก์ชันฐานที่มีสัมประสิทธิ์ไม่ทราบค่า และใช้พังก์ชันทดสอบเพื่อหาสัมประสิทธิ์ไม่ทราบค่านี้ โดย เมตริกซ์เวกเตอร์สัมประสิทธิ์ไม่ทราบค่า  $[I]$  หากได้จากการทำเมตริกซ์ผกผัน

$$[I] = [Z]^{-1} [V] \quad (3.111)$$

โดยใช้วekเตอร์แรงดันจากสมการ (3.87) และเมตริกซ์อิมพีเดนซ์ หาได้จาก

$$Z_{ij} = -\frac{1}{T_{\eta_1} T_{\eta_2} \sin \alpha} \sum_{m=-\infty}^{m=\infty} \sum_{n=-\infty}^{n=\infty} \tilde{J}_i(k'_x, k'_y) \cdot \bar{\bar{G}}(k'_x, k'_y) \cdot \tilde{J}_j(k'_x, k'_y) \quad (3.112)$$

สมการ (3.112) เป็นรูปแบบสมการการวิเคราะห์ถ่วงลำดับสะท้อนอนันต์ โดยมีพังก์ชันฐานและพังก์ชันทดสอบแบบ Piecewise Sinusoidal Sub-domain Mode

### 3.7.2 สัมประสิทธิ์สะท้อนของแคลคูลัสด้านสะท้อนอนันต์

จากสมการ (3.33) สนามสะท้อนรวมประกอบด้วยสนามสะท้อนจากแผ่นไดอิเล็กทริก กราวด์และสนามกระแสไฟฟ้าจากกระแสไฟฟ้าในวัสดุน้ำหนักตื้นอิเล็กทริก ซึ่งสนามทั้งสองสามารถเปลี่ยนให้อยู่ในรูปสัมประสิทธิ์การสะท้อนได้ดังนี้

$$\begin{aligned}\bar{E}^{ref} &= \bar{\bar{R}} \cdot \bar{E}^{inc} \Big|_{z=0} e^{-jk_0 z \cos \theta_0} \\ \bar{E}^{scat} &= \bar{\bar{S}} \cdot \bar{E}^{inc} \Big|_{z=0} e^{jk_0(z+d) \cos \theta_0}\end{aligned}\quad (3.113)$$

#### 3.7.2.1 สัมประสิทธิ์การสะท้อนเนื่องจากการสะท้อนจากแผ่นไดอิเล็กทริกกราวด์

สนามสะท้อนในหัวข้อ 3.5 จะพิจารณาสนามโพลาไรซ์รวมใน  $\theta$  และ  $\phi$  แต่ไม่ได้พิจารณาองค์ประกอบในแนวสัมผัส จากสมการ (3.76) จะสามารถหาสนามสะท้อนในองค์ประกอบ  $z$  หรือองค์ประกอบของสนามไฟฟ้าในแนวตั้งฉากได้โดยใช้  $\nabla \cdot E = 0$  ซึ่งสามารถเขียนให้อยู่ในเทอมของสนามไฟฟ้าสะท้อนในแนวสัมผัสได้เป็น

$$E_z^{ref} = \frac{\sin \theta_0 \cos \phi_0 E_x^{ref} + \sin \theta_0 \sin \phi_0 E_y^{ref}}{\cos \theta_0} \quad (3.114)$$

แปลงสมการ (3.114) ให้อยู่ในพิกัดเชิงข้าม ได้เป็น

$$\begin{aligned}E_\theta^{ref} &= E_x^{ref} \cos \theta_r \cos \phi_r + E_y^{ref} \cos \theta_r \sin \phi_r - E_z^{ref} \sin \theta_r \\ E_\phi^{ref} &= -E_x^{ref} \sin \phi_r + E_y^{ref} \cos \phi_r\end{aligned}\quad (3.115)$$

โดยที่

$$\begin{aligned}\theta_r &= \theta_0 \\ \phi_r &= \phi_0 + \pi\end{aligned}\quad (3.116)$$

จากสมการ (3.76) (3.114) และ (3.115) จะได้สัมประสิทธิ์สนามสะท้อน โดยหาได้จากอัตราส่วนระหว่างสนามสะท้อนกับสนามต้นฉบับที่  $z = 0$

$$\begin{aligned}R_{\theta\theta} &= -\Gamma^{TM} e^{j2k_0 \cos \theta_0 d} \\ R_{\phi\phi} &= \Gamma^{TE} e^{j2k_0 \cos \theta_0 d}\end{aligned}\quad (3.117)$$

เราสามารถเขียนสนามสะท้อนในรูปแบบเมตริกซ์ เนื่องจากสนามต้นฉบับที่มีโพลาไรซ์  $\hat{q}$  ได้ดังนี้

$$\begin{pmatrix} E_\theta^{ref} \\ E_\phi^{ref} \end{pmatrix} = \begin{pmatrix} R_{\theta\theta} & 0 \\ 0 & R_{\phi\phi} \end{pmatrix} \begin{pmatrix} \hat{a}_\theta \cdot \hat{q} \\ \hat{a}_\phi \cdot \hat{q} \end{pmatrix} e^{jk_0(u_0 x + v_0 y - z \cos \theta_0)} \quad (3.118)$$

### 3.7.2.2 สัมประสิทธิ์การสะท้อนเนื่องจากกระแสหนี่ยวนำนแผ่นสะท้อนไมโครสตอริป

การหาสัมประสิทธิ์การสะท้อนเนื่องจากกระแสหนี่ยวนำนแผ่นสะท้อนไมโครสตอริปพิจารณาจากสนามกระแสจริง โดยใช้ระเบียบวิธีโนเมนต์ ซึ่งเวกเตอร์สัมประสิทธิ์ไม่ทราบค่า [1] จะหาได้ด้วยวิธีเชิงเลขจากสมการ (3.111) และสนามกระแสจริงในอากาศหรือไดอิเล็กตริก หาได้จาก

$$\begin{aligned}\bar{E}^{scat}(x, y, d) &= \begin{pmatrix} E_x(x, y, d) \\ E_y(x, y, d) \end{pmatrix} \\ &= \frac{1}{T_{\eta_1} T_{\eta_2} \sin \alpha} \sum_{m=-\infty}^{\infty} \sum_{n=-\infty}^{\infty} \bar{G}(k'_x, k'_y) \tilde{J}_0(k'_x, k'_y) e^{jk'_x x} e^{jk'_y y}\end{aligned}\quad (3.119)$$

โดยที่

$$\tilde{J}_0(k'_x, k'_y) = \sum_{j=1}^N I_j \tilde{J}_j(k'_x, k'_y) \quad (3.120)$$

สนามบนไดอิเล็กตริกสามารถเขียนในเทอนของสนามเชิงผิวของไดอิเล็กตริก ได้ดังนี้

$$\begin{aligned}E_x(x, y, z > d) &= E_x(x, y, d) e^{-jk_z(z-d)} \\ E_y(x, y, z > d) &= E_y(x, y, d) e^{-jk_z(z-d)} \\ E_z(x, y, z > d) &= \frac{k'_x E_x(x, y, d) + k'_y E_y(x, y, d)}{k_z} e^{-jk_z(z-d)}\end{aligned}\quad (3.121)$$

โดยที่

$$k_z = \sqrt{k_0^2 - k_x'^2 - k_y'^2} \quad (3.122)$$

$$\begin{aligned}k'_x &= \frac{2\pi n}{T_{\eta_1}} + k_0 u_0 \\ k'_y &= \frac{2\pi n}{T_{\eta_2} \sin \alpha} - \frac{2\pi m}{T_{\eta_1} \tan \alpha} + k_0 v_0\end{aligned}\quad (3.123)$$

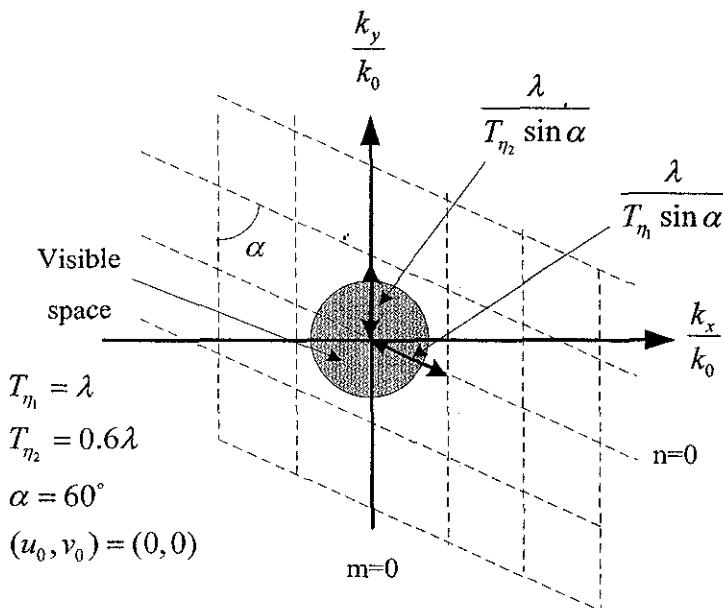
การพิจารณาค่าคงตัวการแพร่กระจายคลื่น (Propagation Constant)  $k_z$  สำหรับโครงสร้างแบบรายคานอนน์ท์ หาได้จากการนอร์แมลไลซ์สมการ (3.122) จะได้

$$\frac{k_z}{k_0} = \sqrt{1 - \left( \frac{k'_x}{k_0} \right)^2 - \left( \frac{k'_y}{k_0} \right)^2} \quad (3.124)$$

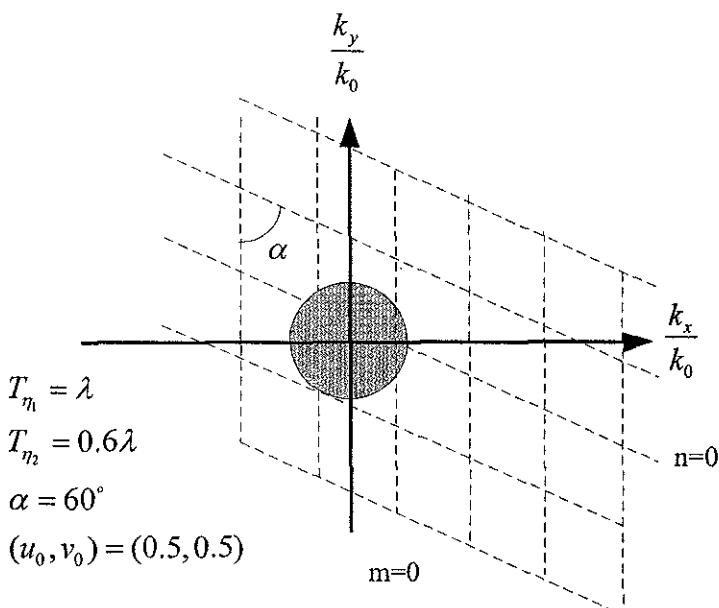
หรือ

$$\left( \frac{k'_x}{k_0} \right)^2 + \left( \frac{k'_y}{k_0} \right)^2 < 1 \quad (3.125)$$

สมการ (3.125) ใช้สำหรับสานะสะท้อนเนื่องจากกระแสเชิงพิวนนแผ่นสะท้อนในโหมด  $m=0, n=0$  แต่อย่างไรก็ตาม สมการ (3.125) สามารถใช้สำหรับกรณีที่มุ่งต่อกรอบ และค่าบหรือระบบห่างระหว่างแผ่นสะท้อนมีอันดับโหมดสูงขึ้นได้ เพื่อให้ง่ายในการออกแบบ เราจะใช้ Reciprocal Lattice หรือ Grating Lobe Diagram ซึ่งໄດ້ແລ້ວຕ່າງອໍມຄລາຍໃຫຍ່ພື້ນຕົວກ່າວ  $k'_x, k'_y$  จากสมการ (3.113) ในระบบ  $k_x/k_0$  และ  $k_y/k_0$  ตามลำดับ ดังแสดงในรูปที่ 3.20



n. Broadside scan position



v. Scan position

รูปที่ 3.20 Grating lobe diagram

ถ้าเราเลือก Grid Lattice และมุ่งผลกระทบของคลื่นแผ่นสะท้อนให้้อยู่ในโหมดการแพร่กระจายคลื่น  $(m, n) = (0, 0)$  สามารถเขียนสมการ (3.118) ได้ใหม่เป็น

$$\begin{aligned}\bar{E}^{scat}(x, y, d) &= \begin{pmatrix} E_x(x, y, d) \\ E_y(x, y, d) \end{pmatrix} = \begin{pmatrix} E_x^q \\ E_y^q \end{pmatrix} e^{jk_0 u_0 x} e^{jk_0 v_0 y} \\ &= \frac{1}{T_{\eta_1} T_{\eta_2} \sin \alpha} \bar{G}(k_0 u_0, k_0 v_0) \bar{J}_0^q(k_0 u_0, k_0 v_0) e^{jk_0 u_0 x} e^{jk_0 v_0 y}\end{aligned}\quad (3.126)$$

โดยที่  $q$  คือโพลาไรซ์ของมุ่งผลกระทบ ดังนี้  $q = \theta$  หรือ  $q = \phi$  เมื่อมุ่งผลกระทบอยู่ในโหมด TM หรือ TE ตามลำดับ และในทำนองเดียวกันกับคลื่นสะท้อน เราสามารถเขียนแมตริกซ์สนามกระเจิงได้จากความสัมพันธ์ระหว่างสนามกระเจิงกับสนามผลกระทบ ดังนี้

$$\begin{pmatrix} E_\theta^{scat} \\ E_\phi^{scat} \end{pmatrix} = \begin{pmatrix} S_{\theta\theta} & S_{\theta\phi} \\ S_{\phi\theta} & S_{\phi\phi} \end{pmatrix} \begin{pmatrix} E_\theta^{inc} \\ E_\phi^{inc} \end{pmatrix} e^{jk_0(u_0 x + v_0 y - z \cos \theta_0)} \quad (3.127)$$

โดยที่

$$S_{pq} = \frac{E_p^{scat}(z=0)}{E_q^{inc}(z=0)} \quad (3.128)$$

แทนสมการ (3.126) ลงในสมการ (3.121) และแปลงให้อยู่ในพิกัดทรงกลม จะได้

$$\begin{aligned}E_\theta^{scat} &= - \left[ \frac{\cos \phi_0 E_x^q + \sin \phi_0 E_y^q}{\cos \theta_0} \right] e^{jk_0(u_0 x + v_0 y)} e^{-jk_z(z-d)} \\ E_\phi^{scat} &= \left[ \sin \phi_0 E_x^q - \cos \phi_0 E_y^q \right] e^{jk_0(u_0 x + v_0 y)} e^{-jk_z(z-d)}\end{aligned}\quad (3.129)$$

นำไปได้เงื่อนไขของสมการ (3.128) จะได้อลิเมนต์แมตริกซ์ของสัมประสิทธิ์การกระเจิง ดังนี้

$$\begin{aligned}S_{\theta\theta} &= \left[ \frac{\cos \phi_0 E_x^q + \sin \phi_0 E_y^q}{\cos \theta_0} \right] e^{jk_z d} \\ S_{\phi\phi} &= \left[ \sin \phi_0 E_x^q - \cos \phi_0 E_y^q \right] e^{jk_z d}\end{aligned}\quad (3.130)$$

### 3.7.2.3 สัมประสิทธิ์การสะท้อนรวม

สัมประสิทธิ์รวมในทิศการสะท้อนหาได้จากผลรวมระหว่างสัมประสิทธิ์การสะท้อนเนื่องจากแผ่นไอดิลีสก์ทริกกราวด์และสัมประสิทธิ์การกระเจิงที่ผิวแผ่นสะท้อน

$$\bar{\bar{R}}^{tot} = \bar{\bar{R}} + \bar{\bar{S}} = \begin{bmatrix} R_{\theta\theta} & 0 \\ 0 & R_{\phi\phi} \end{bmatrix} + \begin{bmatrix} S_{\theta\theta} & S_{\theta\phi} \\ S_{\phi\theta} & S_{\phi\phi} \end{bmatrix} \quad (3.131)$$

ถ้าไม่มีการสัญเสียงภายในไดอิเล็กตริก จะได้  $|R|=1, |R+S|=1$  และ  $0 \leq |S| \leq 2$  โดยที่  $S$  มีขนาดเท่ากับ 2 ที่ความถี่เรโซแนนซ์ และมีเฟสแตกต่างจาก  $R$  เท่ากับ  $180^\circ$

### 3.8 สรุป

การออกแบบแผ่นสะท้อนของสายอากาศแควร์ดับสะท้อนในโครงสร้างป้องกันการจัดไฟฟ้าของสัญญาณให้เกิดคุณลักษณะเดียวกันผิวโคลงของสายอากาศตัวสะท้อนพาราโบลิกที่มีการป้องกันสัญญาณเข้าที่ด้านหลังตัวสะท้อน จะใช้วิเคราะห์ทางการประวิงไฟฟ้าเนื่องจากลักษณะที่แตกต่างกันทางเรขาคณิตของสายอากาศแควร์ดับสะท้อนกับสายอากาศตัวสะท้อนพาราโบลิก ดังสมการ (3.18) แล้วเปรียบเทียบกับกราฟความสัมพันธ์ระหว่างไฟฟ้าของ  $\bar{R}_i^{tot}$  และขนาดของแผ่นสะท้อนในโครงสร้างป้องกันสัญญาณที่ใช้วิเคราะห์ด้วยหลักการแควร์ดับอนันต์ (Infinite Array) โดยใช้ระเบียบวิธีโนเมนต์

## บทที่ 4

### การออกแบบสายอากาศแคลดับสะท้อนแบบไมโครสตริป

#### 4.1 บทนำ

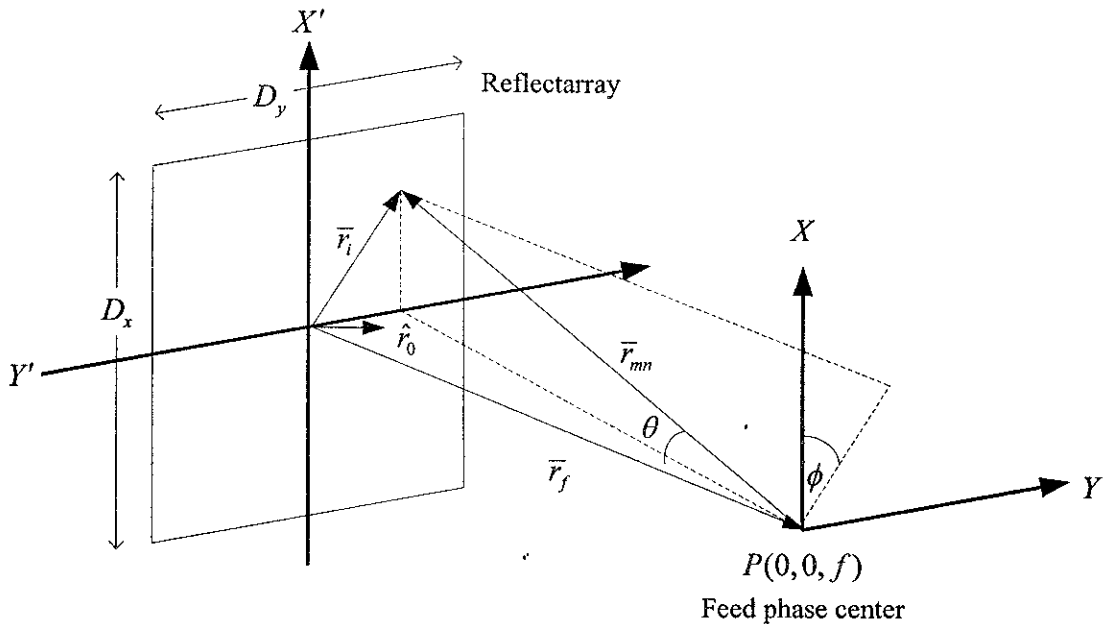
ในบทนี้จะนำเสนองานวิจัยการออกแบบสายอากาศแคลดับสะท้อนแบบมีจำนวนแผ่นสะท้อนจำกัดโดยใช้การวิเคราะห์สนามกระเจิงจากแคลดับของแผ่นสะท้อนแบบไม่จำกัดหรือแบบอนันต์ที่ผู้วิจัยได้ดำเนินการวิจัย เช่น การศึกษาแบบรูปการແกร์กำลังงานของสายอากาศปื้อนและสนามตผลกระทบบนแคลดับสะท้อน การศึกษาการหาระยะห่างระหว่างแผ่นสะท้อน การศึกษาการประวิงเฟสของสายอากาศแคลดับสะท้อน การวัดสัมประสิทธิ์การสะท้อน การศึกษาความสัมพันธ์ระหว่างเฟสสะท้อนกับขนาดของแผ่นสะท้อน และการศึกษาแบบรูปการແกร์กำลังงานของสายอากาศแคลดับสะท้อนสะท้อน

#### 4.2 การศึกษาแบบรูปการແกร์กำลังงานของสายอากาศปื้อนและสนามตผลกระทบบนแคลดับสะท้อน

จากการศึกษาการออกแบบสายอากาศแคลดับสะท้อนที่ผ่านมาพบว่า สายอากาศปื้อนที่นิยมนำมาใช้ในสายอากาศตัวสะท้อนคือ สายอากาศปากแต่ปีรามิด ดังนั้นงานวิจัยนี้จึงเน้นที่จะศึกษาสายอากาศปื้อนแบบปากแต่ปีรามิดมาตรฐาน ความถี่  $10 \text{ GHz}$  รูปที่ 4.1 แสดงรูปทรงเรขาคณิตของสายอากาศแคลดับสะท้อน โดยมีตัวปื้อนแบบสายอากาศปากแต่ปีรามิดวางในแนวแกน  $z$  ที่จุด  $P(0,0,f)$  ทำหน้าที่แบ่งการกระจายสนามไปยังแคลดับสะท้อนแบบไมโครสตริปขนาด  $D_x \times D_y$  โดยฐาน  $E-plane$  ของตัวปื้อนวางในระนาบ  $x,z$

การเลือกอัตราส่วน  $f/D$  ที่ดีที่สุดสำหรับสายอากาศแคลดับสะท้อน จะต้องพิจารณาจากหลายตัวแปร ถ้าเลือกให้  $f/D$  มีค่ามาก จะทำให้ระนาบหน้าคลื่นทรงกลมตผลกระทบครอบคลุมพื้นที่ผิวของสายอากาศแคลดับสะท้อน และทำให้โพลาไรซ์ไขว้มีค่าต่ำสุด แต่มีข้อเสียคือจะทำให้เกิดการสูญเสียจากการลื้น นอกจากนั้นยังเกิดการผิดรูปของแบบรูปการແกร์ระยะกำลังงาน เนื่องจากการบล็อกอะเพอร์เจอร์ของตัวปื้อนค่วย ถ้าเลือกให้  $f/D$  มีค่าน้อย การบล็อกอะเพอร์เจอร์ของตัวปื้อนจะลดลง แต่จะเกิดปัญหาการแมตช์อะเพอร์เจอร์ ดังนั้นในงานวิจัยนี้จึงเลือกใช้  $f/D$  ให้อยู่ในช่วง  $0.75$  ถึง  $1.25$  ซึ่งถือว่าเป็นค่าที่เหมาะสมที่สุด

การออกแบบสายอากาศแคลดับสะท้อนในงานวิจัยนี้เลือกใช้  $f/D_x = 0.866$  โดยที่  $D_x = 0.30 \text{ m}$  และ  $D_y = 0.30 \text{ m}$  ซึ่งจะทำให้มีมุนตผลกระทบสูงสุดในระนาบ  $x,z$  และ  $y,z$  เท่ากับ  $30^\circ$



รูปที่ 4.1 รูปทรงเรขาคณิตของสายอากาศแอลว์ดับสหัสท้อน

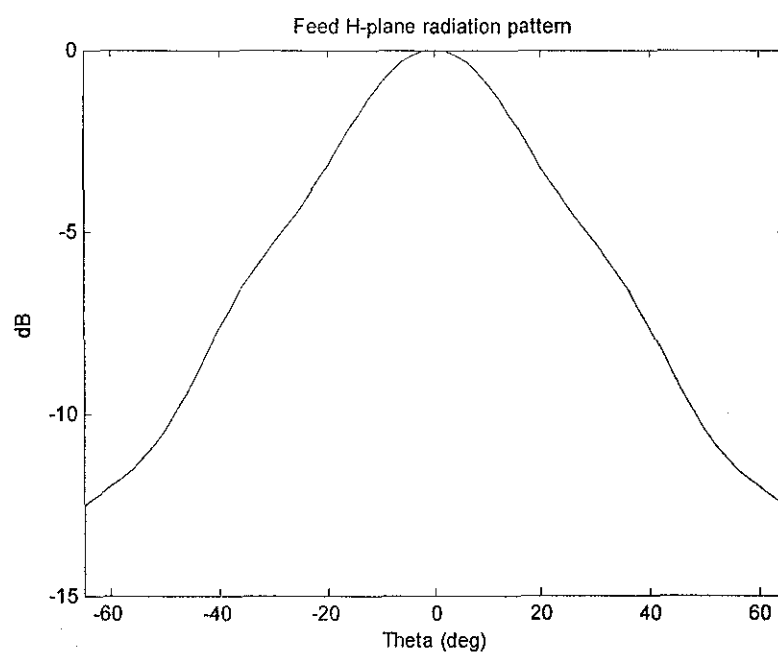
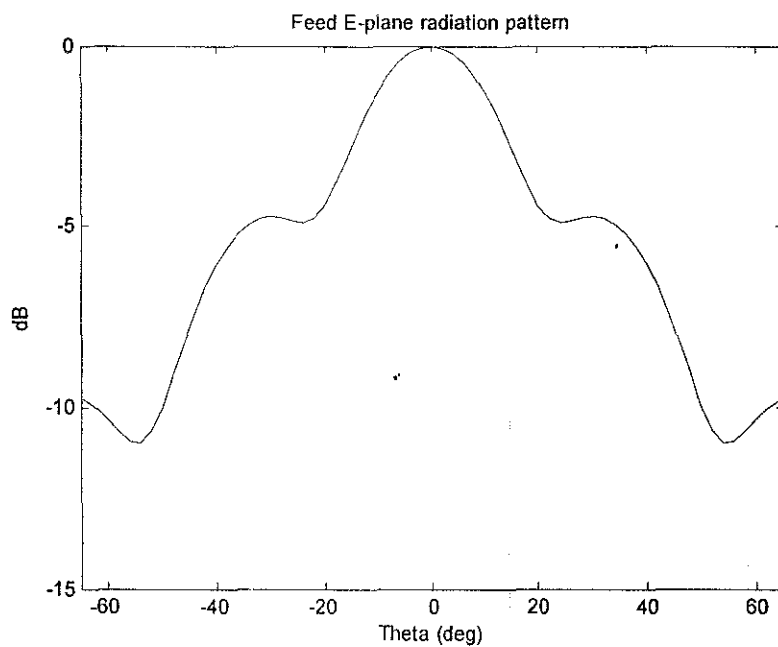
แบบรูปการແຜ່ກຳລັງຈານຂອງຕົວປຶ້ອນດ້ວຍສາຍອາກາສປາກແຕຣແບນປິຣາມີດ ດັ່ງແສດງໃນ [53] ອີ່ອ

$$\begin{aligned} E_\theta &= j \frac{k_0 E_0 e^{-jk_0 r}}{4\pi r} \sin \phi |F(\theta, \phi)| e^{j\psi(\theta, \phi)} \\ E_\phi &= j \frac{k_0 E_0 e^{-jk_0 r}}{4\pi r} \cos \phi |F(\theta, \phi)| e^{j\psi(\theta, \phi)} \end{aligned} \quad (4.1)$$

ໂຄຂສາມກາ (4.1) ມີຕົວແປຣທີ່ຕ້ອງພິຈາຮາມເຄື່ອງ  $|F(\theta, \phi)|$  ແລະ  $\psi(\theta, \phi)$  ໃນທອນຂອງອິນທີກັລິ ເຟຣສເນລ (Fresnel Integral) ໂຄໃຫ້ນແລະ ໄໃນໜໍຕາມລຳດັບ ແລະ ຕົວປຶ້ອນປິຣາມີດນີ້ຈະຖຸກອອກແບນໃຫ້ສານາມ ຖກກະທບບນແລວລຳດັບສະຫຼອນສູງທີ່ສຸດ ໂຄຍພິຈາຮາມຈາກຮະດັບພູ້ຂ້າງ ວັດຮາຍຍາຍ ແລະ ທາງສູງເຊີຍຈາກ ກາຣລິນ (Spillover Loss) ສໍາຮັບການປັບຕົວແນ່ນການປຶ້ອນຈະພິຈາຮາມຈາກທຸນຖືຂອງແບນຮູປກາຣແຜ່ ກຳລັງຈານໃນຮະນານ  $E-plane$  ແລະ  $H-plane$  ດັ່ງແສດງໃນຮູບທີ່ 3.22 ໂຄຍກາຣອອກແບນໃນງານວິຊັ້ນ໌ ຈະກຳຫົວດີໃຫ້ບົຣເວນຂອບຂອງແລວລຳດັບສະຫຼອນມີຄລິນຕົກກະທບນ 4.773 dB ສໍາຮັບຮະນານ  $E-plane$  ( $\theta = 30^\circ$ ) ແລະ 5.33 dB ສໍາຮັບຮະນານ  $H-plane$  ( $\theta = 30^\circ$ )

ສໍາຮັບຕົວແປຣ  $\psi(\theta, \phi)$  ຈຶ່ງເປັນຕົວແປຣເຟທີ່ອະເພອຣເຈອຣປິຣາມີດ ສາມາດພິຈາຮາມແຍກອີສະຮະ ສໍາຮັບຈຸດຂ້າງອີງເຟສ  $\theta$  ແລະ  $\phi$  ໄດ້ ໂຄຍຈຸດເຟສຂ້າງອີງທີ່ຈຸດກິ່ງກາລາງແລວລຳດັບສະຫຼອນ ຈະທຳໄຫ້ເກີດສານາມ ແຜ່ກະຈາຍໄປທີ່ໄກສ້າ ນ້າກຄລິນທຽບກົມ ເນື່ອຈາກເຟສດ້ານໜ້າທີ່ແຕກຕ່າງກັນຮ່ວ່າງຮະນານ  $E-plane$  ກັບ  $H-plane$  ຈະທຳໄຫ້ມີສູນຍົກລາງເຟສທີ່ແຕກຕ່າງກັນສອງຮະນານ ແລະ ສູນຍົກລາງເຟສຂອງ ຮະນານ  $E-plane$  ກັບ  $H-plane$  ຫາໄດ້ຈາກ  $\psi(\theta, \phi)$  ທີ່ຕຳແໜ່ງຈາກອະເພອຣເຈອຣປິຣາມີດໄປຢັງ Horn

และตำแหน่งตัวป้อนมีระยะไฟกัสเท่ากับ 25 เซนติเมตร และเรามาเป็นต้องพิจารณาระยะทางที่คลื่นตกกระหบจากหน้าคัลล์ทรงกลมไปยังแควลำดับสะท้อน ดังรูปที่ 4.2 โดยมีเฟสสูนย์กลางที่ 10 GHz และ



รูปที่ 4.2 แบบรูปการแผ่กระจายกำลังงานของตัวป้อนปริมิด

สมมติกรรมทบทวนในแนวสัมผัสของแคลคูลัสที่อนจะอยู่ในแนวแกน  $x$  และแกน  $y$  เราสามารถแสดงเฉพาะสมมติไฟฟ้าในองค์ประกอบของ  $x$  และมีรูปแบบโพลาไรซ์แบบโหนด TM โดยมี มุมตัดกรรมทบทวน  $(\theta_0, \phi_0) = (\theta_i, 0)$  จะได้สมมติกรรมทบทวนอิริยาบถไลซ์ของแผ่นสะท้อน  $i$  ได้ฯ โดยเปรียบเทียบกับสมมติอิเล็กทรอนิกส์กลางแคลคูลัสที่อน

$$\bar{E}_i^{inc} = \frac{|\bar{r}_f|}{|\bar{r}_i - \bar{r}_f|} \frac{F(\theta_i, \phi_i)}{F(\theta = 0, \phi = 0)} e^{-jk_0(|\bar{r}_i| - |\bar{r}_f|)} \cdot [\cos \phi \hat{a}_\theta + \sin \phi \hat{a}_\phi] \quad (4.2)$$

โดยที่  $\bar{r}_i$  เป็นเวกเตอร์ตำแหน่งของแผ่นสะท้อนไดๆ และ  $\bar{r}_f$  เป็นเวกเตอร์ตำแหน่งอ้างอิง ซึ่งคิดเพื่อ ณ ศูนย์กลางตัวป้อน

#### 4.3 การศึกษาการหาระยะห่างระหว่างแผ่นสะท้อน (Grid Spacing Determination)

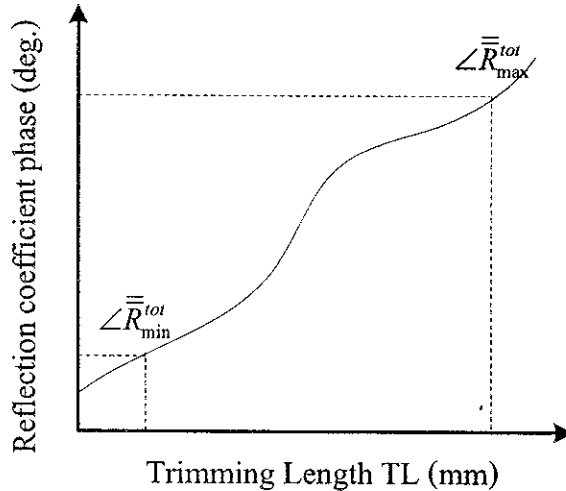
จากรูปที่ 3.13  $a$  และ  $b$  เป็นระยะห่างระหว่างแผ่นสะท้อนในแนวแกน  $x$  และ  $y$  ตามลำดับ และ  $L$  เป็นขนาดแผ่นสะท้อน ซึ่ง  $a$   $b$   $L$  ชนิดของแผ่นสะท้อน และมุมตัดกรรมของสายอากาศ แคลคูลัสที่อน เป็นพารามิเตอร์ในการควบคุม Grating Lobes ถ้าระยะห่างระหว่างแผ่นสะท้อนมีค่า สูงจะช่วยให้เกิด Grating Lobes ได้ และค่า  $a$  และ  $b$  ที่เหมาะสมสำหรับสายอากาศแคลคูลัส สะท้อนต้องเป็นไปตามเงื่อนไขในสมการ (3.125)

$$\max\{a \text{ or } b\} = \frac{\lambda_0}{1 + \cos \theta_{0,max}} \quad (4.3)$$

โดยที่  $\theta_{0,max}$  เป็นมุมตัดกรรมสูงสุด ซึ่งอยู่บริเวณขอบสายอากาศแคลคูลัสที่อน แต่ในทางปฏิบัติ เพื่อหลีกเลี่ยงการสัมผัสน้ำหนักระหว่างแผ่นสะท้อน เราจะกำหนดให้ระยะห่างระหว่างแผ่นสะท้อนมีค่า มากกว่าขนาดแผ่นสะท้อน

$$\min\{a \text{ or } b\} = L \quad (4.4)$$

จากการจำลองแบบพบรู้ว่า ถ้าระยะห่างระหว่างแผ่นสะท้อนมีค่าน้อย จะทำให้ค่าเฟสของ สัมประสิทธิ์การสะท้อนรวมเป็นอิสระจากมุมตัดกรรม ดังนี้ในทางปฏิบัติเราจะออกแบบให้ค่า  $a$  และ  $b$  มีค่าน้อยที่สุดเท่าที่จะปรับได้ รูปที่ 4.3 แสดงความสัมพันธ์ระหว่างเฟสของสัมประสิทธิ์การ สะท้อนของแคลคูลัสบนนันต์กับการปรับขนาดแผ่นสะท้อน ซึ่งเราสามารถปรับให้เฟสของสัมประสิทธิ์ การสะท้อนอยู่ในช่วง  $-180^\circ$  ถึง  $180^\circ$

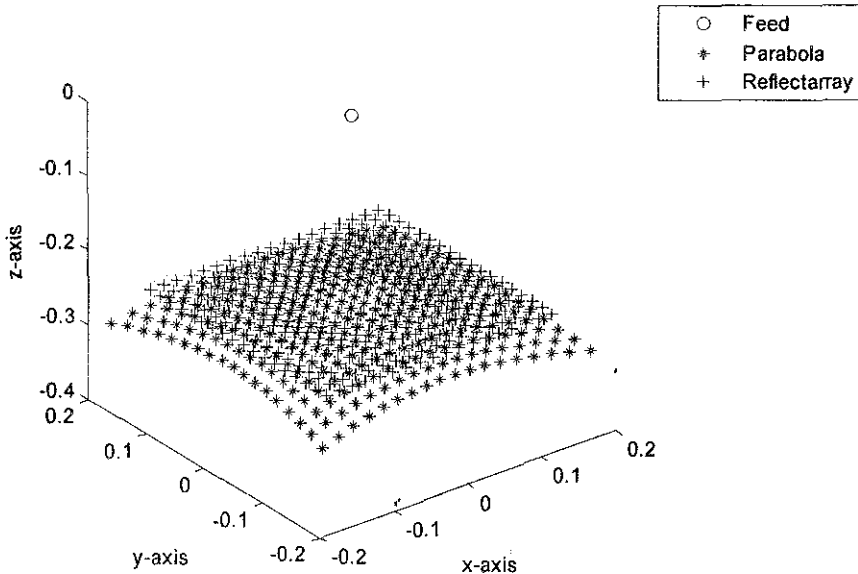


รูปที่ 4.3 ความสัมพันธ์ระหว่างเฟสของสัมประสิทธิ์การสะท้อนของแคร์ดบอนน์ต์ กับการปรับขนาดแผ่นสะท้อน

#### 4.4 การศึกษาการประวิงเฟสของสายอากาศแคร์ดบอนน์ต์

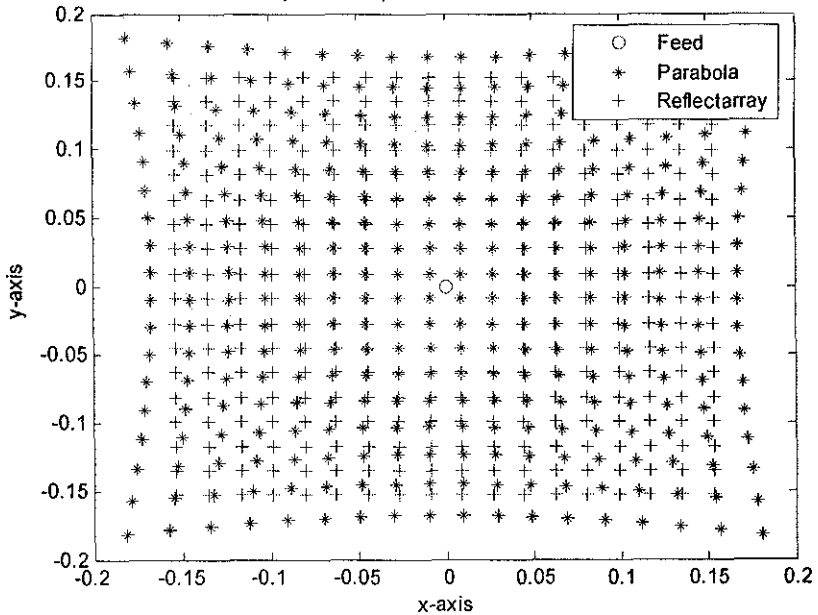
เมื่อแทนที่สายอากาศตัวสะท้อนพาราโบลิกด้วยสายอากาศแคร์ดบอนน์ต์แบบในโครงสร้าง จะทำให้คลื่นเกิดการประวิงเฟสนៅองจากคลื่นเดินทางจากตัวป้อนสัญญาณไปยังสายอากาศแคร์ดบอนน์ต์แล้วสะท้อนกลับไปยังสถานะระยะไกล การวิเคราะห์หาการประวิงเฟสจากรูปทรงเรขาคณิตของสายอากาศแคร์ดบอนน์ต์เปรียบเทียบกับสายอากาศตัวสะท้อนพาราโบลิกจะพิจารณาจากสมการ (3.11) ซึ่งค่าเฟสคงคลาวน์เป็นเฟสที่ต้องการนำไปทำการจัดเฟสแผ่นสะท้อนในสายอากาศแคร์ดบอนน์ต์ ให้มีคุณสมบัติเช่นเดียวกับตัวสะท้อนพาราโบลิก รูปที่ 4.4 แสดงตำแหน่งแผ่นสะท้อนเปรียบเทียบกับผิวสะท้อนของสายอากาศตัวสะท้อนพาราโบลิกในทิศทางคลื่นตกรอบเดียวกัน และรูปที่ 4.5 แสดงการประวิงเฟสของแผ่นสะท้อนไดๆ บนสายอากาศแคร์ดบอนน์ต์

Position of patch and parabola in incident field direction



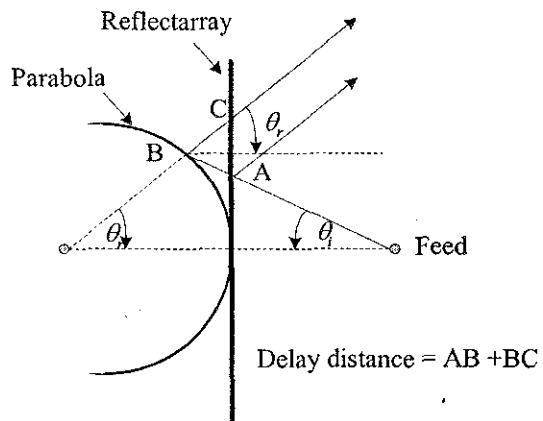
f).

Position of patch and parabola in directional incident field

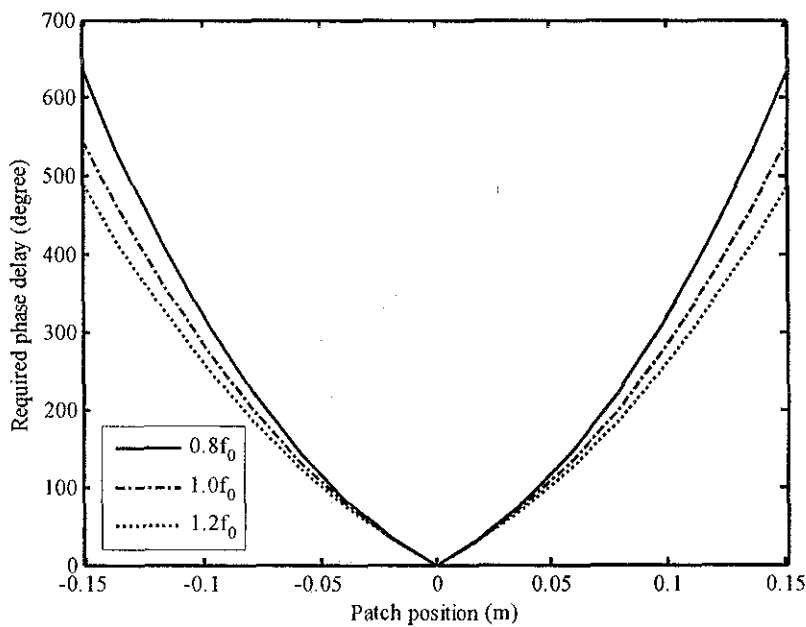


g).

รูปที่ 4.4 ตำแหน่งผังแผ่นสะท้อน



๗.



๘.

รูปที่ 4.5 การประวิงเฟสของแผ่นสะท้อนได้ฯ บนสายอากาศและลำดับสะท้อน

#### 4.5 การศึกษาการวัดสัมประสิทธิ์การสะท้อน (Reflection Coefficient)

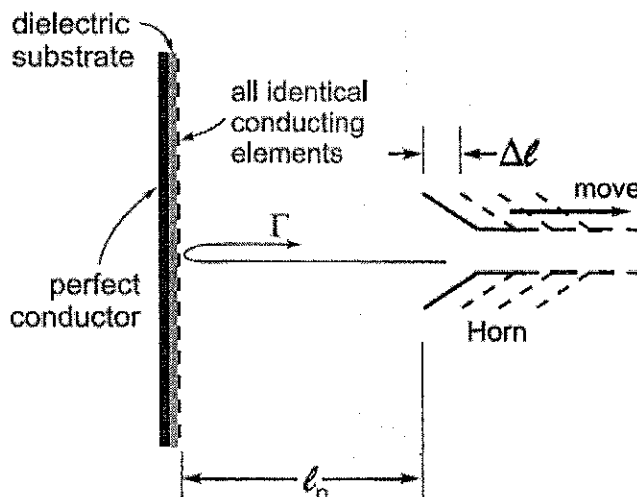
การพิจารณาแอมปลิจูดและเฟสของแผ่นสะท้อนบนสายอากาศและลำดับสะท้อน จะพิจารณาจาก  $R_i^{tot}$  ในสมการ (3.120) โดยเปรียบเทียบกับเฟสของสัมประสิทธิ์การสะท้อนของแผ่นสะท้อนซึ่งคำนวณได้จากหัวข้อ 4.4

$$\angle R_i^{tot} = -k_0(\rho_i + \rho_a) + \phi_i \quad (4.5)$$

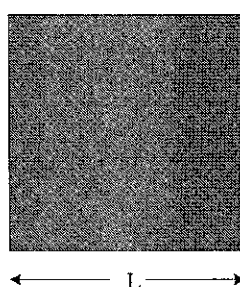
โดยที่  $\phi_i$  เป็นเฟสของคลื่นตកกระทบของแผ่นสะท้อนใดๆ ซึ่งสามารถหาได้จากสมการ (4.2) สำหรับความสัมพันธ์ระหว่างเฟสของ  $R_i^{tot}$  และขนาดของแผ่นสะท้อนในโครงสร้างประจำที่ด้วยหลักการ Infinite Array โดยใช้ระเบียบวิธีโนเมนต์ ซึ่งจะกล่าวถึงในหัวข้อ 4.6 แล้วนำร้าฟความสัมพันธ์ คังก์ล่ามวิเคราะห์ ออกแบบ และสร้างแผ่นสะท้อนจริง

ในหัวข้อนี้จะทดสอบสายอากาศแล้วลำดับสะท้อนโดยใช้แผ่นสะท้อนในโครงสร้างแบบสี่เหลี่ยมจตุรัส ที่มีขนาดแผ่นสะท้อนเท่ากันตลอดพื้นผิว เพื่อหาสัมประสิทธิ์การสะท้อนดังแสดงในรูป 4.6 และเนื่องจากแผ่นสะท้อนมีลักษณะสมมาตร เราจึงสมมุติให้องค์ประกอบของสัมประสิทธิ์การสะท้อนรวม  $R_{\theta\theta}^{tot} = R_{\phi\phi}^{tot} = 0$  และงานวิจัยนี้พิจารณาปัจจัยทางเรขาคณิตของสายอากาศแล้วลำดับสะท้อนแบบระบบพิกัดสมมาตร (Quadrant Symmetry) ทำให้  $\bar{R}^{tot}|_{\phi=0^\circ} = \bar{R}^{tot}|_{\phi=90^\circ}$  ดังนั้นเราสามารถหาสัมประสิทธิ์การสะท้อนรวมได้จาก

$$\bar{R}^{tot} = R_{\theta\theta}^{tot} = R_{\phi\phi}^{tot} \quad (4.6)$$



รูปที่ 4.6 แสดงการวัดสัมประสิทธิ์การสะท้อนสำหรับสายอากาศแล้วลำดับสะท้อน



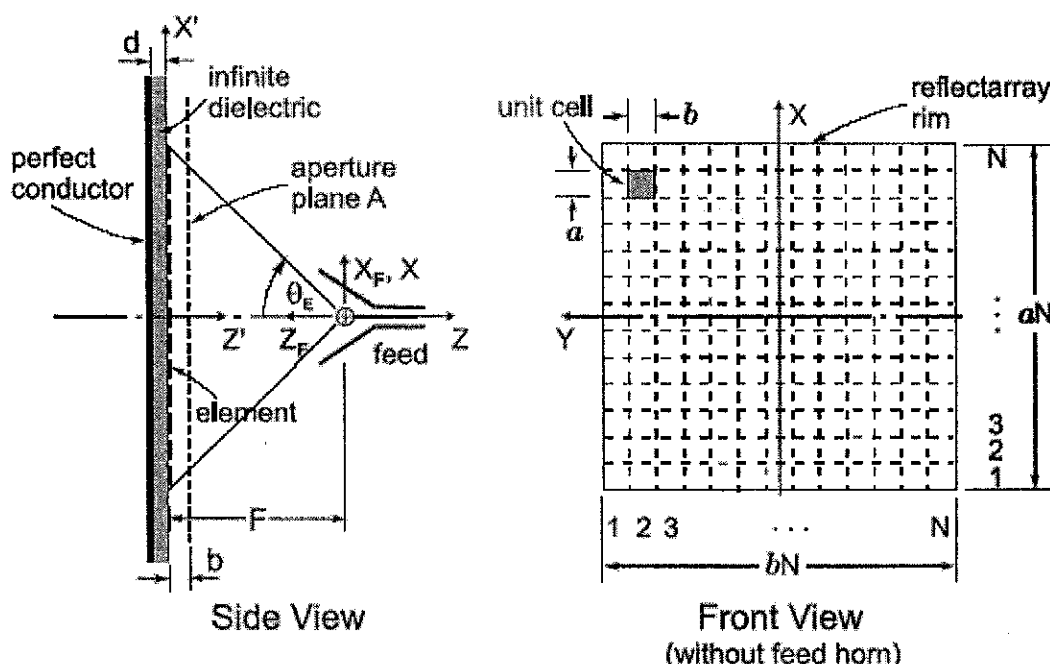
รูปที่ 4.7 แผ่นสะท้อนแบบสี่เหลี่ยมจตุรัส

เทคนิคการวัดหาสัมประสิทธิ์การสะท้อนจะใช้การปรับหาระยะไฟกัสที่เหมาะสมเพื่อให้คลื่นที่แผ่开来ถังงานจากสายอากาศป้อนไปบังแควลำดับสะท้อนแล้วสะท้อนกลับไปบังสนามระยะไกลมีกำลังงานสูงสุด โดยเริ่มวงสายอากาศป้อนที่ระยะห่างจากพื้นผิวของสายอากาศแควลำดับสะท้อนเท่ากับ  $\ell_0$  และใช้ Network Analyzer วัดหาสัมประสิทธิ์การสะท้อน ( $S_{11}$ ) ของสายอากาศป้อน จากนั้นจึงปรับระยะไฟกัส

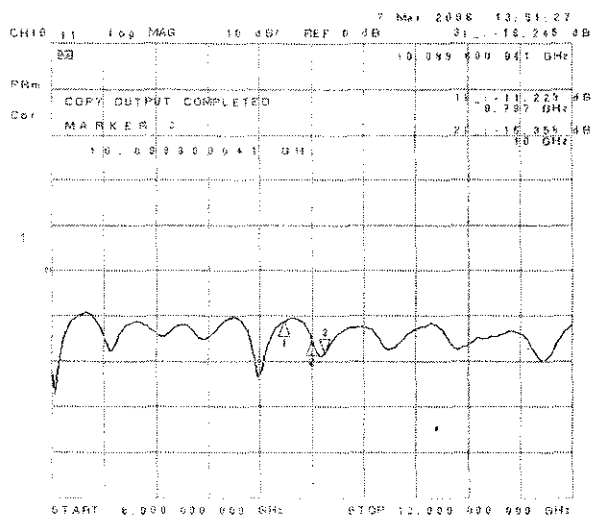
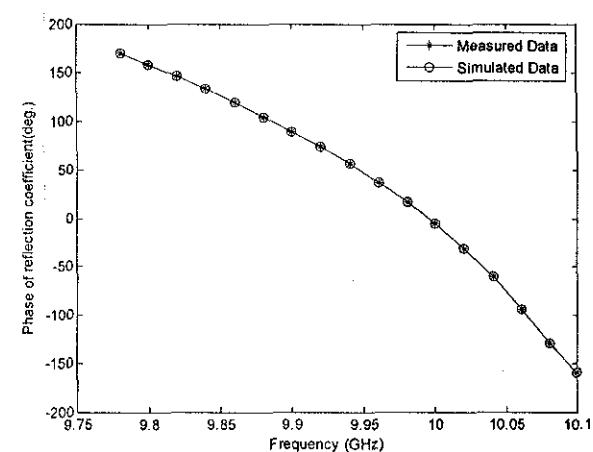
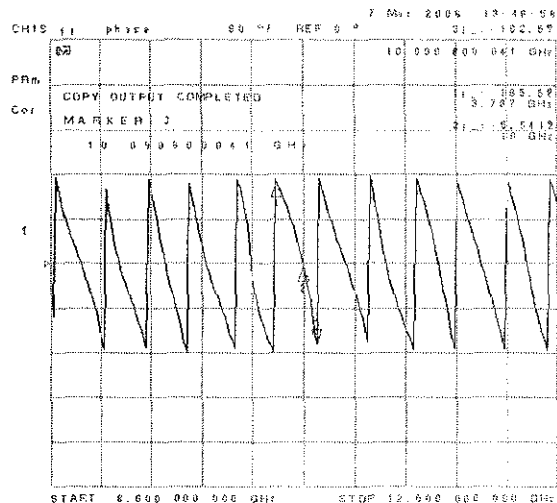
$$\ell_n = \ell_0 + n\Delta\ell \quad (4.7)$$

โดยที่  $n$  เป็นจำนวนเต็มบวก สำหรับวิธีการทดสอบเรามากำหนดให้  $\Delta\ell = 1\text{ mm}$  และ  $\ell_0 = 25\text{ cm}$  โดยแทนที่สายอากาศแควลำดับสะท้อนด้วยแผ่นในโครงสร้างซึ่งมีผิวสัมผัสต่อเนื่องตลอดแผ่นขนาด  $30 \times 30\text{ cm}^2$  ดังนี้สัมประสิทธิ์การสะท้อนจึงมีค่าเท่ากับ -1 ซึ่งเป็นสัมประสิทธิ์การสะท้อนของตัวนำสมบูรณ์

รูปที่ 4.9 แสดงสัมประสิทธิ์การสะท้อนของสายอากาศแควลำดับสะท้อนขนาด  $30 \times 30\text{ cm}^2$  โดยออกแบบแผ่นสะท้อนไม่โครงสร้างแบบสี่เหลี่ยมจัตุรัสที่มีความหนา  $d = 0.787\text{ mm}$  ค่าสภาพย้อมไฟฟ้าสัมพัทธ์  $\varepsilon_r = 2.33$  และมีระยะห่างระหว่างแผ่นสะท้อน  $0.6\lambda_0$  ซึ่งแผ่นสะท้อนดังกล่าวมีความถี่เรโซนันซ์ 10 GHz



รูปที่ 4.8 รูปเรขาคณิตของสายอากาศแควลำดับสะท้อนสำหรับการจำลองแบบ

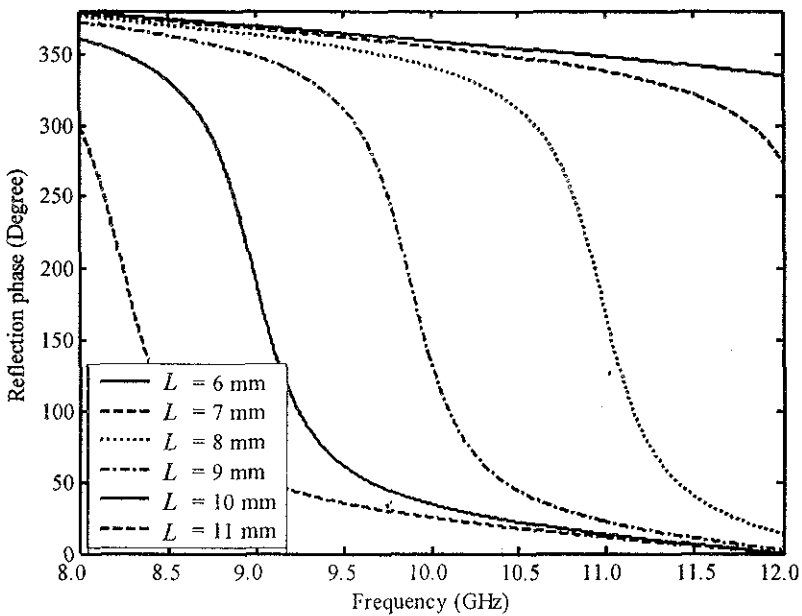
(n)  $|S_{11}|$ 

(p) Phase

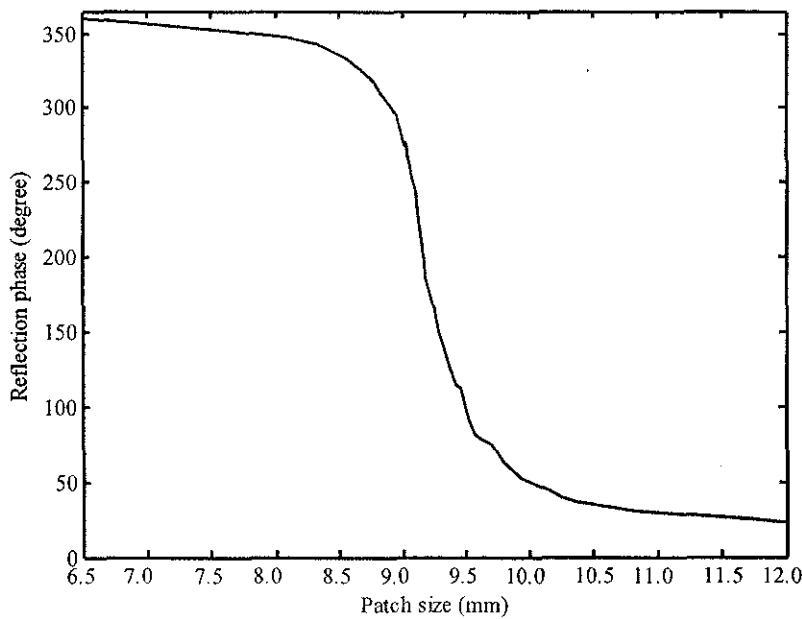
รูปที่ 4.9 สัมประสิทธิ์การสะท้อนของสายอากาศแล้วลำดับสะท้อนที่มีแผ่นสะท้อนขนาดเท่ากัน

#### 4.6 การศึกษาความสัมพันธ์ระหว่างเฟลสะท้อนกับขนาดของแผ่นสะท้อน

รูปที่ 4.9 ข แสดงเฟลของสัมประสิทธิ์การสะท้อนรวม  $\bar{R}^{tot}$  ของแผ่นสะท้อนใดๆ จะเปลี่ยนแปลงตามความถี่ สำหรับหัวข้อนี้เราจะใช้ระเบียบวิธีโมเมนต์วิเคราะห์หาเฟลของสัมประสิทธิ์การสะท้อนรวมของแผ่นสะท้อนในรูปที่ 4.7 โดยการเปลี่ยนขนาดแผ่นสะท้อน ผลการจำลองแบบแสดง ดังรูปที่ 4.10 และ 4.11 พนวณแผ่นสะท้อนมีความถี่เรโซแนนซ์ 10 GHz เมื่อ  $\Delta L = 0$  ทำให้เฟลของสัมประสิทธิ์การสะท้อน  $\bar{R}^{tot} = 0^\circ$  และเฟลเมื่อการเปลี่ยนแปลงอย่างรวดเร็วเมื่อปรับขนาดแผ่นสะท้อน เพียงเล็กน้อย นอกจานนี้ยังพบว่าเฟลไม่ครบ  $360^\circ$  โดยไม่สามารถหาค่าเฟลช่วงใกล้ๆ  $-180^\circ$  และ  $180^\circ$  ได้



รูปที่ 4.10 ความสัมพันธ์ระหว่างเฟสของสัมประสิทธิ์การสะท้อนรวมกับความถี่



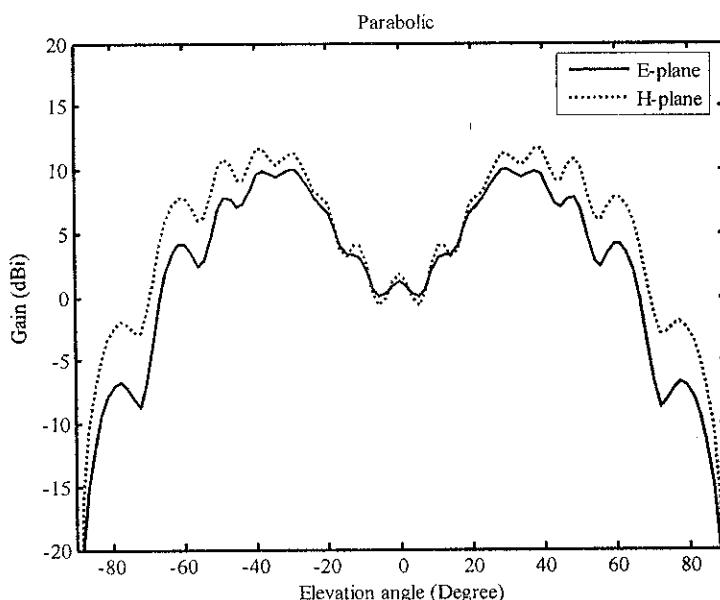
รูปที่ 4.11 ความสัมพันธ์ระหว่างเฟสของสัมประสิทธิ์การสะท้อนรวม กับขนาดแผ่นสะท้อน ณ ความถี่ 10 GHz

#### 4.7 การศึกษาแบบรูปการแพ้กำลังงานของสายอากาศแคลว์คัมระดับสะท้อน

แบบรูปการแพ้กำลังงานของสายอากาศแคลว์คัมระดับสะท้อนหาได้จากผลรวมระหว่างสนามกระแสเจิงและสนามสะท้อนจากแหล่งกำลังแพ่นะสะท้อน โดยสมมติให้สนามมีการกระจายตนแบบล้ำคัมระดับสะท้อนจำกัด ซึ่งคล้ายกับหลักการของ Huygens Source โดยมีสัมประสิทธิ์การสะท้อนสมมูลกับสัมประสิทธิ์การสะท้อนรวมของแหล่งกำลังอนันต์ จะได้สนามระยะไกลสำหรับสายอากาศแคลว์คัมระดับสะท้อนดังนี้

$$\bar{E}_{Ra}(\theta, \phi) = \frac{e^{-jk_0 r}}{r} \sum_{i=1}^N \bar{\bar{R}}_i^{tot} \bar{E}_i^{inc} e^{jk_0 \bar{r}_i \hat{a}_r} \quad (4.8)$$

ถ้าสนามตผลกระทบมีการโพลาไรซ์เดี่ยว เราจะสามารถครุปเมตริกซ์สัมประสิทธิ์การสะท้อนและสนามตผลกระทบได้เป็น  $R_i^{tot}$  และ  $E_i^{inc}$  ตามล้ำคัม



รูปที่ 4.12 ผลการจำลองแบบรูปการแพ้กำลังงานของสายอากาศแคลว์คัมระดับสะท้อน

#### 4.8 สรุป

ในบทนี้ได้นำเสนอการออกแบบและการจำลองแบบรูปการแพ้กำลังงานของสายอากาศแคลว์คัมระดับสะท้อนก่อนการสร้างสายอากาศจริง โดยการศึกษาแบบรูปการแพ้กำลังงานของสายอากาศป้อนและสนามตผลกระทบบนแคลว์คัมระดับสะท้อน การศึกษาการหาระยะห่างระหว่างแพ่นะสะท้อน การศึกษาการประวิงเฟสของสายอากาศแคลว์คัมระดับสะท้อน การวัดสัมประสิทธิ์การสะท้อน การศึกษาความสัมพันธ์ระหว่างเฟสสะท้อนกับขนาดของแพ่นะสะท้อน และการศึกษาแบบรูปการแพ้กำลังงานของสายอากาศแคลว์คัมระดับสะท้อน

## บทที่ 5

### ผลการวัดทดสอบ

#### 5.1 บทนำ

ในบทนี้จะเป็นการนำทฤษฎีและหลักการทั่วไปในบทที่ผ่านมาช่วยในการออกแบบและวิเคราะห์คุณลักษณะที่สำคัญของสายอากาศ ในโครงสร้างสายอากาศที่นำเสนอเป็นสายอากาศแคลดับสะท้อนไมโครสตริปที่มีลำคลื่นแม่เหล็กกับพื้นโลก โดยจะอธิบายถึงวิธีการสร้างสายอากาศต้นแบบ จากนั้นนำสายอากาศต้นแบบมาวัดทดสอบคุณลักษณะ ได้แก่ แบบรูปการแผ่นลังงานทั้งในระนาบฐานไฟฟ้าและระนาบสนามแม่เหล็ก อัตราขยายของสายอากาศ ความกว้างลำคลื่นครึ่งกำลัง เป็นต้น และนำคุณลักษณะไปเปรียบเทียบกับผลเฉลยที่ได้จากการจำลองผลด้วยระบบเบียนวิธีโมเมนต์

#### 5.2 วิธีการสร้างสายอากาศต้นแบบ

ในงานวิจัยฉบับนี้ได้เลือกใช้พังก์ชันแบบพาราโบลิกในการนำมาสร้างสายอากาศต้นแบบ โดยใช้แผ่นไมโครสตริปปีห้อ Taconic TLY-3 ซึ่งมีความหนา 0.787 มิลลิเมตร และมีค่าสภภาพยอน  $\epsilon_r = 2.33$  และสายอากาศแคลดับสะท้อนถูกออกแบบให้มีแผ่นสะท้อนไมโครสตริปขนาดแตกต่างกันจำนวน 289 แผ่น วางห่างกัน  $0.6\lambda_0$  และค่าปัจจัยต่างๆ ของระบบสายอากาศเป็นดังนี้

1) ความถี่ปฏิบัติการ 10 GHz

2) สายอากาศป้อนกำลังคลื่นเป็นสายอากาศปากแตรทรงพีระมิดซึ่งมีลักษณะทางกายภาพเป็นดังต่อไปนี้  $\rho_1 = \rho_2 = 2.3\lambda$  (6.9 cm),  $a_1 = 1.5\lambda$  (4.5 cm),  $b_1 = 1.6\lambda$  (4.8 cm),  $a = 0.76\lambda$  (2.28 cm) และ  $b = 0.34\lambda$  (1.02 cm)

3) สายอากาศแคลดับสะท้อนมีเส้นผ่าศูนย์กลาง 30 เซนติเมตร

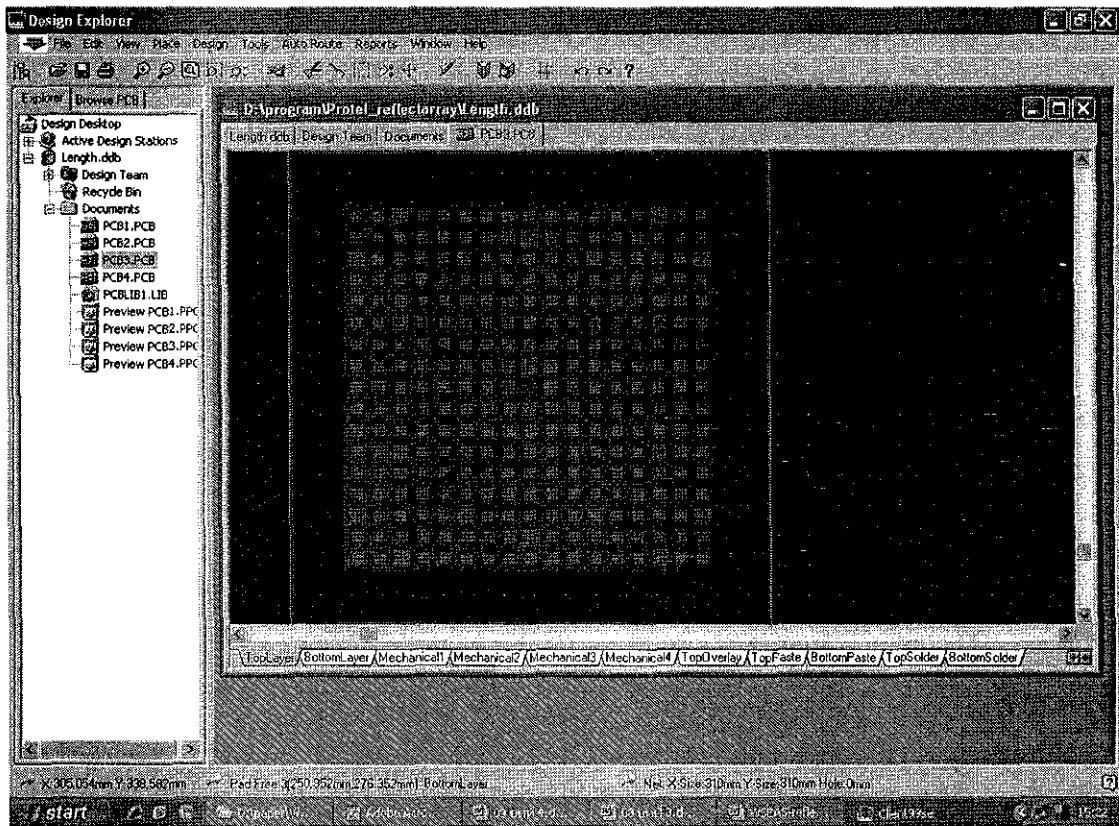
4) ระยะห่างระหว่างสายอากาศป้อนกับตัวสะท้อนเท่ากับ 25 เซนติเมตร

สำหรับขนาดแผ่นสะท้อนที่ความถี่เรโซแนนซ์พิจารณาได้จากสมการ (5.1) ดังนี้

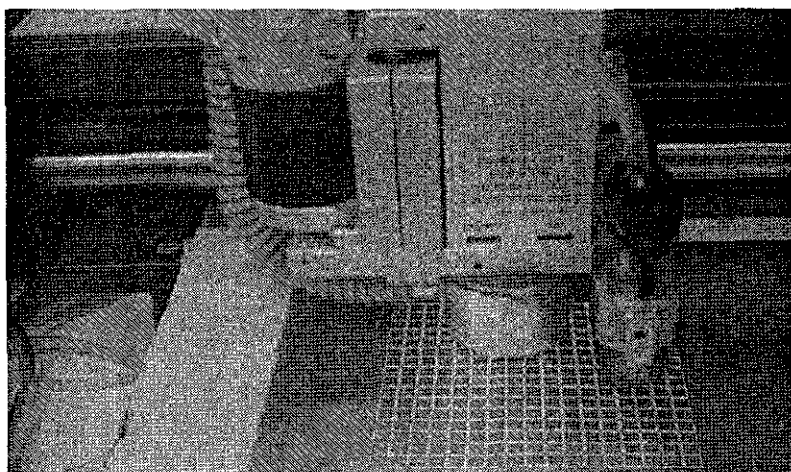
$$L_0 = \frac{c}{2f_0} \sqrt{\frac{2}{\epsilon_r + 1}} \quad (5.1)$$

แต่การสร้างสายอากาศแคลดับสะท้อนนั้นจะใช้การเปรียบเทียบการประวิงเฟสในรูป 4.5x กับเฟสสะท้อนในรูป 4.10 ดังนั้นจึงทำให้เราทราบขนาดที่แท้จริงเพื่อนำมาออกแบบสายอากาศตั้งกล่าว และเรา

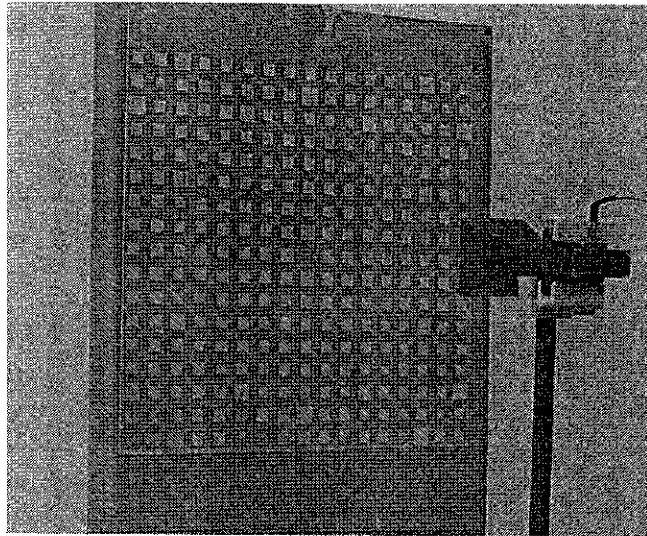
สามารถออกแบบบอร์จสื่อสารต้นของสายอากาศแล้วลำดับลงทะเบียนโดยใช้โปรแกรม Potel99 ได้ดังแสดงในรูปที่ 5.1 และใช้เครื่อง PCB Prototype Machine ในรูปที่ 5.2 เพื่อสร้างสายอากาศต้นแบบ



รูปที่ 5.1 การออกแบบสายอากาศแล้วลำดับลงทะเบียนโดยใช้โปรแกรม Potel99



รูปที่ 5.2 PCB Prototype Machine



รูปที่ 5.3 สายอากาศแอลดับบล์ท้อนตันแบบ

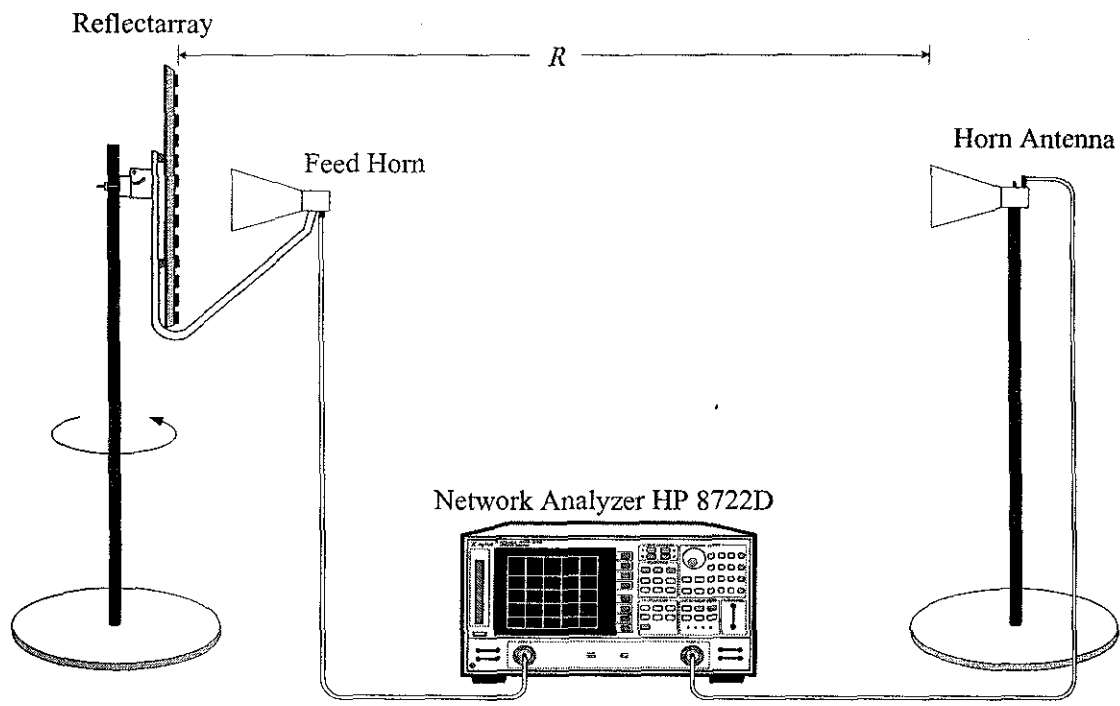
### 5.3 ผลการทดลองวัดแบบรูปการແຜ່ພລັງຈານຂອງສາຍາກາຕແກວລຳດັບສະຫຼອນ

แบบรูปการแพ้พลังงานนั้นได้ทดสอบในระบบสนามระยะไกล คือ  $R \geq 2D^2 / \lambda$  เมื่อ  $R$  คือ  
ระยะห่างระหว่างสายอากาศทดสอบ และสายอากาศอ้างอิง ในการทดสอบนี้ระยะทางมีค่าคงที่ที่  
ความถี่ 10 GHz เท่ากับ 6 เมตร และ  $D$  คือ เส้นผ่าศูนย์กลางของตัวสะท้อนมีค่าเท่ากับ 30 เซนติเมตร  
ซึ่งในที่นี้ได้ใช้สายอากาศปากแตรทรงพิรัมิดที่ความถี่ 10 GHz เป็นสายอากาศอ้างอิงทำหน้าที่เป็น  
สายอากาศส่ง และสายอากาศที่นำมาทดสอบจะมีการหมุนรับคลื่นจาก 0 องศา ถึง 360 องศา ดังรูปที่ 5.4  
ซึ่งจะทำให้ได้แบบรูปการแพ้พลังงานของสายอากาศตัวสะท้อนในระบบสนามไฟฟ้า และระบบ  
สนามแม่เหล็กดังรูปที่ 5.5 โดยแบบรูปการแพ้พลังงานนี้จะแสดงในรูปของอัตราการขยาย ดังสมการ  
พื้นฐาน (Friis Transmission Equation)

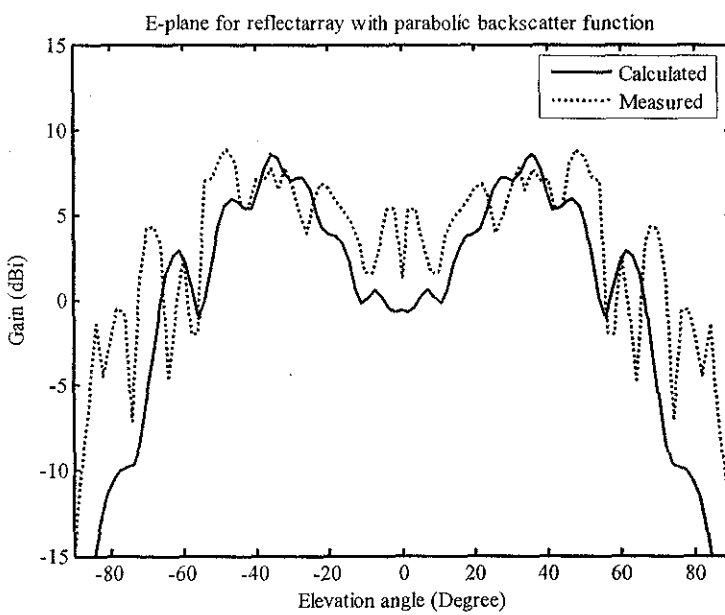
$$\frac{P_r}{P_t} = \left( \frac{\lambda}{4\pi R} \right)^2 G_t G_r \quad (5.2)$$

เมื่อ  $P_r$  คือ กำลังงานอินพุตที่ป้อนให้สายอากาศส่ง  $G_s$  คือ อัตราขยายของสายอากาศส่ง  $P_r$  คือ กำลังงานเอาต์พุตของสายอากาศรับ  $G_r$  คือ อัตราขยายของสายอากาศรับ เมื่อนำไปหารอัตราขยายของสายอากาศรับในหน่วย dB ได้ดังนี้

$$G_{r,dB} = 20 \log_{10} \left( \frac{4\pi R}{\lambda} \right) + 10 \log_{10} \left( \frac{P_r}{P_t} \right) - G_{t,dB} \quad (5.3)$$

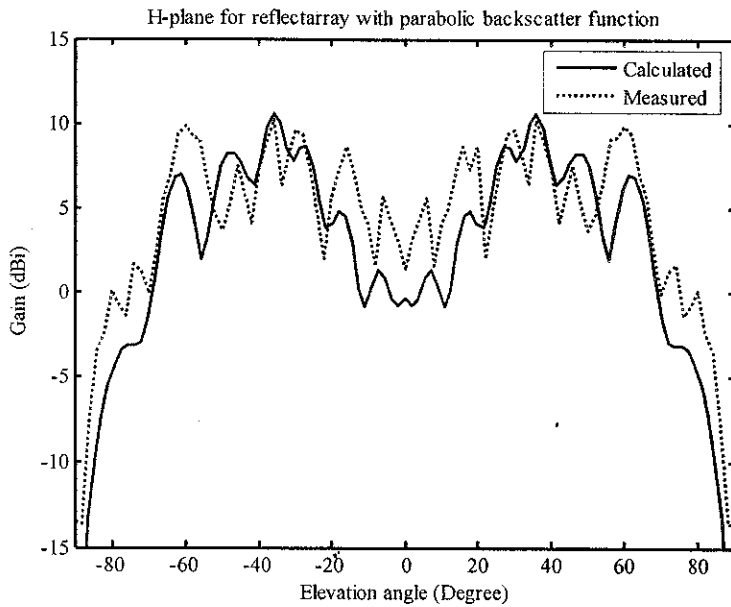


รูปที่ 5.4 วิธีการวัดทดสอบแบบรุปการแพ้พลังงาน



(ก) ระบบสนับสนุนไฟฟ้า

รูปที่ 5.5 แบบรุปการแพ้พลังงานของสายอากาศแคลดับลั่น



(๗) ระนาบสนาณแม่เหล็ก

รูปที่ 5.5 แบบรูปการแผ่พลังงานของสายอากาศแผลดับสะท้อน (ต่อ)

ตารางที่ 5.1 คุณลักษณะของสายอากาศแผลดับสะท้อนไมโครสตริบ

คุณลักษณะของสายอากาศ	ผลการจำลองแบบ		ผลการวัดทดสอบ	
	ระนาบ สนาณไฟฟ้า	ระนาบ สนาณแม่เหล็ก	ระนาบ สนาณไฟฟ้า	ระนาบ สนาณแม่เหล็ก
ความกว้างลำคลื่นครึ่ง กำลัง (degree)	136.8	140.0	132	164
อัตราขยายสูงสุด (dB)	8.49	10.65	8.54	9.84

จากรูปที่ 5.5 เป็นการเปรียบเทียบกราฟระหว่างระเบียงวิชี ไมเมนต์กับวิธีวัดทดสอบ พนว่า แบบรูปการแผ่พลังงานมีความสอดคล้องกันทั้งในระนาบสนาณไฟฟ้าและสนาณแม่เหล็ก เมื่อพิจารณาการวัดทดสอบแบบรูปการแผ่พลังงาน ณ ตำแหน่ง  $-15^\circ < \theta < 15^\circ$  พนว่าอัตราขยายมีค่าต่ำกว่าผลการจำลองประมาณ 5 dB เนื่องจากตัวป้อนก็ขาดความการสะท้อนของคลื่นที่ออกจากสายอากาศตัวสะท้อน ทั้งนี้ขึ้นอยู่กับขนาดของเพอร์เจอร์ของตัวป้อน

## 5.4 สรุป

ในบทนี้เป็นการแสดงการออกแบบ การสร้าง และการวัดทดสอบสายอากาศ ทั้งนี้เพื่อพิจารณาเปรียบเทียบผลที่ได้จากการคำนวณและการวัดทดสอบว่ามีความสอดคล้องกันมากน้อยเพียงใด ซึ่งคุณลักษณะของสายอากาศที่พิจารณา ได้แก่ แบบรูปการแพลต์งาน อัตราขยายสูงสุด และความกว้างลำคลื่นครึ่งกำลังของสายอากาศลำคลื่นแมตช์กับพื้นโลก โดยใช้แคลคูลัสทั่วไป พนว่าผลที่ได้จากการวัดทดสอบและการจำลองผลด้วยระบบวิธีโนเมนต์ มีความแตกต่างกันน้อยเดือนน้อย ผลการวัดทดสอบอัตราขยายสูงสุด ในระนาบสนานา ไฟฟ้าและสนานาแม่เหล็กมีค่าเท่ากับ  $8.54 \text{ dB}$  และ  $9.86 \text{ dB}$  ตามลำดับ ดังในตารางที่ 5.1 นั้นคืออัตราขยายสูงสุดจากการวัดมีค่าต่ำกว่าการจำลองผลประมาณ  $0.05 \text{ dB}$  ในระนาบสนานา ไฟฟ้า และ  $0.81 \text{ dB}$  ในระนาบสนานาแม่เหล็ก สำหรับผลการวัดความกว้างลำคลื่นครึ่งกำลัง ในระนาบสนานา ไฟฟ้าและสนานาแม่เหล็กมีค่าเท่ากับ  $132^\circ$  และ  $164^\circ$  ตามลำดับ ผลจากการจำลองผลด้วยวิธีโนเมนต์ มีค่าเท่ากับ  $136.8^\circ$  และ  $140^\circ$  ตามลำดับ โดยความกว้างลำคลื่นครึ่งกำลังที่ได้จากการวัดมีค่ามากกว่าการจำลองผลประมาณ  $4.8^\circ$  ในระนาบสนานา ไฟฟ้า และ  $24^\circ$  ในระนาบสนานาแม่เหล็ก ซึ่งสาเหตุของการคลาดเคลื่อนระหว่างผลการวัดทดสอบและผลการจำลองผลคือ อาจเกิดจากความสูญเสียในระบบสายอากาศ เช่น ความสูญเสียในสายส่ง ความผิดพลาดจากการจัดวางตำแหน่งตัวสะท้อนและสายอากาศป้อนจะทำให้เกิดการเลื่อนเชิงตำแหน่งของแบบรูปการแพลต์งาน และผลกระทบจากสภาพแวดล้อมของวัดทดสอบสายอากาศ เป็นต้น

## บทที่ 6

### บทสรุป

บทนี้จะกล่าวถึงสรุปผลการออกแบบและผลการวัดทดสอบสายอากาศแคล็บบ์สะท้อน และแสดงข้อเสนอแนะในการพัฒนาต่อไป

#### 6.1. สรุปผลการวิจัย

งานวิจัยฉบับนี้ได้ดำเนินการศึกษาการออกแบบสายอากาศแคล็บบ์สะท้อน โดยนำระเบียบวิธีโนเมนต์มาใช้คำนวณและวิเคราะห์หาสมมติฐานแม่เหล็กไฟฟ้าที่แผ่กระจายออกจากสายอากาศแคล็บบ์สะท้อน ทำให้สามารถทราบคุณลักษณะของสายอากาศแคล็บบ์สะท้อน ได้แก่ แบบรูปการแผ่นพလังงาน อัตราขยายสูงสุด และความกว้างลำคลื่นครึ่งกำลัง ก่อนสร้างสายอากาศสำหรับประยุกต์ใช้งานด้านการสื่อสารแบบไร้สาย เช่น การสื่อสารระบบเครือข่ายท้องถิ่นแบบไร้สาย ระบบเซลลูลาร์ และระบบการสื่อสารผ่านดาวเทียม เป็นต้น

ในการคำนวณและวิเคราะห์หาคุณลักษณะของสายอากาศแคล็บบ์สะท้อน โดยใช้ระเบียบวิธีโนเมนต์นี้ เริ่มต้นจากการกำหนดข้อมูลเริ่มต้นของสายอากาศแคล็บบ์สะท้อน ได้แก่ เส้นผ่าศูนย์กลาง พิ่งก์ชันทางคณิตศาสตร์ กำหนดชนิด ขนาด และตำแหน่งการวางของสายอากาศปื้น และความถี่ปฏิบัติการ จากนั้นทำการศึกษาแบบรูปการแผ่กำลังงานของสายอากาศปื้นและสนามต่อกลไกบนแคล็บบ์สะท้อน การศึกษาการหาระยะห่างระหว่างแผ่นสะท้อน การศึกษาการประวิงเพลทของสายอากาศแคล็บบ์สะท้อน การวัดสัมประสิทธิ์การสะท้อน และการศึกษาความสัมพันธ์ระหว่างเฟสสะท้อนกับขนาดของแผ่นสะท้อน เพื่อใช้เป็นข้อมูลในการสร้างสายอากาศต้นแบบ

สำหรับการศึกษาแบบรูปการแผ่กำลังงานของสายอากาศแคล็บบ์สะท้อน เป็นการหาสมมติฐานแม่เหล็กไฟฟ้าที่เกิดจากแหล่งกำเนิดกระแสที่อยู่บนผิวของตัวสะท้อน โดยกระแสหนึ่งวนรอบผิwtัวสะท้อนจะหายใจจากองค์ประกอบของสนามต่อกลไกในแนวสัมผัสแต่ละจุดที่กระแสที่กำลังวนผิwtัวสะท้อน ซึ่งกระแสเหล่านี้จะก่อให้เกิดสนามแม่เหล็กไฟฟ้าที่แผ่กระจายออกไปในสนามระยะไกลทำให้ได้แบบรูปการแผ่พลังงานของสายอากาศ ซึ่งสนามที่ได้จากการเบียบวิธีโนเมนต์คือ สนามไฟฟ้าที่เกิดจากกระแสไฟฟ้า ซึ่งรายละเอียดทั้งหมดได้กล่าวไว้ในบทที่ 3 จากนั้นจึงนำค่าสนามไฟฟ้าที่ได้จากการวิเคราะห์หาคุณลักษณะต่างๆ ได้แก่ แบบรูปการแผ่พลังงาน อัตราขยายสูงสุด และความกว้างลำคลื่นครึ่งกำลัง พ布ว่าสายอากาศแคล็บบ์สะท้อนมีอัตราขยายสูงสุดและความกว้างลำคลื่นครึ่งกำลังประมาณ  $8.49 \text{ dB}$  และ  $136.8^\circ$  ตามลำดับ รายละเอียดของการจำลองผลรวมทั้งผลการวิเคราะห์ได้แสดงไว้โดยละเอียดในบทที่ 4 จากนั้นได้สร้างสายอากาศต้นแบบ ในการวิเคราะห์คุณลักษณะของสายอากาศ

แกลว์ลำดับสะท้อนต้นแบบ ได้พิจารณา ระยะห่างระหว่างสายอากาศป้อนกับตัวสะท้อนเท่ากับ 25 เซนติเมตร พนบว่า แบบรูปการแผ่พลังงานมีความสอดคล้องกันทั้งในระบบสนามไฟฟ้าและสนามแม่เหล็ก โดยผลของการวัดทดสอบและการจำลองผลค่าวิรบะเบียบวิธีโนเมนต์สามารถสรุปได้ดังในตารางที่ 5.1 ซึ่งสาเหตุของการคาดเคลื่อนระหว่างผลการวัดทดสอบและผลการจำลองผล คือ อาจเกิดจากความสูญเสียในระบบสายอากาศ เช่น ความสูญเสียในสายส่ง ความผิดพลาดจากการจัดวางตำแหน่งตัวสะท้อนและสายอากาศป้อนจะทำให้เกิดการเลื่อนเชิงตำแหน่งของแบบรูปการแผ่พลังงาน และผลกระทบจากสภาพแวดล้อมขณะวัดทดสอบสายอากาศ เป็นต้น

## 2. ข้อเสนอแนะ

จากบทสรุปที่ผ่านมาจะเห็นได้ว่า นอกจากเลือกฟังก์ชันพาราโบอลิกเพื่อนำมาสร้างเป็นสายอากาศต้นแบบแล้ว อาจประยุกต์ใช้สายอากาศแกลว์ลำดับสะท้อน ที่มีสมการพื้นผิวแบบอื่น ๆ ในกรณีนำไปใช้งานกับการสื่อสารแบบไร้สาย เช่น ในกรณีที่ต้องการสายอากาศเพื่อใช้เป็นจุดเข้าถึงเครือข่ายท้องถิ่นแบบไร้สายในห้องขนาดใหญ่ ซึ่งคุณลักษณะที่ต้องการคือ ความกว้างลำคลื่นครึ่งกำลังที่ค่อนข้างมากเพื่อที่จะได้กระจายสัญญาณครอบคลุมพื้นที่ให้บริการเป็นบริเวณกว้าง นอกเหนือไปในกรณีที่ต้องการพัฒนาอัตราขยายให้สูงขึ้น อาจทำได้โดยการเพิ่มตัวสะท้อนรอง (Subreflector) สายอากาศแกลว์ลำดับสะท้อนในโครงสร้างปั้นแบบในงานวิจัยฉบับนี้ได้ใช้สายอากาศปากแตรทรงพีระมิดเป็นสายอากาศป้อนทำให้ได้แบบรูปการแผ่พลังงานในระบบสนามไฟฟ้าและสนามแม่เหล็กมีความไม่สมมาตร สามารถปรับปรุงได้โดยใช้สายอากาศป้อนแบบอื่น เช่น สายอากาศปากแตรรูปกรวย หรือสายอากาศปากแตรลูกฟูกรูปกรวย เป็นต้น

## បរទេសាណក្រម

- [1] Munson, "Microstrip reflectarray for satellite communication and radar cross-section enhancement or reduction," US Patent 4,684,952
- [2] J. Huang, "Microstrip reflectarray antenna for SCANSAT radar application," JPL publication 90-45, Nov. 15, 1990.
- [3] D.M. Pozar and T.A. Metzler, "Analysis of a reflectarray antenna using microstrip patches of variable size," IEE Electron. Lett., Vol. 29, No.8, 1993, pp. 657-658
- [4] S.D. Targonski and D.M. Pozar, "Analysis and design of a microstrip reflectarray using patches of variable size," IEEE AP-S/URSI Symp. Dig., Seattle, WA, 1994, pp 1820-1823
- [5] D.M. Pozar, S.D. Targonski, and H.D. Syrigos "Design of millimeter wave microstrip reflectarray," IEEE Tran. On Antenna and Propagation, Vol.45, No.2, 1997, pp. 287-296
- [6] D.C. Chang and M.C. Huang, "Microstrip reflectarray antenna with offset feed," IEE Electron. Lett., Vol. 29, No.16, 1992, pp. 1489-1491
- [7] D.C. Chang and M.C. Huang, "Multiple-polarization microstrip reflectarray antenna with high efficiency and low cross-polarization," IEEE Tran. On Antenna and Propagation, Vol.43, No.8, 1995, pp. 829-834
- [8] J. Huang and R.J. Pogorzelski, "A Ka-band microstrip reflectarray with elements having variable rotation angles," IEEE Tran. On Antenna and Propagation, Vol.46, No.5, 1998, pp. 650-656
- [9] D.C.Chang and M.C.Huang, "Multiple-polarization microstrip reflectarray antenna with high efficiency and low cross-polarization," IEEE Tran. On Antenna and Propagation, Vol.43, No.8, 1995, pp. 829-834
- [10] R.D. Javor, X.D. Wu, and K. Chang, "Design and performance of a microstrip reflectarray antenna," IEEE Tran. On Antenna and Propagation, Vol.43, No.9, 1995, pp. 932-939
- [11] T.N.Chang and Y.C.Wei, "Proximity-coupled microstrip reflectarray," IEEE Tran. On Antenna and Propagation, Vol.52, No.2, 2004, pp. 631-635
- [12] T.N.Chang and H.Suchen, "Microstrip reflectarray with QUAD-EMC element," IEEE Tran. On Antenna and Propagation, Vol.53, No.6, 2005, pp. 1993-1997
- [13] C. Han, C. Rodenbeck, J. Huang, and K. Chang, "A C/Ka dual frequency dual layer circularly polarized reflectarray antenna with microstrip ring elements," IEEE Tran. On Antenna and Propagation, Vol.52, No.11, 2004, pp. 2871-2876
- [14] C. Han, J. Huang, and K. Chang, "A high offset-fed X/Ka-dual band reflectarray using thin membranes," IEEE Tran. On Antenna and Propagation, Vol.53, No.9, 2005, pp. 2792-2798

- [15] D.M. Pozar, S.D. Targonski, and R. Pokuls, "A shaped-beam microstrip patch reflectarray," IEEE Tran. On Antenna and Propagation, Vol.47, No.7, 1999, pp. 1167-1173
- [16] J.A. Encinar and J.A. Zornoza, "Three-layer printed reflectarray for contoured beam space application," IEEE Tran. On Antenna and Propagation, Vol.52, No.5, 2004, pp. 1138-1148
- [17] J.A. Encinar, "Design of two-layer printed reflectarray using patches of variable size," IEEE Tran. On Antenna and Propagation, Vol.49, No.10, 2001, pp. 1403-1410
- [18] D. Pilz and W. Menzel, "Folded reflectarray antenna," IEE Electron. Lett., Vol. 34, No.9, 1998, pp. 832-833
- [19] T.N. Chang and H. Suchen, "A shaped reflector antenna for 60-GHz indoor wireless LAN access points," IEEE Tran. On Vehicular Technology, Vol.50, No.2, 2001, pp. 584-591

## ประวัติผู้เขียน

ผู้ช่วยศาสตราจารย์ ดร. รังสรรค์ วงศ์สรรค์ เกิดเมื่อวันที่ 27 กรกฎาคม 2507 ที่ ตำบลปากน้ำ ประแสร์ อำเภอแกลง จังหวัดระยอง สำเร็จการศึกษาระดับปริญญาตรี วิศวกรรมศาสตรบัณฑิต สาขาวิชาช่างอิเล็กทรอนิกส์ จากสถาบันเทคโนโลยีราชมงคล วิทยาเขตเทเวศร์ เมื่อปี 2532 จากนั้นได้ศึกษาต่อระดับปริญญาโท วิศวกรรมศาสตรมหาบัณฑิต สาขาวิชางานไฟฟ้า (วิศวกรรมโทรคมนาคม) จากสถาบันเทคโนโลยีพระจอมเกล้า พระนครเหนือ เมื่อปี 2537 และได้ศึกษาต่อระดับปริญญาเอก วิศวกรรมศาสตรดุษฎีบัณฑิต สาขาวิชางานไฟฟ้า (วิศวกรรมโทรคมนาคม) จากสถาบันเทคโนโลยีพระจอมเกล้า เจ้าคุณทหารลาดกระบัง เมื่อปี 2546 ประวัติการทำงานในอดีตคือ เมื่อปี 2532 เป็นอาจารย์ประจำแผนกอิเล็กทรอนิกส์ ที่สถาบันเทคโนโลยีพระจอมเกล้า วิทยาเขตพระนครเหนือ เมื่อปี 2532 ถึงปี 2533 เป็นอาจารย์พิเศษคณะวิศวกรรมศาสตร์ มหาวิทยาลัยศรีปะทุน กรุงเทพมหานคร นอกจากนี้ เมื่อปี 2535 ถึงปี 2536 เป็นที่ปรึกษาด้านอิเล็กทรอนิกส์ มหาวิทยาลัยเทคโนโลยีสุรนารี จังหวัดนครราชสีมา และได้เป็นหัวหน้าสาขาวิชาช่างไฟฟ้า วิศวกรรมโทรคมนาคม สำนักวิชา วิศวกรรมศาสตร์ เมื่อปี 2546 ถึงปี 2548 ปัจจุบันเป็นผู้ช่วยศาสตราจารย์ประจำสาขาวิชาช่างไฟฟ้า วิศวกรรมโทรคมนาคม สำนักวิชาช่างไฟฟ้า มหาวิทยาลัยเทคโนโลยีสุรนารี นอกจากนั้นยังเป็นหัวหน้าโครงการพัฒนาและผลิตสื่อการศึกษา หัวหน้าโครงการ การศึกษาไร้พรมแดน เป็นนายนายสไมร์พนักงานวิชาการและปฏิบัติการ มหาวิทยาลัยเทคโนโลยีสุรนารี (ภาระที่ 3) และเป็นอาจารย์พิเศษมหาวิทยาลัยเทคโนโลยีราชมงคลล้านนา วิทยาเขตขอนแก่น

ปัจจุบัน บรรจุสอนออก เกิดเมื่อ 9 กันยายน 2517 สำเร็จการศึกษาวิศวกรรมศาสตรบัณฑิต สาขาวิชาช่างไฟฟ้า มหาวิทยาลัยเทคโนโลยีสุรนารี เมื่อปี 2540 และต่อมาได้ศึกษาระดับปริญญาโทต่อศิษย์ทุนส่งเสริมผู้มีความสามารถพิเศษเป็นอาจารย์ของมหาวิทยาลัยเทคโนโลยีสุรนารี โดยสำเร็จการศึกษาวิศวกรรมศาสตร์มหาบัณฑิต สาขาวิชางานไฟฟ้า(ไฟฟ้าสื่อสาร) จาก จุฬาลงกรณ์มหาวิทยาลัย ปัจจุบันเป็นอาจารย์ประจำสาขาวิชาช่างไฟฟ้า วิศวกรรมโทรคมนาคม สำนักวิชา วิศวกรรมศาสตร์ มหาวิทยาลัยเทคโนโลยีราชมงคลล้านนา งานวิจัยที่สนใจได้แก่การจัดการทรัพยากริมแม่น้ำ การสื่อสาร